

فصل اول

کلیات

گزارش حاضر مطالعات GIS جهت تعیین پتانسیل اسکارن‌های آهن و تنگستن در استان کردستان میباشد. در مطالعات اکتشافی نیز همانند سایر علوم زمین جمع آوری، پردازش، تلفیق و ارزیابی اطلاعات مختلف با استفاده از تکنولوژی جدید و نرم افزارهای GIS می‌تواند اهمیت و تاثیر بسزایی در بدست آوردن نتایج حاصله داشته باشد و زمینه مساعد برای متخصصان علوم زمین فراهم آورد تا از دوباره کاری و عدم قابلیت در تبادل اطلاعات جلوگیری شود. در تهیه این گزارش از اطلاعات زمین‌شناسی، دورسنجی، ژئوشیمی، ژئوفیزیک و منابع معدنی موجود در منطقه استفاده شده است که این اطلاعات پس از جمع آوری و پردازش در قالب نقشه‌های نشانگر جهت بدست آوردن نقاط پرپتانسیل برای کانی سازی اسکارن‌های آهن و تنگستن مورد تلفیق قرار گرفته اند. نقشه‌های پتانسیل مواد معدنی، تنها پیشنهاد کننده مناطق پرپتانسیل هستند و نباید انتظار داشت که تمام بخش‌های معرفی شده در یک نقشه پتانسیل مواد معدنی واقعاً همراه با کانی سازی (پنهان یا رخنمون دار) باشد. همچنین نباید انتظار داشت که در بسیاری از بخش‌های پیشنهاد شده در نقشه‌ها با پتانسیل بالا، کانی سازی بصورت اندیس معدنی رخنمون قابل مشاهده داشته باشد یا نشانه‌های قابل رویت در سطح زمین وجود داشته باشد.

نکته مهم دیگری که در استفاده از نقشه‌های پتانسیل مواد معدنی باید در نظر گرفت این است که هر چه داده‌های ورودی به مدل‌های استفاده شده در ترکیب لایه‌ها کاملتر، دقیق‌تر و به واقعیت زمین نزدیکتر باشد. میتوان انتظار خروجی واقع گرایانه‌تری را به شکل نقشه‌های پتانسیل مواد معدنی داشت.

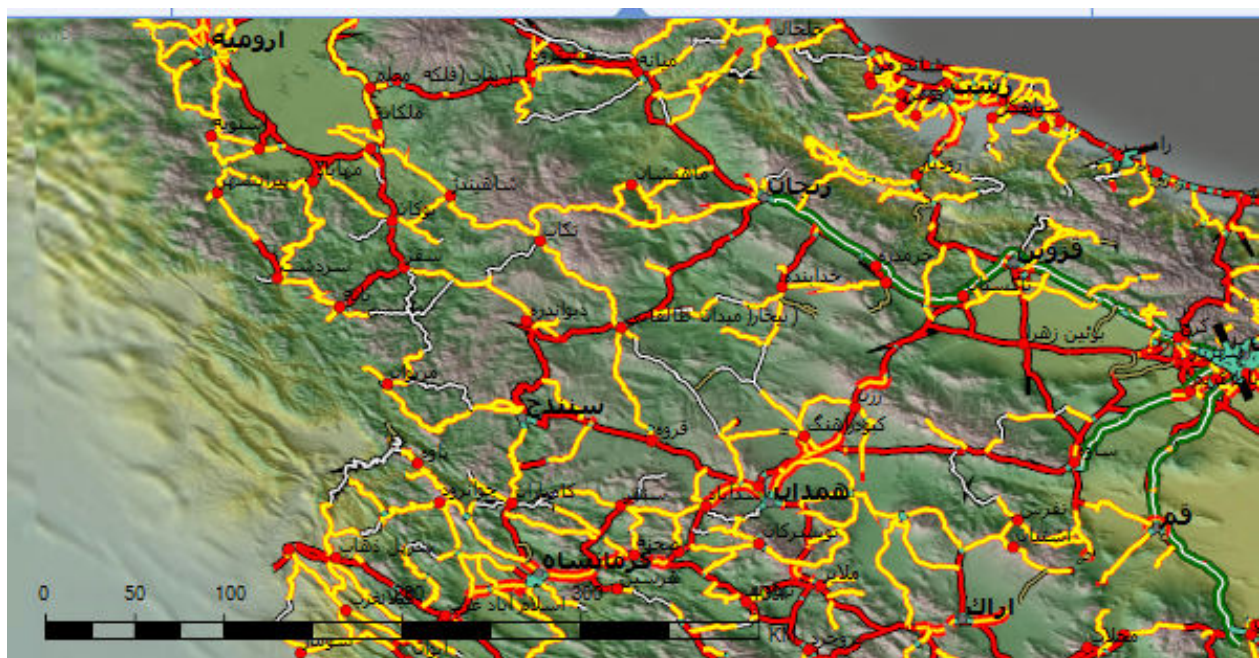
تصویر ۱-۱ نمایی از کانسار اسکارن آهن گلالی در استان کردستان را نشان می‌دهد.



۱-۱ نمایی از معدن آهن گلالی

۱-۲ موقعیت جغرافیایی و راههای ارتباطی

استان کردستان به مساحت تقریبی ۲۸۲۰۳ کیلومتر مربع در باخترا ایران قرار دارد. این استان از سمت شمال با استان آذربایجان غربی، از سوی شمال خاوری استان زنجان، از خاور با استان همدان و درجنوب با استان کرمانشاه هم مرز می‌باشد. مرکز آن شهرستان سنندج است که تا تهران ۶۵۱ کیلومتر فاصله دارد. تصویر ۱-۲ نقشه راههای ارتباطی استان کردستان را با استان‌های همجوار نشان می‌دهد و همچنین تصویر ۱-۳ نقشه راههای استان کردستان را به همراه اندیس‌های معدنی استان نشان می‌دهد.



۱-۲ راههای ارتباطی محدوده استان کردستان

تصویر فوق راههای ارتباطی مرکز استان کردستان، سندج را با سایر شهرها که شامل

ارومیه، همدان، زنجان میباشد را نشان می‌دهد.

نقشه راهها: شماره ۱-۳

۱-۳ آب و هوای استان

استان کردستان دارای دو نوع آب و هوای متفاوت می‌باشد. نواحی کوهستانی و دشت‌های مرتفع آن آب و هوای بسیار سرد دارند ولی در داخل دره‌ها آب و هوای معتدل است. موقعیت جغرافیایی استان سبب گردیده تا رویش گیاهی بصورت جنگل‌های بلوط و مرتع در خور توجه باشد. با وجود داشتن زمینهای زراعی و بارش زیاد به لحاظ پائین بودن بستر رودها از سطح زمین‌های زراعی، کمبود آب یکی از مشکلات استان است، معهداً کشاورزی به ویژه دامپروری از جمله مهمترین منابع اقتصادی استان می‌باشد. از نظر میزان بارندگی، بخش غربی استان بالاترین میزان بارندگی سالانه را دارد.

۱-۴ پیشینه مطالعاتی

اگر چه مطالعات گوناگون در مقیاس‌های متفاوت در استان و در قالب پژوهش‌های ناحیه‌ای، پی‌جوبی و اکتشافات چکشی، اکتشافات ژئوشیمیایی و طرح‌های اکتشافی استان، انجام شده‌است ولی با نگاه گذرا به گزارش‌های موجود، مشخص می‌گردد که پژوهش‌ها اغلب بصورت موردی و با استفاده از یک لایه اطلاعاتی صورت پذیرفته که در زیر فهرست‌وار و بترتیب زمانی به چند مورد آن اشاره شده‌است:

- گزارش بازدید از چهارگوش تکاب و نکاتی درباره زمین‌شناسی آن (پدرامی، م-۱۳۶۹)

- گزارش پی‌جوبی ذخایر اسکارن و کانی‌سنگین ناحیه جنوب سقز (مهندسین مشاور کاوشگران-۱۳۷۴) که میتوان آنرا جزء اولین پی‌جوبی‌هایی ذخایر اسکارن در منطقه نام برد.

- گزارش مطالعات اکتشاف زمین‌شناسی و کانی‌سنگین (ناحیه باغچله سقز) و پتانسیل بانه (حاج ملاعلی، ع-۱۳۷۵)

- براساس مطالعات انجام یافته در محدوده‌های حسن سالاران و درگاه سلیمان حضور عناصر فلزی نظیر مس، روی، آهن، سرب وغیره با مقادیر متفاوت به اثبات رسیده‌است و در این راستا گزارش مطالعات زمین‌شناسی و معدنی حسن سالاران-رنگریزان در منطقه سقز توسط سهیلی.م و برنا.ب- در سال ۱۳۷۶ تهیه شده‌است.

- گزارش مطالعات زمین‌شناسی و معدنی حسن سالاران-رنگریزان در منطقه سقز (سهیلی، م-۱۳۷۶)

- گزارش عملیات اکتشافی چکشی در ورقه یکصد هزارم سقز (برنا.ب-۱۳۷۶)

- گزارش اولیه توان معدنی در محدوده عربشاه- آی قلعه‌سی(تکاب)، (حیدری، ۱- ۱۳۷۶)
- گزارش اکتشافات ژئوشیمیایی سیستماتیک در محدوده برگه ۱:۱۰۰۰۰ سقز(ابوالمعالی، ش- ۱۳۷۷)
- تهیه نقشه پتانسیل معدنی در ورقه یکصدهزارم سقز (دانشور، ب- ۱۳۷۷)
- گزارش اکتشافات ژئوشیمیایی سیستماتیک در محدوده برگه ۱:۱۰۰۰۰ تیزتیز(سازمان زمین شناسی واکتشافات معدنی کشور- ۱۳۷۸)
- گزارش اکتشافات ژئوشیمیایی سیستماتیک در محدوده برگه ۱:۱۰۰۰۰ باینچوب (سازمان زمین شناسی واکتشافات معدنی کشور- ۱۳۷۸)
- گزارش اکتشافات ژئوشیمیایی سیستماتیک در محدوده برگه ۱:۱۰۰۰۰ کامیاران(سازمان زمین شناسی واکتشافات معدنی کشور- ۱۳۷۸)
- اکتشافات ژئوشیمیایی در ورقه ۱:۱۰۰۰۰ چاپان(علوی نایینی، م- مشکانی، ا- واصفه‌انی پور، ر- ۱۳۷۸)
- گزارش اکتشافات ژئوشیمیایی سیستماتیک در محدوده برگه ۱:۱۰۰۰۰ آلوت (حسنی پاک، ع، ا- شرکت توسعه علوم زمین- ۱۳۷۸)
- بررسی مناطق امیدبخش اکتشافی در ورقه یکصدهزارم چاپان(بنی آدم، ف- ۱۳۷۹)
- طرح پی جوئی اکتشافات طلا و آهن در اسکارن شمال صاحب واقع در شمال شرق شهرستان سقز، گزارش زمین شناسی - معدنی کانسار آهن مس دار صاحب(سهیلی، م- ۱۳۸۰)
- اکتشافات کانی سنگین در ناحیه خاور گوگجه (شرکت مهندسین مشاور تهران پادیر- ۱۳۸۰)
- اکتشافات کانی سنگین در محدوده تازه آباد گلانه(شرکت مهندسین مشاور کان جویان زاگرس- ۱۳۸۰)
- گزارش اکتشافات ژئوشیمیایی سیستماتیک در محدوده برگه ۱:۱۰۰۰۰ قروه (وزارت صنایع و معادن استان کردستان- ۱۳۸۱)
- پروژه اکتشاف نیمه تفصیلی تنگستان قروه (حسامی، ع- شرکت کانی کاوان شرق- ۱۳۸۲)
- اکتشافات ژئوشیمیایی و کانی سنگین در ورقه ۱:۱۰۰۰۰ تکاب(فضائلی، ع- ۱۳۸۲)
- اکتشافات ژئوشیمیایی و کانی سنگین در ورقه ۱:۱۰۰۰۰ مربیان(اکبرپور، ا- سعیدی، ع- ۱۳۸۳)

- اکتشافات ژئوشیمیایی و کانی سنگین در ورقه ۱:۱۰۰۰۰۰ با نامه (اکبرپور، ۱۳۸۳-)
- اکتشافات ژئوشیمیایی و کانی سنگین در ورقه ۱:۱۰۰۰۰۰ میانراهان (سازمان زمین شناسی ۱۳۸۳-)
- گزارش بررسی‌های اکتشافات سیستماتیک ناحیه‌ای و شناسایی نواحی امیدبخش معنی در زون مهاباد-مریوان(سازمان زمین شناسی واکتشافات معنی کشور- ۱۳۸۳)
- گزارش بررسی‌های اکتشافات سیستماتیک ناحیه‌ای و شناسایی نواحی امیدبخش معنی در زون سندج-ملایر(سازمان زمین شناسی واکتشافات معنی کشور- ۱۳۸۴)
- کنترل و معرفی محدوده‌های امیدبخش معنی در ورقه ۱:۱۰۰۰۰ آلت (تاج الدین.ح- ۱۳۸۵)
- کنترل و معرفی محدوده‌های امیدبخش معنی در ورقه ۱:۱۰۰۰۰ تیزتیز (نیرومند،ش- ۱۳۸۵)
- کنترل و معرفی محدوده‌های امیدبخش معنی در ورقه ۱:۱۰۰۰۰ باینچوب (تاج الدین.ح- ۱۳۸۵)
- کنترل و معرفی محدوده‌های امیدبخش معنی در ورقه ۱:۱۰۰۰۰ پاوه (بنی آدم،ف- ۱۳۸۵) کنترل و معرفی محدوده‌های امیدبخش معنی در ورقه ۱:۱۰۰۰۰ کامیاران (نیرومند،ش- ۱۳۸۵)
- گزارش نهایی طرح مطالعات ژئوفیزیک آنومالیهای آهن‌دار در منطقه خسروآباد سنقر (اداره معادن و فلزات کردستان)

با نگرشی بر گزارشات ذکر شده و موجود ، می‌توان دریافت که در زمینه اسکارنهای آهن و تنگستن خیلی محدود کارشده و با توجه به پتانسیل کانی‌زایی ، منطقه نیاز به مطالعه و کاوش بیشتر را می‌طلبد . لازم بذکر است که افرون بر گزارشات یادشده دهها گزارش ، نقشه ، مقاله ، پایان نامه و موافقت‌نامه‌های اصولی اکتشاف در ادارات کل معادن و فلزات استان جهت بهره‌برداری در منطقه موجود می‌باشد که اشاره به اسامی و عناوین آنها خارج از بحث و مقوله مورد نظر است.

۱-۵ هدف و روش اکتشافی پروژه

اهداف اکتشافی این پروژه شناسایی پتانسیل‌های جدید کانسارهای اسکارن از نوع آهن و تنگستن با استفاده از شناسایی پتانسیل‌ها، اندیس‌ها و کانسارهای شناخته شده قبلی است . از این‌رو توزیع و گسترش آنها ، ارتباط با سنگ در برگیرنده ، دگرسانی سنگ‌دیواره، منشأ و ژئو و بطور کلی خصوصیات عمومی آنها که بوسیله روش‌های مدلسازی و تلفیق بیشترین ارتباط را با واحدهای زمین شناسی ساختارها، توده‌های نفوذی، کنتاکت

ها و... را دارند شناسایی شده و دیگر مناطقی که براساس این مدل‌های مفهومی احتمال کانی‌سازی تیپ اسکارن را داشته است شناسایی می‌گردد. بدینوسیله کلیه اندیس‌ها و کانسارهای شناخته شده قبلی بعد از جمع آوری اطلاعاتشان بصورت لایه‌های گرافیکی و وکتوری درآمده تا ارتباط بهتری با دیگر لایه‌های اطلاعاتی برقرار نماید این اندیس‌ها و کانسارها در مطالعات صحرایی یکبار دیگر مورد بازدید قرار گرفته تا انطباق آنها با معیارهای شناخته شده جهانی مورد مقایسه و شناسایی قرار گیرد. در نهایت فاکتورهای کنترل کننده‌ای که بعنوان معیارهای اکتشافی شناخته می‌شود در مدل‌سازی و تعیین نقاط هدف به منظور کنترل کانی‌سازی اسکارن مورد استفاده قرار می‌گیرد.

از اینرو موارد ذیل به منظور شناسایی بهتر ذخایر اسکارن در این پژوهه انجام گرفته است.

- الف) جمع آوری کلیه اطلاعات قبلی مورد نیاز اکتشاف از پتانسیل‌ها و کانسارها
- ب) شناسایی، مقایسه و انتخاب بهینه مدل‌های مفهومی برای کانی‌سازی اسکارن منطقه
- ج) شناسایی واحدهای در برگیرنده کانی‌سازی (آهکها، دولومیتها و...) بطور کلی کربناتها)
- د) شناسایی ارتباط بین انواع کانسارهای اسکارن منطقه با توده‌های نفوذی همراحتشان
- ه) شناسایی ارتباط کانسارهای پتانسیل‌های اسکارن منطقه با هاله‌های ژئوشیمیایی اطراف
- ی) تعیین الگوهای دگرسانی با استفاده از تفسیر و بررسی داده‌های دورسنجی
- و) تعیین ارتباط کانی سازی‌های اسکارن با اطلاعات ژئوفیزیک هوایی

روشها

- به ترتیب روشهای بکار گرفته شده در این پژوهه به شرح ذیل آورده شده است:
- ۱ - تفسیر و بررسی داده‌های دورسنجی برای تشخیص واحدهای مهم شامل توده‌های نفوذی، سنگ‌های کربناتی خصوصاً همبری آنها و تعیین شکستگی‌ها
 - ۲ - بررسی اندیس‌هایمعدنی شناخته شده با استفاده از اطلاعات صحرایی و دفتری
 - ۳ - پردازش اولیه کلیه اطلاعات ژئوشیمیایی حاصل از نمونه‌های رسوب آبراهه‌ای و کانی سنگین (عناصر مهم عبارتند از آهن، مس، تنگستن، سرب، روی، مولیبدن، قلع و اورانیوم)
 - ۴ - پردازش کلیه اطلاعات ژئوفیزیکی

۵- تلفیق و مدلسازی با استفاده از دو متده اوزان شواهد Weight of Evidence و فازی Fuzzy

معرفی نقاط هدف

۶- کنترل صحراایی مناطق معرفی شده بهمراه نمونه برداری غیر سیستماتیک

۷- تصحیح مدل اکتشافی

۸- تصمیم‌گیری برای معرفی مناطق اکتشاف شده جدید و در صورت نیاز ادامه اکتشاف

در پایان مرحله هشتم امید است بتوان محدوده های اکتشافی متعددی برای ادامه اکتشاف در فاز

اکتشاف مقدماتی معرفی نمود. انجام مراحل اکتشاف مقدماتی خارج از اهداف این پژوهه بوده است ولذا

نیازمند تعریف پژوهه دیگری می‌باشد.

فصل دوم

زمین شناسی

زمین شناسی

۱-۲ زمین شناسی عمومی با نگاهی ویژه به چینه شناسی منطقه

با توجه به وسعت منطقه مورد مطالعه و کثرت برگه‌های زمین‌شناسی ۱:۱۰۰۰۰ جهت بررسی و توصیف زمین‌شناسی عمومی از چهارگوش‌های ۱:۲۵۰۰۰ استان کردستان که شامل چهارگوش‌های سنتدج، کرمانشاه، مهاباد، تکاب و مریوان می‌باشد، استفاده و صرفاً محدوده‌های زمین‌شناسی داخل استان کردستان توصیف و بررسی گردیده است. تصویر شماره ۱-۲ نقشه های زمین‌شناسی استان و تصویر شماره ۲-۲ نقشه توپوگرافی استان کردستان با مقیاس ۱:۲۵۰۰۰ را نمایش میدهد.

تصویر ۱-۲: ۱:۲۵۰۰۰۰

تصویر ۲-۲: ۱:۲۵۰۰۰ توپوگرافی

پرکامبرین

بطور کلی رسوبات پرکامبرین گسترش زیادی در محدوده استان کردستان ندارد. در چهارگوش تکاب مجموعه‌ای که سنگ‌های پرکامبرین را تشکیل می‌دهد شامل گنیس، آمفیبولیت، میکاشیست و همچنین سنگهای رخساره دگرگونی شسیت سبز می‌باشد.

در بخش شمال باختری چهارگوش تکاب سازند قره‌داش (اینفراکامبرین) رخنمون دارد که برای اولین بار در ایران معرفی شده و شامل گدازه‌های ریولیتی و توف اسیدی می‌باشد و با ناپیوستگی هم شیب روی سازند کهر (پرکامبرین) که از رسوبات شیل‌های سیلتی سبزرنگ میکا دار تشکیل شده، قرار گرفته است.

همچنین در چهارگوش مهاباد رخنمون‌هایی از سازند بایندر (قاعده این سازند بعنوان مرز بین پرکامبرین پسین و اینفراکامبرین در نظر گرفته می‌شود) که شامل ماسه‌سنگ ارغوانی، شیل‌های میکادار و سیلتی تا ماسه‌ای با میان لایه‌های دولومیتی است، مشاهده می‌شود که بر روی سازند سلطانیه قرار گرفته که شامل سه بخش مهم است: ۱- دولومیت زیرین (اینفراکامبرین) ۲- شیل چپللو(اینفراکامبرین) ۳- دولومیت فوکانی (کامبرین زیرین). تصویر ۲-۳ پراکندگی واحدهای رخنمون یافته پرکامبرین را نشان می‌دهد.

پالئوزوئیک

رسوبات پالئوزوئیک در استان کردستان گسترش زیادی ندارد. واحدهای پالئوزوئیک بطور کامل در محدوده استان از هم تفکیک نشده‌اند بطور مثال در چهارگوش مریوان – بانه مجموعه دگرگونی پالئوزوئیک از اردویسین تا کربنیفر بصورت تفکیک نشده هستند . تصویر ۴-۲ پراکندگی واحدهای رخنمون یافته پالئوزوئیک را نشان می‌دهد.

کامبرین

در محدوده مورد مطالعه، از سازندهای کامبرین گسترش‌های محدودی در چهارگوش‌های سندج، مهاباد، مریوان، میانه وجود دارد که در چهارگوش مهاباد رخنمون‌هایی از سازندهای باروت، زاگون- لالون و میلا مشاهده می‌شود.

سازند باروت : شامل شیل‌های رسی، سیلتی و ماسه‌ای دانه ریز و ماسه سنگهای میکادار به رنگ بنفش، خاکستری تا ارغوانی با میان لایه‌هایی از آهک و دولومیت استروماتولیت‌دار می‌باشد که سازند باروت با مرز تدریجی روی سازند سلطانیه قرار دارد.

سازند زاگون: شامل شیل‌های سیلتی تا ماسه‌ای دانه ریز و ماسه سنگهای میکادار فاقد فسیل می‌باشد. سازند لالون: شامل ماسه سنگ آرکوزی قرمز تا گلی رنگ با سیمان سیلیسی تشکیل شده و میان لایه‌هایی از شیل و ماسه سنگ قرمز در آن دیده می‌شود .

سازند میلا: سازند میلا از نظر لیتوژئی بسیار متفاوت است و به همین دلیل شامل ۵ بخش می‌باشد که بخش ۱ تا ۴ آن مربوط به کامبرین میانی و بالایی است و بخش ۵ آن را به اردویسین زیرین مربوط می‌دانند. بخش ۱ آن شامل دولومیت بدون فسیل همراه با شیل و مارن، بخش ۲ شامل آهک متبلور دانه درشت فسیل دار، بخش ۳ شامل آهک دانه درشت همراه با مارن و سیلتسنون با فسیل تریلوبیت و بخش ۴ شامل سیلتسنون، ماسه سنگ آهک گلوکونی می‌باشد.

اردویسین – سیلورین – دونین – کربنیفر

از سازندهای اردویسین زیرین برونزدهایی از سازند میلا در چهارگوش مهاباد دیده می‌شود که بخش ۵ آن مربوط به اردویسین زیرین می‌باشد و شامل کوارتزیت، شیل بدون فسیل، ماسه سنگ و آهک است. همانطور که درستور قبل اشاره شد مجموعه سنگهای اردویسین تا کربنیفر از هم تفکیک نشده و گسترش محدودی را در منطقه مورد مطالعه دارند و مهمترین برونزدها در چهارگوش مریوان – بانه و شامل واحد آهکی با تداخل شیل و فیلیت، آهک متبلور کربنیئید دار، سنگ‌های متاپیروکلاستیک اسیدی – فیلیت متاولکانیک – سنگهای دگرگونی درجه پایین، سنگهای آتشفسانی – آندزیتی کمی دگرگونه، آهک دولومیتی قهوه‌ای ، آهک فوزلین دار خاکستری می‌باشد.

پرمین

در چهارگوش سندنج رخمنوی از سنگهای متامورفیک در خاور دهکده زاغه، کوه پیرمحمود را تشکیل میدهد که از فیلیت و شیست تشکیل یافته‌اند و به وسیله لایه‌های دولومیتی و آهکی چرت‌دار و بلورین بطور همساز پوشیده شده‌اند که در میان این لایه‌ها، لایه‌های نازکی از فورش سنگ بوکسیت‌دار وجود دارد، که بصورت

عدسی‌های نسبتاً کوچکی در آمده‌اند و بوکسیت احتمالاً از مواد ولکانیکی موجود در لایه‌های شیستی مشتق شده وبصورت عدسی‌های از هم گسسته در آهک‌های پرمین رسوب‌کرده است. در کوه گبریش در ۸ کیلومتری خاور سقز لایه بوکسیتی در درون آهک‌های بلورین و فسیل‌دار پرمین قرار دارد. ضخامت لایه بوکسیتی از ۱ تا ۵ متر متغیر است و از مواد بوکسیتی که گاهی بصورت دانه‌های پیزولیتیک می‌باشد، تشکیل شده است. بطور کلی این لایه‌ها دارای سه بخش رس‌های کائولینیتی در بالا، رس‌های آلومین دار و آهن‌دار که بهترین لایه بوکسیت است در میان، و شیل‌های قرمز تیره آهن‌دار در پائین می‌باشند.

در چهارگوش تکاب مجموعه‌ای از سنگ‌های دگرگونی شامل آمفیبولیت – گنایس – میکاشیست، سنگ آهک و مرمر رخمنون دارد.

مزوزوئیک

مجموعه سنگ‌های مزوزوئیک گسترش نسبتاً زیادی در محدوده مورد مطالعه دارد. در بیشتر مناطق برونزدهایی از مجموعه مزوزوئیک دیده می‌شود. تصویر ۲-۵ پراکندگی واحدهای رخمنون یافته مزوزوئیک را نشان می‌دهد.

تریاس

رسوبات تریاس گسترش چندانی در استان کردستان ندارند و برونزدهای محدودی در چهارگوش‌های سندج، کرمانشاه و مهاباد وجود دارد. این رسوبات در چهارگوش سندج شامل دولومیت‌های زرد بلورین به ستبرای ۲۰۰ تا ۲۵۰ متر می‌باشد، که دارای میان لایه‌های شیلی و سنگ آهک بلورین است. در چهارگوش مهاباد برونزدهایی از تشکیلات الیکا متعلق به تریاس زیرین شامل آهک نازک لایه تا شیلی، آهک ورمیکوله دار که دارای آثار کرمی شکل است، دیده می‌شود. همینطور در سایر نواحی نیز لیتولوژی تریاس عمدهاً متشکل از سنگ‌آهک و دولومیت است.

ژوراسیک

رسوبات ژوراسیک به صورت همساز بر روی رسوبات تریاس قرار می‌گیرند و اغلب در این منطقه بعنوان مجموعه تریاس – ژوراسیک شناخته می‌شوند در بخش خاوری چهارگوش سندج، از دو واحد کوارتزیت، شیل و شیل ماسه سنگی تشکیل شده است واحد زیرین کوارتزیت و شیل با ستبرای بیش از ۵۰۰ متر در

دامنهای خاوری رشته کوه صلوات آباد نمایان می‌شود. در جنوب باختری سندج، بخش کوچکی از یک رشته کوه بزرگ وجود دارد که بنام رشته کوه اورامانات نامیده می‌شود و بلندترین نقطه آن قله کوه شاهو به ارتفاع ۳۳۹۰ متر می‌باشد. این بخش در آهک‌های ماسیف وستبر تشکیل شده است. آهک‌های ژوراسیک در گوشه جنوب باختری چهارگوش با یک کنگلومرای سفید رنگ، بظاهر همساز پوشیده می‌شود. رسوبات ژوراسیک در سایر نواحی محدوده مورد مطالعه شامل سنگ‌آهک، آهک دلومیتی خاکستری، فیلیت، شیل همراه بین لایه‌های ولکانیکی و کنگلومرا می‌باشد. فعالیت‌های ولکانیکی در زمان رسوبگذاری سنگ‌های ژوراسیک وجود داشته که از جمله آثار آن وجود سنگهای آتشفسانی و بازالتی و آندزیتی می‌باشد.

کرتاسه

رسوبات کرتاسه در محدوده استان کردستان گسترش نسبتاً وسیعی دارند. برونزدهایی از شیل‌های سیلتی و ماسه‌سنگ، ماسه سنگ و کنگلومرا قرمز، آهک اوربیتولین‌دار، شیل‌های تیره رنگ به سن کرتاسه زیرین در چهارگوش سندج قابل مشاهده هستند. در کرتاسه بالا رسوبات شیل‌های خاکستری (شیل سندج)، آهک‌های خاکستری رنگ و کنگلومرا مشاهده می‌شود. واحدهای ولکانیکی از سنگهای آتشفسانی آندزیتی نیز در محدوده وجود دارد. در چهارگوش کرمانشاه برونزدهایی از رادیولاریت کرمانشاه (کرتاسه پائینی) وجود دارد. در سایر مناطق نیز برونزدهایی از سنگ‌آهک، مارن، ماسه‌سنگ کنگلومرا و آهک اوربیتولین دار مشاهده می‌شود. لازم به ذکر است واحدهای سنگی محدوده کرتاسه بالا-پالئوسن در بخش مرکزی محدوده مورد مطالعه شامل شیل و آهک‌های قرمز و خاکستری که به خصوص در باختر سندج گسترش زیاد دارد و آهک‌های میکروفیل دار در جنوب باختری سندج بصورت نواری سفید رنگ در میان رسوب‌های سیاهرنگ شیل تا کیلومترها به طرف شمال باختری ادامه دارد. سنگهای آتشفسانی در جنوب و باختر سندج به صورت چند برونزدکوچک در بالای رسوبات شیلی قراردارند که از لاوهای آندزیتی تشکیل شده است.

سنوزوئیک

پالئوسن - اوسن

در چهارگوش سندج رسوبات پالئوسن - اوسن شامل شیل و ماسه سنگ با عدسی‌های آهکی و سنگهای آتشفسانی آخرین قسمت‌ها از رسوبات به ظاهر پیوسته مزوژوئیک-ترسیر هستند که بطور همساز بر روی

رسوبهای کرتاسه بالا پالئوسن قرار دارند و با پایان گرفتن آن ردیف رسوبگذاری در حوضه نیز قطع می‌گردد. سنگهای یاد شده را می‌توان به سه بخش اصلی فلیش، شیل‌های آهکی و آمیخته‌ای همانند آمیزه‌رنگی افیولیت تقسیم نمود. در چهارگوش کرمانشاه رخنمونهایی از سنگ‌آهک پلازیک، اسپلیت‌ها با ساخت پیلولاوا (پالئوسن زیرین) سنگ‌آهک کردی (پالئوسن میانی) مشاهده می‌شود. در چهارگوش مریوان رخنمونهایی از سنگ دگرگونی درجه پائین، واحدهای آتشفسانی و آذرآواری آندزیتی و آهک متبلور مشاهده می‌شود.

ائوسن

رسوبات ائوسن در چهارگوش‌های سندج و تکاب و مریوان و بانه رخنمون دارند. رسوبات ائوسن در سه جای شمال، شمال خاور و جنوب سندج رخنمون داشته و شامل، کنگلومرا، ماسه‌سنگ مارنی و مارن خاکستری و سنگهای آتشفسانی شامل توف، گدازه‌های بازیک و اسپلیتی می‌باشد.

در چهارگوش تکاب برونزدهای از سازند کرج (توف سبز و سنگ‌آهک ماسه‌ای) به سن ائوسن نیز دیده می‌شود.

الیگومیوسن

رسوبات الیگومیوسن بطور کلی از سه بخش اصلی کنگلومرا، آهک و مارن تشکیل یافته‌است. در چهارگوش سندج آهک‌های الیگومیوسن در بخش جنوب‌باختری چهارگوش بصورت نواری به درازای بیش از ۲۰ کیلومتر مشاهده می‌شود و این رسوبات با یک کنگلومرای ۵ تا ۲۰ متری به ظاهر همساز روی آهک‌های ژوراسیک قرار گرفته‌است. در بخش جنوبی بصورت دو برونزد جدا از هم که یکی رسوبات کنگلومرایی است با ناپیوستگی مشخصی روی آهک‌های کرتاسه، توف و ولکانیک‌های ائوسن را می‌پوشاند و دیگری ماسه سنگ و شیل تیره رنگ است که بطور نامنظمی تکرار می‌گردد و در میان آنها لایه‌های آهکی تیره نیز دیده می‌شود. رسوبات سازند قم در بخش شمال‌خاوری چهارگوش برونزد دارد و شامل مارن، آهک و ماسه سنگ می‌باشد. رسوبات توف ماسه سنگ و مارن مربوط به افق قرمز بالایی در شمال خاور چهارگوش گسترش دارند.

در چهارگوش تکاب برونزد واحدهای دیگری شامل خاکستر آندزیتی، ماسه سنگ کنگلومرایی شیست سبز، سنگ آهک نیز مشاهده می‌شود. در چهارگوش کرمانشاه هم رسوبات سازند قم (به سن میوسن پائینی) وجود دارد. همچنین رخنمونهایی از رسوبات ماسه سنگی و کنگلومرایی در چهارگوش مریوان، بانه مشاهده

شده است. در چهارگوش سندج فعالیت‌های ولکانیکی نیز در میوسن بالایی آغاز شده است. گدازه‌های آندزیتی و سنگ‌های آتشفسانی که کوه امامزاده شیدا و پیرامون آن را شامل می‌گردد به احتمال، ادامه همین فعالیت در اواخر میوسن است.

پلیوسن

در چهارگوش سندج سنگهای پلیوسن از دو بخش رسوبی و ولکانیک تشکیل شده اند. که شامل رس و ماسه سنگهای آهکی است که بصورت ناهمسازی، رسوبات قرمز بالایی را می‌پوشاند. در بخش ولکانیکی، گدازه‌های بازالتی جوان مشاهده شده است که در بعضی نقاط واحدهای رسوبی یاد شده (در بند قبلی) را می‌پوشاند این گدازه‌ها از جنس بازالت الیوین‌دار است. در چهارگوش کرمانشاه برونزدهای از کنگلومرا (سازند بختیاری) وجود دارد. همچنین در چهارگوش تکاب برونزدهایی از رسوبات رس سنگ، سنگ آهک ماسه‌ای – کنگلومرا وجود دارد. تصویر ۲-۶ پراکندگی واحدهای رخمنون یافته سنوزوئیک را نشان می‌دهد.

کواترنری

رسوبات دوران چهارم محدوده را می‌توان به چهار افق پادگانه‌ها، سنگهای تراورتن، نهشته‌های رودخانه‌ای و آبرفت‌ها تقسیم کرد.

سنگهای آذرین: سنگهای آذرین را می‌توان به دو بخش عمده نفوذی و آتشفسانی تقسیم نمود که سنگهای آذرین بیرونی در بخش‌های گذشته و در پیوند با چینه شناسی منطقه توضیح داده شده است.

سنگهای نفوذی

پرکامبرین

توده‌های نفوذی پرکامبرین گسترش کمی در محدوده استان کردستان در برگه‌های تکاب و مهاباد دارد. در بخش شمال غربی چهارگوش تکاب قدیمی‌ترین توده‌های نفوذی پرکامبرین سازند قره‌داش (اینفراتکامبرین) می‌باشد. همچنین در برگه تکاب رخمنون‌هایی از گرانیت دوران مشاهده می‌شود.

پالئوزوئیک

در چهارگوش مهاباد توده‌هایی با ترکیب سینیت درون مجموعه پرکامبرین نفوذ کرده و رخمنون‌های بسیار کوچکی در جنوب سقز را ایجاد کرده‌اند.

مزوزوئیک

بطور کلی رخنمون توده‌های نفوذی در بخش جنوبی محدوده مورد مطالعه مشاهده می‌شود . مجموعه توده‌های نفوذی مزوزوئیک در جنوب چهارگوش سنتندج رخنمون‌دارند که این توده‌ها با ترکیب گرانودیوریتی، گابرو، گرانیت، گنیس(گرانیت-گنیس) قدیمی‌تر از کرتاسه و احتمالاً مربوط به ژوراسیک می‌باشد که به درون مجموعه‌های مزوزوئیک و پالئوزوئیک نفوذ کرده‌اند.

سنوزوئیک

توده‌های نفوذی سنوزوئیک در مناطق شمالی و باختری محدوده مورد مطالعه رخنمون دارند. در چهارگوش تکاب توده‌هایی از جنس گرانیت-دیوریت، گابرو-دیوریت - تونالیت در خاور و باختر شهر تکاب رخنمون دارند. در برگه مریوان - بانه توده‌های اولترا بازیک از جنس دونیت، پیروکسینیت، لرزولیت، مربوط به مجموعه افیولیتی کرمانشاه بروند دارند. همچنین در اطراف شهر مریوان توده‌های نفوذی از جنس گرانودیوریت، احتمالاً مربوط به ائوسن بالا- اولیگوسن زیرین به درون مجموعه‌های کرتاسه - پالئوسن نفوذ نموده است .

۲-زمین شناسی ساختمانی و تکتونیک

داده‌های مختلف زمین‌شناسی که در طی سالهای متمادی فعالیت و پژوهش زمین‌شناسان در گستره ایران زمین انجام گرفت نشان داد که فرایندهایی چون رسوبگذاری، ماگماتیسم ، دگرگونی و زمین‌ساخت، پیچیدگی‌های زیادی در زمین‌شناسی ایران بوجود آورده‌است. به همین دلیل الگوی ساختاری تحولات زمین‌ساختی، شرایط رسوبگذاری ایران در دوره‌های زمین‌شناسی پیچیدگی‌های خاصی دارد. لذا بسیاری از زمین‌شناسان برجسته که فعالیتهای زیادی در زمین‌شناسی ایران داشته‌اند و با علم به این پیچیدگی‌ها سعی در تقسیم‌بندی ایران به پهنه‌های رسوبی- ساختاری نموده‌اند. اگر چه تقسیم بندی‌ها تا حدی متفاوت هستند ولی اغلب در پهنه‌بندی‌ها شباهت‌های بسیاری دیده‌می‌شوند. از جمله دارای پوسته، حوضه‌های رسوبی گذشته، رخساره‌های سنگ‌شناسی، تحولات زمین‌ساختی و الگوی ساختاری یکسانی دارند. از جمله مهمترین تقسیم‌بندی‌های میتوان به کارهای اشتوكلین (۱۳۵۵)، نبوی (۱۹۶۸)، بربیان (۱۹۸۱) و علوی (۱۹۹۱) اشاره نمود.

در بسیاری از تقسیم بندی‌های به پهنه دگرگونی سنندج- سیرجان اشاره شده است. این پهنه بصورت باریکه‌ای به پهنهای ۱۵۰ تا ۲۵۰ کیلومتر در جنوب باختری ایران میانی و در شمال خاوری تراست اصلی زاگرس قرار دارد. بخش اعظم منطقه مورد مطالعه در این پروژه از نظر تقسیمات زمین ساختی بخش از پهنه سنندج - سیرجان می‌باشد و در انتهای شمال باختری این پهنه قرار دارد. مرز شمال خاوری پهنه سنندج - سیرجان با مناطق دیگر ایران مرکزی توسط فرو افتادگی‌هایی مشخص می‌شود و پس از آن کمان ماقمایی ارومیه - دختر قرار دارد.

در پهنه زمین ساختی سنندج - سیرجان ، پدیده‌های دگرگونی، ماقماییسم و زمین‌ساخت پی در پی وهماهنگ با فازهای زمین‌ساختی شناخته شده در مقیاس جهانی در بیشترین مقدار است. به همین رو این زون ناآرام ترین و به گفته‌ای پویا ترین پهنه زمین ساختی ایران است. همانطور که در مباحث چینه شناسی اشاره گردید در استان کردستان، بیشترین بروند سنگهای دگرگون مربوط به مزوژوئیک می‌باشد. از دیدگاه ژئودینامیکی، شیخ‌الاسلامی (۱۳۸۱)، موارد ذیل را برای این پهنه ذکر می‌کند :

الف) بازشده‌گی درون قاره‌ای به سن پالئوزوئیک در حاشیه شمالی گندوانا
ب) جدا شدن ورق ایران از گندوانا در حاشیه جنوبی خود به دنبال بازشده‌گی تیس جوان پس از پرمین میانی

ج) از آغاز ترباس پسین، سنگ کره اقیانوسی تیس جوان در اثر فرورانش در زیر ورق ایران شروع به از بین رفتن می‌کند . از این زمان به بعد سنندج- سیرجان یک گوه بر افزایشی را شکل داده است .

د) بسته شدن تیس جوان در انتهای مزوژوئیک از مهمترین گسلهای واقع در استان کردستان، گسل راندگی اصلی زاگرس می‌باشد که گاه به صورت یک منطقه گسلی است و گاه شاخه‌های متعددی دارد که در منطقه کرمانشاه و کردستان دو گسل مروارید و گسل صحنه از تقسیمات گسلهای زاگرس می‌باشد.

تصویر ۳-۲

تصویر ۴-۲

تصویر ۵-۲

تصویر ۶-۲

فصل سوم

اسکارن‌های تنگستن و آهن

۱-۳ مقدمه‌ای بر ذخایر اسکارنی

واژه اسکارن اولین بار توسط تورن بوم (Tornebohm) در سال ۱۸۷۵ مورد استفاده قرار گرفت . ایشان اشاره می‌کند که این واژه در ناحیه پرزبرگ (Persberg) توسط معنکاران مورد استفاده قرار می‌گیرد . هرچند این واژه ، واژه چندان مناسبی نیست و شاید پیرومتسوماتیک ، واژه مناسب تری باشد ولی اسکارن متداول تر می‌باشد .

اسکارن‌ها اغلب در سطح تماس یا نزدیکی سطح تماس سنگ‌های مختلف (به ویژه سنگ‌های کربناتی) با توده‌های نفوذی پلوتونیک آذرین یافته‌می شوند. اسکارن‌ها براساس ویژگی‌های مختلفی قابل تقسیم‌بندی می‌باشند . واژه‌های اندواسکارن و اگزاوسکارن به ترتیب به جایگزینی رسوبات کربناته و سنگ آذرین نفوذی در سطح تماس اشاره دارد . اگزاوسکارن‌ها براساس مینرالوژی غالب آنها قابل تقسیم بندی به انواع اگزو اسکارن‌های منیزیم‌دار و کلسیم‌دار می‌باشند .

به طور کلی می‌توان گفت ترکیب و بافت سنگ اولیه (Protolith) کنترل کننده ترکیب و بافت اسکارن می‌باشد . ولی ذخایر اسکارنی که از نظر اقتصادی بسیار مهم می‌باشند در اثر متاسوماتیسم بزرگ مقیاس ترکیب سیال کنترل کننده نوع اسکارن و کانی‌شناسی‌می باشد . جدول ۱-۳ مهمترین ویژگی‌های کانسارهای اسکارن را نشان می‌دهد .

جدول ۱-۳: مشخصات کلی نهشته‌های اسکارن

عمق تشکیل	متغیر، یک تا چند کیلومتر
دمای تشکیل	از ۳۵۰ تا ۸۰۰ درجه سانتی گراد
نحوه رخداد	در مجاورت یا به طور بخشی در داخل سنگ‌های آذرین نفوذی عمیق، غالباً در سنگ‌های کربناتی و گاهگاهی در هورنفلس‌ها، شیست‌ها یا گنایس‌ها جای می‌گیرند.
ماهیت مناطق کانسنگ‌دار	بی نهایت نامنظم، زبانه‌های کانسنگ ممکن است در طول هر ساخت صفحه‌ای موجود مانند لایه‌بندی، درزه‌ها، گسل‌ها وغیره قرار می‌گیرد. پراکندگی آن‌ها در هاله مجاورتی عumoً نامنظم است. تغییرات ساختاری می‌تواند قطع شدگی ناگهانی توده‌های معدنی را در پی داشته باشد.
کانسنگ‌ها	Sn, Mo, Pb, Zn, C, W, Cu, Fe وغیره
کانه‌ها	مگنتیت، اسپکولاریت، گرافیت، طلا، کالکوپیریت، پیروتیت، شلیت، ولفرامیت، گالن، اسفالریت، پیریت، مولیبدنیت، کاسیتریت
کانی‌های باطله	کانی‌های اسکارنی دما بالا نظیر گروسولاریت، هدنبرژیت، ایدوکراز، اپیدوت، اکتینولیت ولاستونیت، دیوپسید، انورتیت وغیره. کوارتز اگر موجود باشد به شکل دما بالا متبلور می‌شود. کربنات‌ها
دگرسانی سنگ‌دیواره	تشکیل گسترده اسکارن، تکتیت و یا مرمر
بافت‌ها و ساخت‌ها	معumoً درشت دانه‌ها ممکن است به دلیل جایگزینی سنگ آهک‌های لایه‌ای، نواری باشند.
منطقه بندی	معumoً توالی پارازیک بدین قرار است: سیلیکات‌ها، شلیت، مگنتیت، کاسیتریت، سولفیدهای فلزات پایه. این گروه‌ها اغلب ترتیبی منطقه‌ای داشته و سولفیدها در دورترین نقطه بیرونی قرار می‌گیرند. سرب و روی معumoً نسبت به مس در فواصل دورتری از سطح تماس مشاهده می‌شوند. مناطق سیلیکاتی تهی ممکن است در نزدیکی توده نفوذی حضور داشته باشد.
مثال‌ها	آهن مارمورا، انتاریو؛ کورنوال، پن؛ مس ناحیه مک‌کی، ایداهو؛ ناحیه کاسپسیون دل اورو، مکزیک؛ روی ناحیه اسلو، نروژ؛ تنگستان گلدھیل، یوتا؛ کینگ ایلند شلیت، تاسمانی؛ قلع کرامت پولای، مالزی

همان طور که اولین محققینی که بر روی اسکارن مطالعه نموده‌اند اشاره کرده‌اند، تشکیل ذخایر اسکارنی یک فرایند دینامیک می‌باشد. در بسیاری از ذخایر اسکارنی بزرگ یک تغییرات تدریجی از متامورفیسم اولیه، دور از منشأ تا متاسوماتیسم بعدی وهم جوار حاصل از اسکارن کانه دار دانه درشت وجوددارد.

به دلیل گرادیان‌های حرارتی بالا و سلول‌های چرخان سیال بزرگ که توسط نفوذ مagma ایجاد می‌گردد، دگرگونی مجاورتی می‌تواند بسیار پیچیده‌تر از مدل ساده تبلور مجدد ایزوشیمیایی ساده حاصل از دگرگونی ناحیه‌ای باشد. به عنوان مثال چرخش سیال‌ها درون شکستگی‌ها در یک سنگ اولیه (Protolith) کربناتی ساده می‌تواند واکنش‌های متفاوتی درپی داشته باشد. بنابراین گرادیان‌های گرمایی زیاد که در محیط‌های پلوتونیک معمول می‌باشد با متاسوماتیسم و انتقال فلزات به درون سنگ میزبان می‌تواند باعث تشکیل اسکارن‌ها و اسکارنوئیدها گردد.

سیالات متاسوماتیک پیچیده‌تر همراه با اضافه شدن ترکیباتی مثل Cu ، Si ، Fe و غیره می‌توانند باعث پیوستگی بین فرایندهای خالص دگرگونی و متاسوماتیک شوند. این فرایندهای دگرگونی اولیه و متاسوماتیسم بعدی با درجه بالا می‌توانند در نهایت با کاهش دما به دگرسانی قهقهایی منتهی گردد.

یکی دیگر از مسائل بسیار مهم کنترل کننده اندازه، شکل هندسی و استیل دگرسانی اسکارن‌ها، عمق تشکیل می‌باشد که علاوه بر مطالعات فشارسنجی (Geobarometry) می‌توان از موقعیت چینه شناسی با تفسیرهای بافتی سنگ‌های آذرین برای تشخیص آن استفاده نمود. مشاهدات ساده‌ای چون، حاشیه‌های سرد شده، اندازه دانه‌های پوروفیری، مورفولوژی پلوتون و حضور برش و سیماهای شکننده (Brittle) می‌تواند به تشخیص محیط‌های کم عمق و عمیق کمک نماید.

۲-۳ طبقه‌بندی ذخایر اسکارن

تقسیم بندی ذخایر اسکارنی می‌تواند براساس موارد مختلفی انجام شود. به طور مثال برای این کار می‌توان سیماهای توصیفی مثل ترکیب سنگ منشأ اولیه (Protolith)، نوع سنگ و فلزات اقتصادی اصلی، همینطور سیماهای ژنز مثل مکانیسم حرکت سیالات و دمای تشکیل را مورد استفاده قرار داد. به نظر می‌رسد تقسیم بندی بر اساس محتوی فلزی (مهمنترین عناصر تشکیل دهنده اسکارن) معمول تر از سایر روشها باشد. در مرحله بعد این تقسیم بندی براساس ترکیب، تکتونیک یا تغییرات ژنتیکی به گروه‌های دیگر

قابل تقسیم می باشد . بر این اساس ۷ نوع کانسار اسکارنی اصلی (طلا ، مس ، آهن ، مولیبدن ، قلع ، تنگستن و سرب و روی) مشخص شده است و کانسارهای دیگر اسکارن مثل ذخایر فلور ، باریت ، اورانیوم و ... به طور محلی اهمیت دارند .

۳-۳ اسکارن‌های آهن

بزرگترین ذخایر اسکارن ، اسکارن‌های آهن می باشند . این کانسارها عمدتاً دارای کانی مگنتیت می باشند و گاه محصولات فرعی آنها مس ، کبات و نیکل می باشد ولی اغلب ذخایر اسکارنی آهن بدون عناصر همراه می باشند . اسکارن‌های آهن کلسیک در محیط‌های کمان‌های جزایر قوسی همراه با پلوتون‌های غنی از آهن می باشند که به درون سنگ آهک و ولکانیک ها نفوذ نموده است . در حالیکه اسکارن‌های آهن و منیزیم دار همراه با پلوتون‌های متفاوتی در جایگاه‌های تکتونیکی می باشد ولی عمدتاً این نوع در اثر نفوذ توده به درون دولومیت‌ها تشکیل می شوند .

۴-۳ اسکارن‌های تنگستن

اسکارن‌های تنگستن در بسیاری از قاره‌ها همراه با نفوذ پلوتونهای کالک آلکالن به درون سنگ‌های مختلف در کمربندهای کوهزایی تشکیل شده‌اند . این کانسارها همراه با با تولیت‌های همسان دانه و درشت بلور (همراه با پگماتیت‌ها و دایک‌های آپلیتی) احاطه شده با هاله‌های دگرگونی دما بالای بزرگ یافت می شوند . این سیال‌ها اغلب مربوط به محیط‌های عمیق می باشند . هاله‌های دگرگونی دما بالا در اسکارن‌های تنگستن فراوان هستند که دارای هورنفلس کالک – سیلیکات ، اسکارن‌های واکنشی و اسکارنوئید می باشند . نیوبری و اینودی (Newberry and Einaudi , 1981) اسکارن‌های تنگستن را به دو گروه تقسیم کرده‌اند ، انواع احیایی و اکسیدی . این تقسیم بندهی براساس ترکیب سنگ میزبان (کربناتی و هماتیتی) ، کانی شناسی اسکارن (آهن دو ظرفیتی در مقابل آهن سه ظرفیتی) و عمق تشکیل نسبی (درجه حرارت دگرگونی و درگیر با آب زیرزمینی اکسیژن دار) انجام گرفته است .

در اسکارن‌های تنگستن احیایی ، اجتماع اولیه کانیایی شامل پیروکسن هدنبرژیتی و به مقدار کمتر گارنت گراندیتی همراه با شلیت غنی از مولیبدن (پاولیت) ریز دانه و پراکنده می باشد . ولی در اسکارن‌های تنگستن اکسیدی ، گارنت آندراتیتی فراوان تر از پیروکسن می باشد و شلیت فقری از مولیبدن می باشد ، فاز

آهن دو ظرفیتی فراوان‌تر از آهن سه ظرفیتی می‌باشد . به طور کلی اسکارن‌های تنگستن اکسیدی کوچکتر از انواع احیایی می‌باشند.

۳-۵ ویژگی‌های اکتشافی ذخایر اسکارنی

امروزه اغلب برای بی جویی مواد معدنی از سیستم اطلاعات جغرافیایی (GIS) استفاده می‌شود . برای استفاده از این سیستم دانستن خصوصیات زمین‌شناسی ، ژئوشیمیایی و ژئوفیزیکی ذخایر الزامی می‌باشد تا بتوان در سیستم از این خصوصیات بارز استفاده نمود . در این مبحث خلاصه‌ای از ویژگی‌های اکتشافی ذخایر اسکارنی تنگستن مورد بحث قرار می‌گیرد .

از نظر زمین‌شناسی ذخایر با مناطق هورنفلس نزدیک یک پلوتون بروند یافته یا هورنفلس‌های روی یک پلوتون پنهان یافت می‌شوند. حضور لایه‌های آهکی نازک لایه ، خالص و یا ناخالص می‌تواند مهم باشد . وجود کنتاکت دارای با شیب کم بین پلوتون و سنگ‌آهک از نکات مهم اکتشافی می‌باشد . در صورت وجود سنگ منشأ مناسب (پلوتون) و سنگ میزان مناسب (سنگ‌های آهکی و غیر کربناتی) تله‌های ساختاری و چینه شناسی در سنگ‌های میزان کربناتی – رسی در تشکیل کانسار مهم هستند . کنتاکت پلوتون – سنگ آهکی نامنظم به ویژه از نظر زمین‌شناسی مهم است و در نهایت شکستگی‌های استوک ورکی در طول کنتاکت با اولویت می‌باشد .

از نظر ژئوشیمیایی نمونه برداری معمولی و مرسوم ژئوشیمیایی برای آشکارسازی آنومالی‌های تنگستن کمتر مؤثر و مفید می‌باشند. ولی نمونه برداری کلی (Bulk sampling) از آبرفت‌های رسوبات رودخانه‌های اصلی و مطالعه کانی‌های سنگین آنها مفیدتر است .

همینطور عناصر مس ، مولیبدن و روی اغلب با اسکارن‌های تنگستن یافت می‌شود و می‌توانند به عنوان ردیاب استفاده شوند و آب‌هایی که از مناطق دارای اسکارن تنگستنی زهکشی می‌شوند غنی از فلور ایون می‌باشند . از نظر ژئوفیزیکی اگر در مطالعات ژئوفیزیکی هوایی در مناطق اسکارن‌های تنگستن دار ، پلوتون‌های دفن شده کم عمق وجود داشته باشد ، از نظر مغناطیسی ممکن است ویژگی خاص آنها یک مغناطیس بالا با یک مرکز مغناطیس پایین همراه باشند

در تصاویر ماهواره ای چند طیفی ، آنومالی های همراه با مناطق پیریت دار (اکسیده) در مناطق هورنفلس میتواند در اکتشاف این کانسارها مهم باشد .

ابزار مفید برای اکتشاف در مطالعات صحرایی لامپ ماورای بنسخ می باشد که می تواند در طول روز استفاده شود و مناطقی که وجود شلیلت محرز گردید در طی شب مورد پی جویی و تحقیق قرار گیرد .

بسیاری از موارد ذکر شده در خصوص ویژگی های زمین شناسی مناطق اسکارنی برای کانسارهای آهنی اسکارن نیز قابل استفاده می باشد ، زیرا این کانسارها در منطقه کن tact توده های نفوذی و سنگ های رسوبی به خصوص سنگ های آهکی و رسوبات تخریبی کربنات دار تشکیل می شوند . تشکیل اسکارن ها اغلب با دگرسانی گرمابی در سنگ های میزبان به خصوص سنگ های کربناتی و ولکانیک های بازیک که با واکنش های مختلف (در اثر خنثی شدن محلول های اسیدی) همراه است . بنابراین انواع مختلفی از دگرسانی ها مثل سیلیسی شدن ، کلریتی شدن ، اپیدوتی شدن و یا آلبیتی شدن سنگ میزبان تشکیل می شود .

۶-۳ ذخایر اسکارن ایران

اگرچه چگونگی تشکیل برخی از ذخایر در ایران کاملاً شناخته نشده است ولی برخی از کانسارهای ایران مشخصاً به صورت اسکارنی تشکیل شده اند . ذخایر اسکارنی گسترش قابل ملاحظه ای در محیط های زمین شناسی ایران دارند و برخی از ذخایر مهم ایران از نوع اسکارنی می باشند . از مهمترین ذخایر اسکارنی شناخته شده ایران ، ذخایر آهن سنگان (در خراسان رضوی) ، ذخایر آهن گل گهر (یکی از نظریات در خصوص آنها تشکیل اسکارنی و دگرگونی بعد از تشکیل می باشد) ، ذخایر آهن گلالی ، آهن شهرک ، کانسار مس پورفیری - اسکارن سنگون و ... می باشند . برخی از اندیس های معدنی استان کردستان نیز از نوع اسکارنی هستند و به طور کلی پتانسیل تشکیل و اکتشاف این نوع ذخایر در این استان بالا می باشد . از ذخایر اسکارنی آهن در این منطقه می توان به کانسار آهن گلالی و شهرک اشاره کرد .

فصل چهارم

آماده‌سازی و پردازش داده‌ها

۱-۴ مقدمه ای بر روش های مدلسازی اکتشافی با استفاده از تکنیک های تلفیق و GIS

هدف از این مطالعه تجزیه و تحلیل داده‌ها می‌باشد که منجر به استنباط مفاهیم خاصی از داده‌ها می‌شود. این امر میتواند به روشهای مختلفی همچون مشاهده و یا عملیاتی چون اندازه‌گیری، محاسبات آماری، انطباق دادن مدل‌های خاص بر روی مقادیر داده‌ای و یا روشهای دیگر صورت بگیرد که نهایتاً قابلیت پیش‌بینی و توانایی اخذ تصمیم می‌باشد.

مدلسازی با استفاده از جبر نقشه‌ای و به کمک مدل‌هایی صورت می‌گیرد که در برگیرنده قوانین تلفیق لایه‌های اطلاعاتی است. در این مطالعه بر اساس نقشه‌های زمین‌شناسی، ژئوشیمیایی و ژئوفیزیکی ناحیه‌ای و محل قرارگیری کانسارها و اندیشهای معدنی، بخش‌هایی از این زونهای عمومی برای مطالعات دقیق‌تر انتخاب می‌شوند. تهیه نقشه پتانسیل معدنی یکی از شاخصترین کاربردهای GIS در زمین‌شناسی است.

تهیه نقشه پتانسیل معدنی در چهار مرحله انجام می‌شود:

۱- ارائه مدل اکتشافی

۲- جمع‌آوری داده‌های مکانی

۳- پردازش داده‌های مکانی

۴- مدل‌سازی

مدل کانسار با تفسیری از فرآیند کانسار همراه است که برای معرفی معیارهای اکتشافی مفید می‌باشد. با توجه به این که در تهیه نقشه‌های پتانسیل معدنی مدلی که مورد استفاده قرار می‌گیرد بر اساس مدل کانسار با توجه به کانی‌زایی قرار دارد ولی از آنجا که مدل کانسار معمولاً تکیه زیادی به ویژگی‌های خود کانسارها یا مناطق اطراف آنها دارد در نتیجه مدل مورد نظر به مدل اکتشافی نزدیکتر می‌باشد. مدل اکتشافی شامل تمام متشكله‌های مدل کانسار است که با توجه به داده‌های ناحیه‌ای و نیز نشانه‌های معدنی موجود در منطقه قابل اعمال بر عملیات اکتشافی می‌باشد.

مدل اکتشافی بخصوص زمانی که لایه‌های اطلاعاتی بر اساس روش‌های تکیه بر دانش ارزش‌گذاری می‌شوند، اهمیت زیادی پیدا می‌کند. در این روش‌ها ارزش دادن به لایه‌های اطلاعاتی مختلف و نیز کلاس‌های مختلف هر یک از لایه‌ها طبق نظر کارشناس و بر اساس مدل اکتشافی صورت می‌گیرد.

بعد از برقراری مدل اکتشافی، داده‌های مناسب از منابع مختلف جمع‌آوری گردید. داده‌ها و منابعی که در مطالعه مورد استفاده قرار گرفته‌اند شامل موارد زیر می‌باشند:

- داده‌های زمین‌شناسی و سنجش‌نامه
- داده‌های ژئوفیزیکی
- داده‌های حاصل از مطالعات دورسنجی
- داده‌های ساختاری

۲-۴ روش کار

مراحل ساخت و تولید نقشه‌های پتانسیل GIS بطور کلی در چهار مرحله زیر انجام می‌شود:

- ۱- ساخت یک مدل توصیفی از کانسار مورد بررسی
- ۲- ساخت و آماده سازی مجموعه‌ای از داده مکانی مورد نظر
- ۳- پردازش داده‌ها
- ۴- تلفیق و ترکیب داده برای بدست آوردن نقشه نهایی

در زیر اشاره‌ای مختصر به هر یک از این مراحل می‌شود:

۲-۱-۴ مدل توصیفی از کانسار مورد نظر (Conceptual Model)

مدل توصیفی در اینجا همان مدل کانسار است که نوع کانسار مورد بررسی و محیط تشکیل آن مورد بررسی قرار می‌گیرد. که به آن مدل اکتشافی نیز گفته می‌شود که تشکیل می‌شود از تمام مؤلفه‌ها و شاخص‌هایی که در مقیاس مختلف بر مبنای برداشت‌های ژئوفیزیکی، ژئوشیمیایی، تصاویر ماهواره‌ای و زمین‌شناسی برای آن کانسار مورد بررسی دیده می‌شود.

مدل اکتشافی می‌تواند راهنمای خوبی برای انتخاب داده‌های مورد استفاده باشد. همین‌طور در روش‌هایی که بر مبنای قضاوت کارشناس است می‌تواند برای وزن دادن و ارزش‌دهی مورد استفاده قرار بگیرد.

روش‌های استفاده شده برای آماده نمودن نقشه‌های رخدادی از داده‌های خام اولیه بر مبنای مدل اکتشافی کانسار می‌باشد. بطور مثال نزدیکی و مجاورت بین واحدهای زمین‌شناسی خاص می‌تواند در کانسارهای اسکارن با اهمیت باشد ولیکن در کانسارهای پلاسربال با اهمیت می‌باشد.

۲-۲-۴ ساخت بانک اطلاعاتی

ساخت یک پایگاه داده از اطلاعات موجود بیشترین وقت و زمان را در اکثر پژوهش‌های GIS به خود اختصاص می‌دهد. این داده‌ها می‌تواند بصورت اشکال و اندازه‌های متفاوت بر حسب فرمت و ساختار داده‌ها موجود باشند. داده‌های زمین‌شناسی بایستی بصورت رقومی شده باشند، داده‌های ژئوشیمیایی عموماً نقطه‌ای و بصورت فایل‌های ASCII شامل مختصات نمونه‌های آنالیز عناصر هستند که این داده برای مورد استفاده قرار گرفتن بایستی بصورت نقشه‌های شبکه‌ای درآورده شوند. داده‌های ژئوفیزیکی و تصاویر ماهواره‌ای نیز بصورت شبکه‌های عددی حاوی مقادیر مورد نظر می‌باشند. در اکثر موارد داده‌های مورد استفاده بصورت رقومی می‌باشند. در غیر این صورت این داده‌ها بایستی بصورت رقومی و قابل فهم برای کامپیوتر در آورده شوند.

۲-۳-۴ پردازش داده‌ها

این مرحله شامل پردازش داده‌های اولیه خام برای رسیدن و استخراج نقشه‌های رخدادی به منظور پیش‌بینی کانسار مورد نظر می‌باشد. بطور مثال می‌توان به برخی از روش‌های پردازش به صورت زیر اشاره داشت:

- عموماً نقشه‌های زمین‌شناسی از واحدهای متعدد و زیادی تشکیل شده‌اند که این واحدها بایستی بر حسب مدل اکتشافی به یکسری واحدهای کمتر و ریزتر طبقه‌بندی شوند.
- کنتاکت‌های بین بعضی از واحدهای زمین‌شناسی می‌تواند مهم باشد. این درجه اهمیت با دور شدن از مرکز تماس به صورت فواصل راهرویی (Buffering) بیان می‌شود.
- استفاده از روش‌های آنالیز چند متغیره مثل فاکتور آنالیز برای کم کردن تعداد متغیرها برای بررسی و تفسیر راحت داده‌ها مفید می‌باشد.
- بکارگیری و استفاده از فیلترهای مناسب در وضوح و شناسایی بیشتر داده‌های ژئوفیزیکی و تصاویر ماهواره‌ای

۴-۲-۴ تلفیق داده‌ها

مرحله آخر شامل ترکیب نقشه‌های رخدادی مختلف به یک یا چند نقشه پتانسیل مطلوب است. بر حسب نوع وزن و انتخاب نقشه‌های رخدادی و نوع ترکیب می‌توان نقشه‌های نهایی زیادی تولید کرد. نوع ترکیب

داده‌ها می‌تواند بر حسب روش‌های برگرفته از داده‌ها (مثل Wofe) و روش‌های برگرفته از تجربه و شناخت کارشناس (مثل منطق فازی) باشد. در روش اوزان شاخص (Wofe) وزن دهی به لایه بر اساس ارتباط معنی دار بین هر لایه با کانسارهای شناخته شده موجود می‌باشد و در روش منطق فازی وزن دهی و ترکیب لایه‌ها بوسیله یک کارشناس ماهر آشنا به منطقه انجام می‌شود.

۳-۴ توصیف مدل اکتشافی در کانی‌سازی اسکارن

زمین‌شناسی کانسار: این ذخایر اغلب دارای کانیهای عناصر قلع، تنگستن و مولیبدن می‌باشد که بهمراه باطله‌های اسکارنی در ارتباط با توده نفوذی و همبری آن با دیگر سنگها به خصوص سنگهای رسوبی از نوع کربناتی یافت می‌شوند.

مثال‌های کانسار: معدن پاین کریک (pine Creek) در کالیفرنیا، ناحیه میل سیتی در نوادا و ناحیه کریک راک در منutowل از مثال‌های ذخایر تنگستن اسکارنی می‌باشد.

ذخایر همیافت یا ذخایری که بطور منشائی مرتبط با این نوع می‌باشد: عبارتند از ذخایر روی اسکارنی، گرایزن‌های قلع، رگه‌های کوارتز، کاسیتیریت، سولفید، رگه‌های کوارتز، تورمالین، واستوکورک‌های قلع، تنگستن، مولیبدن.

ویژگیهای ژئوفیزیک اکتشافی: جهت اکتشاف این کانسار، ژئوفیزیک به منظور تعیین لوکوگرانیتهای شدیداً تفریق یافته استفاده می‌شود تا پاسخ مغنتیت پائین، گرانی‌سنجدی پائین و مقادیر رادیومتری بالا را مشخص نمایند.

روش‌های مغناطیس سنجدی زمینی و پلاریزاسیون القایی می‌تواند برای مشخص کردن مرز بیرونی کانسار مورد استفاده قرار گیرد. زیرا، مگنتیت، پیروتیت و کانیهای سولفیدی در این ذخایر فراوان هستند.

سنگ‌های میزبان: این ذخایر دارای سنگ میزبان از نوع کربنات شامل سنگ آهک دولومیت، مرمر و سنگ‌های کربناتی آرژیلیت و شیل هستند، که در کنタکت استوک‌های گرانیتی، پلوتون‌ها یا باتولیت‌ها قرار دارد.

دگرسانی سنگ دیواره: دگرسانی سنگ دیواره شامل توسعه وسیع گرایزن، دگرسانی سریسیتی و سیلیسی است. سنگهای نفوذی همراه با اسکارنهای تنگستن ممکن است به اجتماع اندو اسکارنهای دگرسان شوند که دارای میکا، کلسیت و پیریت است.

ژئوشیمی عناصر کمیاب: در این کانسارها عناصر آنومالی Mn, Fe, As, B, Bi, Sn, Zn, Cu, Zn, Mo, W نشان میدهند.

جایگاه تکتونیکی: حاشیه قاره‌ها، پلوتونیسم همزمان با کوهزایی و گاه جایگاههای پشت کمان تراستی ضخیم شده

سن کانی سازی‌ها درجهان: عمدتاً مزوژوئیک می‌باشد ولی می‌تواند هر سنی داشته باشد.

۴-۴- منطقه‌های مدلسازی اکتشافی

مدلسازی پتانسیل معدنی برای یافتن مناطق امیدبخش بر اساس منابع و اطلاعات مختلفی از شواهد موجود می‌باشد. محاسبه پتانسیل معدنی از طریق تلفیق و ارزش‌دادن به شواهد یا نقشه‌های نشانگر صورت می‌گیرد. بطور کلی ارزش‌گذاری و وزن دادن به نقشه‌ها می‌تواند به دو روش انجام گیرد:

۱- تجزیه و تحلیل اهمیت نقشه‌های نشانگر در رابطه با کانسارها و اندیسه‌های معدنی شناخته شده در منطقه

۲ - قضاویت شخصی کارشناس

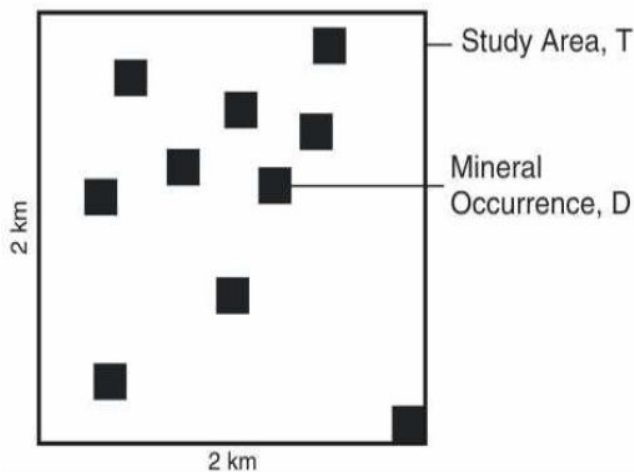
بعارت دیگر نسبت دادن وزن‌ها می‌تواند با استفاده از روش‌های تکیه بر داده و یا تکیه بر دانش صورت بگیرد. بطور کلی قوانین فیزیکی و شیمیایی حاکم بر تشکیل کانسارها پیچیده‌تر از آن هستند که بتوان مستقیماً آنها را از روی تئوری ریاضی نتیجه‌گیری کرد. پیش‌بینی کانسارهای معدنی باید بر مبنای روابط تجربی و به کمک مدل توصیفی کانسار صورت بگیرد. مطالعه کانسارهای مختلف منجر به تشخیص تیپ‌های مختلفی گشته که هر یک شامل تعدادی کانسار حقیقی است. ویژگی‌های مشترک این کانسارها تا آن اندازه کافی است که بتواند بعنوان یک مدل توصیفی عمل کرده و در یافتن کانسارهای جدیدی از آن گروه یاری جست.

در این گزارش از روش منطق فازی استفاده شده است ولی جهت آشنایی به هر یک از دو روش اشاره ای مختصر خواهد شد.

۱-۴-۴ روش وزن های رخدادی (Weight of Evidence)

این روش بر مبنای تئوری احتمالات شرطی (Bayesian) استوار است و اولین بار توسط بونهام کارت (1994) مطرح شد. این روش بر اساس داده های اولیه موجود (نقاط آموزشی)، یک ارتباط مکانی را با نقشه های رخدادی (بطور مثال تمرکز عناصر) برقرار کرده که خروجی آن بصورت قوانین احتمالات بیان می شود. ورودی ها می توانند بصورت نقشه های دوتایی یا حتی چند کلاسه باشند ولیکن نقشه های دوتایی ترجیح داده می شود چون راحت تر و سریع تر برای تفسیر هستند و وزن هایی با واریانس پایین از آنها تولید می شود یکی از مهم ترین کلیات استفاده شده در این روش مباحث احتمالات اولیه (prior) و احتمالات پسین (Posterior) است، برای درک این موضوع فرض کنید در یک منطقه مطالعاتی (شکل شماره ۱-۴) به ابعاد ۲ در ۲ کیلومتر مربع با توزیع ان迪س های معدنی (D)، که ابعاد این ان迪س ها ۱۰۰ در ۱۰۰ متر باشند هستیم.

احتمال اولیه کشف کانسار معدنی ($P\{D\}$) بدون در نظر گرفتن اطلاعات شناخته شده برابر با احتمال اولیه کشف کانسار معدنی ($P\{D\}$) باشد که در آن $P\{D\}=N\{D\}N\{T\}$



تصویر ۱-۴ : توزیع ان迪س های معدنی در یک منطقه فرضی

$$\text{تعداد سلول های واحد در برگیرنده کانساری معدنی} = N\{D\}$$

$$\text{تعداد سلول های واحد منطقه مطالعاتی} = N\{T\}$$

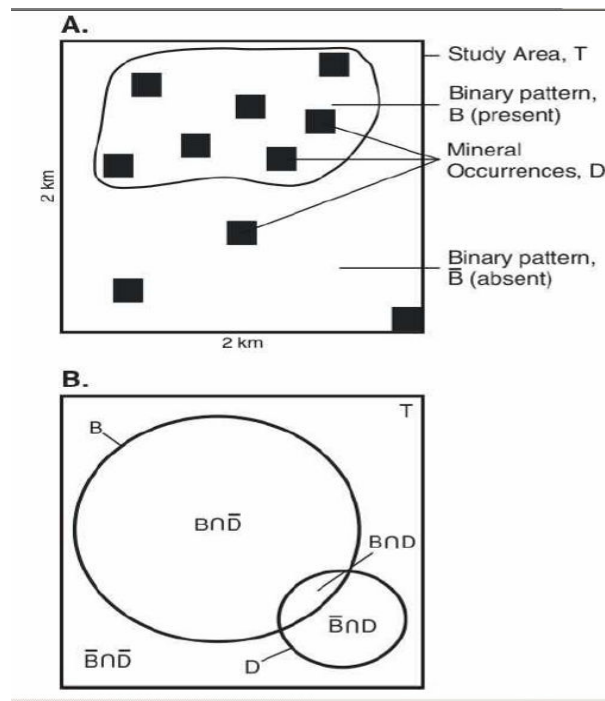
اندازه هر سلول واحد (Unit Cell) در اینجا برابر با ۱۰۰ در ۱۰۰ متر است در نتیجه احتمال اولیه کشف یک کانسار برابر با $\frac{1}{400}$ یعنی $\frac{1}{5}$ درصد می‌شود.

حال با وجود نقشه‌های رخدادی $X = \{X_1, X_2, \dots, X_n\}$ می‌توانیم احتمال شرطی ($P\{D|X\}$) را محاسبه کرد. همانطور که در شکل شماره ۲-۴ مشاهده می‌شود با اضافه شدن یک نقشه رخدادی بصورت دوتایی (B)، که هفت اندیس بالایی را در برگرفته است، احتمال شرطی طبق فرمول زیر محاسبه می‌شود:

$$P\{D\} = P\{D|B\}P\{B\}$$

که در آن $P\{B\} = \frac{7}{400}$ برابر با $P\{B|D\} = \frac{7}{10}$ می‌باشد.

در نتیجه احتمال شرطی با وجود نقشه دوتایی B برابر ۷ درصد یعنی حدود ۳ برابر بیشتر از حالتی که نقشه دوتایی وجود نداشت. همانطور در این روش از یک ضریب بنام ضریب تباين (Contrast) حاصل از تفاصل وزنهای مثبت W^+ و وزنهای منفی W^- برای انتخاب حد آستانه در نقشه‌های پیوسته (Continuous) به نقشه‌های دوتایی استفاده می‌شود که فرمول این اوزان بصورت زیر می‌باشد.



تصویر ۲-۴: احتمال شرطی با افزودن یک نقشه رخدادی (B) در یک منطقه مفروض

$$W^+ = \log_e \frac{\left\{ B/D \right\}}{P \left\{ \bar{D} \right\}}, \quad W^- = \log_e \frac{\left\{ \bar{B}/\bar{D} \right\}}{P \left\{ \bar{D} \right\}}, \quad C = W^+ - W^-$$

با این مقدمه کوتاه بر کلیت روش وزن‌های نشانگر می‌توان این مراحل را برای ساخت مدل بیان کرد:

- ۱- ساخت نقشه‌های رخدادی از هر یک از منابع اطلاعاتی بصورت شبکه‌های صحیح (integer Grid)
- ۲- محاسبه وزن‌ها براساس ارتباط مکانی نقاط آموزشی (اندیس‌ها) با نقشه‌های رخدادی
- ۳- تولید نقشه‌های دوتایی براساس ضریب تباین
- ۴- ترکیب نقشه‌های دوتایی
- ۵- ترکیب سه نقشه دوتایی را بصورت ۳ شرایط تکی (Unique Condition).

جدول شماره ۱-۴ ترکیب ۳ نقشه دوتایی و تولید ۸ حالت مختلف

. Unique condition table for three binary themes, in which class values are 2=present, 1=absent.

UC Number	Area, km2	Theme 1	Theme 2	Theme 3
1	101.7	2	2	2
2	56.2	2	2	1
3	142.1	2	1	1
4	17.0	1	2	2
5	29.8	1	1	2
6	229.3	1	2	1
7	171.2	2	1	2
8	3.8	1	1	1

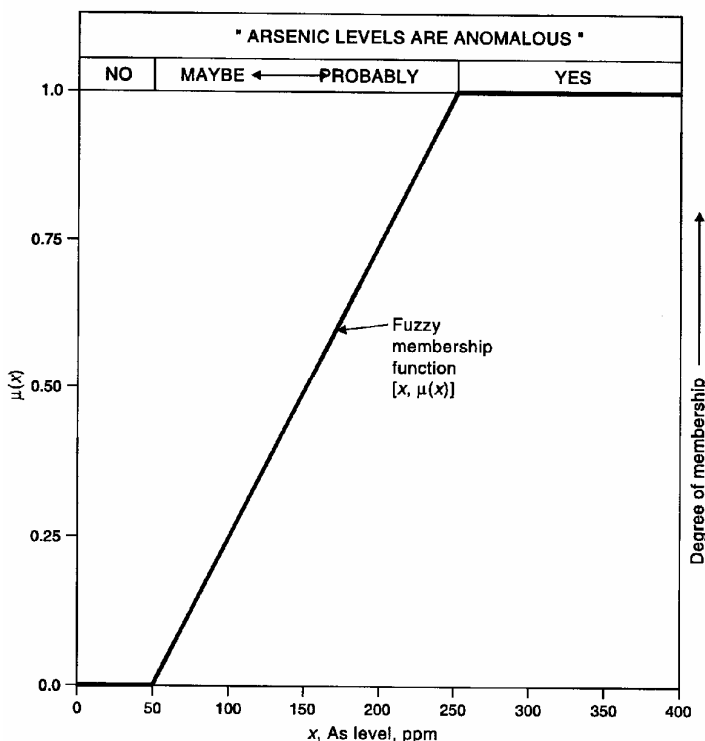
همینطور جدول شماره ۲-۴ پیدا کردن یک حد آستانه در نقشه‌های شبکه‌ای موجود که بتوان یک نقشه دوتایی تولید کرد را نشان می‌دهد. این حد برابر با ۱۲ ppb در بالاترین مقادیر ضریب تباین (1.1856) در نظر گرفته شده است.

جدول شماره ۲-۴ تشخیص حد آستانه برای جدایش آنومالی از زمینه بصورت نقشه های دوتایی

Cut off %ile	ppb	Cumulative		W ⁺	$\sigma(W^+)$	W ⁻	$\sigma(W^-)$	C	$\sigma(C)$	$C/\sigma(C)$
		area, km ²	occurre nces#							
98	137	42	0	—	—	—	—	—	—	—
95	24	93	3	0.3438	0.5869	-0.0133	0.1254	0.3571	0.6002	0.2090
90	16	227	13	0.9439	0.2856	-0.1349	0.1362	1.0788	0.3164	3.4095
80	12	435	24	0.9045	0.2100	-0.2812	0.1521	1.1856	0.2593	4.5724
70	10	848	31	0.4733	0.1830	-0.2745	0.1659	0.7479	0.2470	3.0279
60	8	1070	35	0.3582	0.1719	-0.2771	0.1756	0.6353	0.2457	2.5853
50	7	1360	45	0.3701	0.1516	-0.4732	0.2100	0.8433	0.2590	3.2560
< 50	3-6	2591	64	0.0695	0.1266	-0.7295	0.5028	0.7900	0.5185	1.5237
outside		2945	68	—	—	—	—	—	—	—

۴-۴-۲ روش منطق فازی (Fuzzy Logic)

در آمار کلاسیک عضویت در یک مجموعه بصورت صفر یا یک بیان می‌شود ، حال آنکه در منطق فازی این عضویت بصورت پیوسته از صفر (بی ارزش در مجموعه) تا یک (با ارزش در مجموعه) توصیف می‌شود . انجام وفهم این روش آسان است و براساس تجربه و شناخت کارشناس از منطقه مورد مطالعه استوار می‌باشد. بطور مثال با داشتن آنالیز مقادیر آرسنیک در رسوبات رودخانه‌ای می‌توان درجه عضویت هریک از مقادیر را بصورت شکل شماره ۳-۴ نشان داد. در این شکل مقادیر کمتر از 50^{ppm} زمینه (با ارزش صفر) و مقادیر بالاتر از 250^{ppm} آنومالی (با ارزش یک) و مقادیر بین این دو را بصورت یک تابع خطی در نظر گرفته شده است.



تصویر ۳-۴: درجه عضویت (اوزان) آرسنیک بر حسب مقادیر آنالیز آن

حال با داشتن دو یا چند نقشه که عضویت‌های فازی در آن لحاظ شده باشد می‌توان با استفاده از یکسری عملگرها این نقشه‌ها را با هم ترکیب کرد. در این رابطه پنج عملگر بنام‌های فازی AND، فازی OR، فازی SUM و فازی product باشند و وجود دارند که بصورت زیر شرح داده می‌شوند.

فازی AND

این عملگر معادل با عملگر AND بولین در آمار کلاسیک می‌باشد و بصورت زیر بیان می‌شود.

$$\text{ترکیب } \mu = \text{کمترین } (\mu_A, \mu_B, \dots)$$

که در آن μ_A, μ_B مقداری عضویت فازی در نقشه‌های A,B است. بطور مثال فرض کنید دوتابع عضویت با مقادیر ۵/۰ و ۷۵/۰ در یک عملگر فازی AND کمترین آنها یعنی ۰/۵ بدست خواهد آمد. این عملگر بصورت محافظه کارانه عمل می‌کند و جایی استفاده می‌شود که دو یا چند نقشه بایستی در کنار باشند تا نتیجه درستی حاصل شود.

فازی OR

این عملگر معادل با عملگر OR بولین در آمار کلاسیک است و خروجی آن بیشترین مقدار هر یک از نقشه‌های ورودی را به خود اختصاص می‌دهد بصورت زیر:

$$(\mu_A, \mu_B, \dots, \mu_n) \text{ بیشترین} = \text{ترکیب } \mu$$

در مواقعي که شواهد کانی‌سازی در بین نقشه‌های موجود کمتر دیده می‌شود و وجود هر شاخص مثبت می‌تواند برای ارائه نقشه نهایی مناسب باشد، استفاده می‌شود.

فازی Product

تابع عضویت برای این عملگر بصورت حاصلضرب زیر تعریف می‌شود:

$$\mu = \prod_{i=1}^m \mu_i$$

که μ تابع عضویت برای m تا نقشه رخدادی می‌باشد. خروجی همیشه کوچکتر یا معادل با کوچکترین عضویت است. بنابراین یک اثر کاهنده‌ای روی مقادیر اعمال می‌کند. و برخلاف فازی OR,AND تمام مقادیر عضویت در نتیجه نهایی متأثر خواهند بود.

فازی Sum

این عملگر مکمل فازی product وبصورت زیر تعریف می‌شود:

$$\mu = 1 - \prod_{i=1}^n (1 - \mu_i)$$

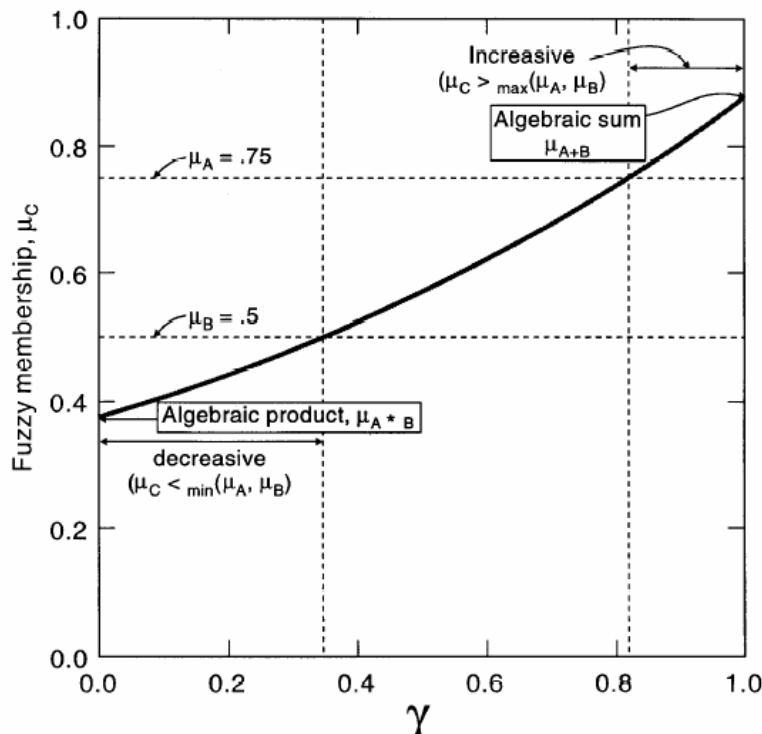
نتیجه همیشه بزرگتر یا معادل با بزرگترین مقدار تابع عضویت فازی می‌باشد. بنابراین یک اثر فزاينده دارد.

عملگر گاما(Gamma)

این عملگر بصورت زیر تعریف می‌شود:

$$\mu^{1-\gamma} (\text{فازی Sum}) , \gamma (\text{فازی Product}) = \text{ترکیب } \mu$$

که در آن γ بصورت یک پارامتر انتخابی بین صفر و یک بیان می‌شود. وقتی γ برابر با یک می‌شود. عملگر به تبدیل و وقتی که γ برابر صفر می‌شود عملگر به Product تبدیل می‌شود. با انتخاب مناسب γ می‌توان از اثرات کاهنده و افزاینده این دو عملگر در نتیجه نهایی بصورت قابل انعطافی استفاده کرد. تأثیرات مقدار γ در شکل شماره ۴-۴ نشان داده شده است.



شکل شماره ۴-۴ اثر مقدار γ اما بر روی عضویت فازی

بجای ترکیب همه نقشه‌های ورودی در یک مرحله و با یک عملگر، نقشه‌های رخدادی می‌توانند در مراحل متفاوتی با هم ترکیب شوند و نقشه پتانسیل نهایی را تولید کنند. به این نقشه‌هایی که در مراحل میانی تولید می‌شوند شبکه واسط (Interference Network) می‌گویند. انتخاب و تعریف درست این لایه‌های میانی یکی از مهمترین قسمت‌های انجام یک مدل سازی به روش منطق فازی است که با استفاده از تجارب و شناخت کارشناس از داده‌ها انجام می‌شود. یعنی ابتدا باید داده‌هایی که دارای یک ماهیت و یک خاصیت هستند (مثل مجموعه عناصر ژئوشیمیایی) را با هم ترکیب وسپس در مراحل بعدی از آن استفاده کنیم. پردازش داده‌ها با توجه به مدل اکتشافی و فاکتورهای مهم در کانی‌زایی صورت می‌گیرد. نتیجه این مرحله بدست آمدن نقشه‌های نشانگری می‌باشد که جهت پیش‌بینی محل‌های مناسب برای کانی‌زایی مورد استفاده

قرار می‌گیرند. در این گزارش نقشه‌های نشانگر به روش وزنده‌ی و روش منطق فازی با یکدیگر تلفیق شده‌اند.

منظور از پردازش داده‌ها، نگاهی جهت‌دار به هر دسته از داده‌ها است. این بررسی‌ها و پردازش داده‌ها بصورت نقشه‌ای قابل نمایش است که به آن نقشه نشانگر اطلاق می‌شود.

نقشه‌های نشانگر می‌توانند به صورت نقشه‌های دوتایی (binary) و یا به صورت چند کلاسی (multi-class) باشند. نقشه‌های دوتایی به این معناست که به مناطق با ارزش بالا عدد یک و سایر مناطق عدد صفر اختصاص داده‌می‌شود. در نقشه‌های چند کلاسی، عارضه‌ها می‌توانند ارزش‌های وسیع‌تری داشته باشند.

۴-۵ بررسی و آماده‌سازی داده‌ها

۱-۵-۴ مقدمه

جمع‌آوری و بررسی داده‌ها ای مورد نیاز بیشترین وقت پروژه را به خود اختصاص داده است. اطلاعاتی که در این پروژه، جمع‌آوری و بررسی گردیده است شامل داده‌های اندیس و نقاط معدنی، داده‌های زمین‌شناسی، داده‌های ژئوفیزیک، داده‌های توپوگرافی و داده‌های ماهواره‌ای می‌باشد.

۲-۵-۴ داده‌های زمین‌شناسی

بدلیل پراکندگی و عدم یکپارچگی، همچنین وسعت داده‌های زمین‌شناسی، گرداوری اطلاعات نقشه‌های زمین‌شناسی، یکی از زمانبرترین قسمت‌های انجام پروژه بود.

محدوده استان کردستان شامل ۱۸ برگه زمین‌شناسی به مقیاس ۱:۱۰۰۰۰۰ می‌باشد که این برگه‌ها عبارتند از قجر ور، تکاب، چاپان، سقز، آلت، بیجار، دیواندره، باین‌جوب، مریوان، بانه، قروه، سندج، تیزتیز، پاوه، کامیاران، میانراهان، گرماب و کوهین. از تعداد این ۱۸ برگه، فایل رقومی ۱۳ برگه موجود بوده که بعد از تصحیحات مورد نیاز (text و جا افتادگی بعضی از خطوط پلی‌گون‌ها) مورد استفاده قرار گرفته است. فایل رقومی نقشه‌های باقیمانده نیز تهیه گردیده و پس از رقومی‌سازی و اصلاحات ضروری مورد استفاده قرار گرفت. تصویر ۴-۵ و ۶-۴ نقشه‌های زمین‌شناسی استان کردستان همچنین نقشه‌های رقومی استان را با مقیاس ۱:۱۰۰۰۰۰ نشان می‌دهد.

تصویر ۴-۵

تصویر ۶-۴

۱-۲-۵-۴ گسل‌های زمین‌شناسی

گسل‌های زمین‌شناسی استان کردستان نیز بصورت یک لایه جدا، از نقشه‌های زمین‌شناسی استخراج شد. بررسی‌ها نشان می‌دهد گسل‌های محدوده مورد مطالعه به طور واضح از لحاظ کانی‌سازی اسکارن در مقیاس مورد مطالعه با توجه به انطباق اندیس‌هایمعدنی موجود از روند خاصی با لایه گسل‌های زمین‌شناسی پیروی نمی‌کنند. این نبود ارتباط معنی‌دار را می‌توان به قرار گرفتن منطقه مورد مطالعه در چندین ناحیه ساختاری متفاوت نسبت داد. تصویر ۷-۴ و بررسی آنها نشان میدهد که گسل‌ها در کانی‌سازی اسکارن‌ها دخالت چندان مهمی ندارند. بنابراین از این لایه اطلاعاتی در مدل‌سازی استفاده نگردید.

تصویر ۷-۴: گسلها و اندیشهای منطقه

۴-۵-۳ داده‌های توپوگرافی

استان کردستان دارای فلات‌های مرتفع و خشک و دشت‌های حاصلخیز مانند دشت مریوان، دشت اوباتو، دشت ئیلاق یا دهگلان، دشت قروه و دشت کامیاران است.

مهمترین ارتفاعات استان عبارتند از کوه بزرگ شاهو در سنندج که بلندترین کوهستان استان کردستان میباشد، همچنین برانان در غرب دیواندره، کوه عوالان در میان گاورود و کامیاران، قره داغ در شمال بیجار، گوزه در بین دهگلان و سنندج قرار گرفته است. با بررسی توپوگرافی منطقه کمترین و بیشترین ارتفاع در محدوده مورد مطالعه به ترتیب ۲۸۴ متر و ۳۵۶۰ متر میباشد.

در راستای آماده‌سازی داده‌ها، اطلاعات توپوگرافی استان کردستان آمده و بررسی گردید و با انطباق نقاط اندیس‌های معدنی با توپوگرافی منطقه مطابق شکل ۴-۸ و بررسی آن مشخص گردید که کانی‌سازی آهن (عمدتاً اسکارن) یک ارتباطی نسبتاً معنی داری را با داده‌های توپوگرافی نشان می‌دهد یعنی اکثر اندیس‌های آهن موجود در یک تراز ارتفاعی بالای ۱۹۰۰ متر قرار گرفته‌اند. ولی هیچ ارتباطی بین داده‌های توپوگرافی و دیگر اندیس‌ها (مانند تنگستان) دیده‌نشد. بنابراین این لایه اطلاعاتی تنها در مدل‌سازی تیپ آهن مورد استفاده واقع شد.

تصویر ٤-٨: dem منطقه

۴-۵-۴ اندیسه‌ها و نقاط معدنی

معرفی کانسارها و اندیسه‌های معدنی موجود در استان

یکی از لایه‌های مهم اطلاعاتی جهت مدلسازی اکتشافی استفاده از اندیسه‌ها و معادن موجود می‌باشد. این اندیسه‌ها و معادن در دو گروه فلزی و غیر فلزی تقسیم‌بندی می‌شوند که با توجه به موضوع پژوهه فازهای فلزی و مetalوژنی کانسارها و اندیسه‌های معدنی مرتبط با تیپ کانی‌زایی اسکارنهای آهن و تنگستن مد نظر می‌باشد. کانسارها و اندیسه‌های فلزی استان کردستان شامل کانسارهای سرب و روی، آهن، طلا و مس است که بطور خلاصه به آنها اشاره می‌شود.

برگه سنندج :

در این محدوده اکتشافی با توجه به حضور دگرسانیهای وسیع هر دونوع پتانسیل ذخایر فلزی و غیر فلزی در منطقه دیده می‌شود. از مهمترین مصارف غیرفلزی در این محدوده شیلهای کرتاسه است که جهت تهیه آجر و مصالح ساختمانی به مصرف می‌رسد.

در برگه سنندج کانسار فلزی مس که بصورت رگه‌ای در ولکانیکهای آندزیتی صلوات آباد در جنوب شهر سنندج دیده می‌شود.

وجود ذخایری از آهن بصورت اولیژیست و هماتیت در کوه سرمه علی قابل مشاهده است.

برگه قجر:

معدن آهن شهرک بعنوان بزرگترین ذخیره آهن با ذخیره‌ای معادل ۴۲ میلیون تن کانسنگ و عیار متوسط Fe₂O₃ ۶۵٪ در جنوب روستای شهرک مورد بهره برداری قرار گرفته است.

کانسار سنگ آهن که شامل منیتیت و هماتیت است در منطقه‌ای بطول ۷ کیلومتر و عرض ۳ کیلومتر و با امتداد شمالی-جنوبی در ۹ ناحیه رخمنون دارد. کمر پائینی کانسار را اسکارن، دولومیت و گاه سنگ آهن تشکیل می‌دهد و کمر بالای کانسار را نیز اسکارن و سنگهای ولکانیکی می‌پوشاند.

کانسار اکتشافی مس صائین در برگه قجر: این کانسار در فاصله ۲/۵ کیلومتری جنوب خاوری روستای صائین قرار دارد. بررسی‌های انجام شده‌نشان می‌دهد این کانسار ذخیره‌ای معادل ۸۱۰۷ تن با عیار متوسط ۲/۵ درصد را دارد و در حال حاضر غیرفعال است و تنها کانسار اکتشافی مس در ورقه قجر می‌باشد. در

ورقه یکصد هزارم قجر می‌توان از ذخایر معدنی غیرفلزی نظری نمک و گچ و شن و ماسه و سنگ ساختمانی و سنگلاشه و پرلیت و سیلیس نام برد که از بعضی از این ذخایر مثل نمک و گچ و شن و ماسه در حجم اندک و محلی توسط بخش خصوصی بهره‌برداری می‌شود.

برگه کوهین:

در این محدوده توده‌های نفوذی و ولکانیکها هردو دیده می‌شوند و از لحاظ پتانسیل معدنی، ذخایر فلزی و غیرفلزی موجود می‌باشد. مهمترین معدن طلا و آنتیموان ساری‌گونی می‌باشد که در جنوب غرب در داخل ولکانیکهای آندزیت، داسیت و بازالت وجود دارد و در شمال خاوری قروه قرار گرفته است. کانسنگ آنتیموان نیز در همان محدوده ساری‌گونی در محدوده روستای بهارلو- داشکسن در شمال روستای بهارلو تا جنوب‌شرق روستای داشکسن به مساحت تقریبی ۴۵/۵ کیلومتر مربع می‌باشد. عمدۀ سنگ‌های این محدوده آندزیت- بازالت می‌باشد که حدود ۷۰٪ سطح منطقه را پوشانده است.

برگه میانراهن:

با توجه به اینکه این محدوده از لحاظ لیتولوژی ادامه افیولیت‌های کرمانشاه در منطقه می‌باشد پس طبیعتاً پتانسیل کانسار فلزی و غیرفلزی در منطقه وجود دارد. با توجه به حضور سنگ‌های مافیک و وجود گسلهای منطقه، پتانسیل کانسار منیزیت دیده می‌شود. از جمله کانسارهای فلزی که می‌توان انتظار داشت فلز مس، منگنز، کروم و طلا همراه با سری افیولیتی می‌باشد. در شمال باختری منطقه و در مجاورت توده گابرو- دیبوریتی جنوب قروه کانی‌سازی آهن بصورت منیتیت، دارای منشا اسکارنی است که در نهشته‌های آهکی مجاور سنگ‌های نفوذی تمرکز یافته است.

برگه سنقر:

ویژگیهای زمین‌شناسی سنگ‌های نفوذی، زمینه کلی کانه‌زایی را در منطقه فراهم کرده است. براین مبنای خاستگاه کلی آنها ماقمایی و بصورت اسکارن در سیستم‌های موجود در سنگ‌های ولکانوس‌دیمنتر پدیدار شده‌اند. به آثار کانه‌زایی کانسار آهن خسرو‌آباد در شمال خاوری سنقر می‌توان اشاره نمود که در میان واحدهای ولکانیکی- کربناته سنقر جای دارد و ژنز آن را می‌توان احتمالاً به تیپ اسکارن نسبت داد.

برگه چاپان:

جمع‌آوری تعدادی از اثرات معدنی، رگه‌های کانی ساز و دگرسانیهای گسترش یافته در ناحیه طی نمونه‌برداری و عملیات چکشی، حضور برخی از کانیهای بالارزش اقتصادی همچون آهن، طلا، جیوه، شلیت، ارسنیک و آنتیموان را ثابت مینماید.

برگه باینچوب:

با توجه به بررسی‌های صحرایی بعمل آمده و نتایج مطالعات آزمایشگاهی، مجموعه پتانسیلهای معدنی موجود در ورقه باینچوب شامل رخدادهایی از طلا، باریت، سیلیس، بوکسیت و لاتریت، سنگهای تزیینی و نما و پودر سنگ (کربنات کلسیم) می‌باشد. براساس بررسی‌های فوق این برگه از لحاظ پتانسیل فلزات‌پایه ضعیف و غیر قابل توجه می‌باشد و تنها باریت و تا حدودی سنگهای تزیینی و نما از نظر اقتصادی می‌تواند مورد توجه قرار گیرد.

برگه آلوت:

مجموعه پتانسیلهای معدنی موجود در ورقه آلوت شامل رخدادهایی از طلا، نقره، فلزات‌پایه (سرب و روی و مس)، آهن، باریت، پیروفیلیت، سیلیس، گرافیت، لاتریت و سنگ ساختمانی می‌باشد. در این برگه دو تیپ کانه‌زایی طلا قابل توجه است که اولی مرتبط با پهنه‌های برشی و دومی از نوع سولفیدهای توده‌ای با میزبان ولکانیک می‌باشد. در ورقه آلوت، کانسنگ آهن بصورت نوار یا عدسی‌های منیتی و هماینی در حوالی روستاهای قادرآباد، بهرام آباد و گلینار مشاهده شده‌است که همگی در واحدهای متاریولیتی جایگیری شده‌است.

برگه قروه:

محدوده‌های معدنی اعم از دگرسانی، اندیس اکتشافی و معادن منطقه عمدتاً تحت تاثیر ولکانیکها و توده‌های نفوذی ایجاد شده‌اند. در جنوب محدوده توده‌های نفوذی گرانودیوریت، کوارتزمونزونیت و گرانیتهاي پورفیری باعث دگرگونی آهکها و تبدیل آنها به مرمر جهت استخراج می‌شود. دایکهای گرانیتی و آپوفیزهای آپلیتی در منطقه نفوذ کرده‌اند و باعث کانه‌زایی شده‌اند. از لحاظ پتانسیل فلزی این منطقه ضعیف می‌باشد و فقط در بعضی قسمتها در واحد دیوریتی بصورت اندیس آهن دیده می‌شود.

کانسار آهن گالالی در برگه قروه واقع شده است . با توجه به رخنمونها و شواهد روی زمین توالي چینه‌شناسی زیر را می‌توان برای این کانسار بیان کرد:

۱- سنگ آهک مرمری شده

۲- سنگ درونگیر کانسنگ که تناوبی از لایه های ضخیم آهک و نازک شیست است.

۳- اسکارن: این واحد همراه با اپیدوتها فراوان در همبری با توده نفوذی دیده می‌شود.

کانسنگ آهن در پیکره عدسه‌های کوچک و بزرگ گسترش دارد، کانسنگ اصلی سنگ آهن منیتیت می‌باشد که در بخش‌هایی کاملاً هماتیتی شده‌اند.

علاوه بر این آثار پراکنده‌ای از آهن در ارتباط با گرانیتها در کوه کمرسیاه، شمال میهم بالا و پیرامون روستای تکیه بالا را می‌توان نام برد.

برگه سقز:

در محدوده ورقه سقز بررسی های ژئوشیمیایی واکنشات چکشی تعدادی نشانه و اثر معدنی و آنومالی ژئوشیمیایی مس، طلا، سرب و روی و جیوه را معرفی نموده است که شرح آنها بصورت زیر است:

مهمنترین کانی‌سازی شناسایی شده مس در ورقه سقز کانسار آهن- مس حسن سالاری است که در یک زون اسکارن در تماس توده گرانیتی حسن سالاری با واحد آهکی پرمین بصورت نواری بطول بیش از ۵۰۰ متر و ضخامت ۱۰-۲۰ متر رخنمون دارد. کانی اصلی آن منیتیت و هماتیت است و مس بصورت کالکوپیریت و مالاکیت درون شکستگیها گرد آمده است.

از دیگر کانی‌سازی های مس نوع اسکارن می‌توان به نشانه معدن قشلاق قاضی اشاره نمود که کانی‌سازی مس در تماس میان یک توده کوچک گرانیتی بیوتیت - آمفیبیول دار(شبیه گرانیت حسن سالاری) با واحدهای آهکی کرتاسه پدید آمده است. سایر نشانه ها و آثار معدنی مس در ورقه سقز از نوع رگهای است.

در منطقه حسن سالاران کانی‌سازی عمدتاً در ارتباط با توده گرانیتی می‌باشد که اغلب در اثر فرآیندهای گرمابی در نقاط ضعف (خلل و فرج، درزه ها و شکستگی ها) شیلها صورت گرفته است. اکسیدهای آهن(به صورت منیتیت های اغلب مارتیتی شده، هماتیت، لیمونیت و گوتیت) و یا به شکل آغشته‌گی در سطوح رخ و سطوح درزهای آهک، شیل و گرانیت در نقاط مختلف محدوده مطالعه شده قابل رویت است. علاوه

برکانی سازی هیدرولیک در دو محدوده به نامهای تپه قلعه و تپه پچه مر(جنوب خاوری روستای رنگریزان) کانی سازی از نوع اسکارنی در وسعتی محدود به تعداد ضعیف (حداقل درسطح) صورت گرفته است.

هردو محدوده اسکارنی در کنتاکت گرانیت و آهک پالکوزوییک می باشند. کانی اصلی و غالب تشکیل شده در هر دو محدوده اسکارنی منیتیت است. که اغلب به هماتیت و لیمونیت تبدیل شده است.(برنا و سهیلی، ۱۳۷۶)

- کانسار آهن صاحب، در ۳۶ کیلومتری جنوب خاوری سقز از نوع اسکارن آهن بوده و در محل کنتاکت توده نفوذی بیوتیت گرانوڈیوریت این منطقه با سن کرتاسه _ پالئوسن و سازند کربناته آهک دولومیتی روتہ به سن پرمین تشکیل شده است. محل دقیق رخنمون کانسار در جنوب روستای پاپشخان واقع شده است. سنگ معدن از نوع منیتیت می باشد که کانیهای دیگر نظیر پیریت، کالکوپیریت، مالاکیت، آمفیبول و گارنت آنرا همراهی می کنند. کانسنگ منیتیتی با بافت توده ای و ساخت لنزی شکل درون بخش مرمری قرار گرفته است. بدلیل گسله بودن مرز بخش اسکارنی (مرمر) و کربناته سازند روتہ، با توجه به شواهد صحرایی نمی توان راجع به عمق تشکیل کانسار به طور دقیق قضاوت نمود ولی وجود برخی شواهد از قبیل گسترش کم، دگرسانی قهقرایی، گسترش طولی زیاد (نسبت به ضخامت)، اختلاف زیاد ضخامت لنزهای منیتیتی و باند مرمری در برگیرنده آن، احتمال عمیق بودن محیط تشکیل اسکارن را می توان انتظار داشت. این کانسار تنها به لحاظ عنصر آهن می تواند مورد توجه قرار گیرد.

برگه دیواندره:

کانسار آهن ظفر آباد در فاصله ۱۲ کیلومتری شمال باختر دیواندره و جنوب روستای ظفر آباد قرار گرفته است.

سنگهای فراغیر کانه را دو سری سنگ کاملاً متفاوت از نظر جنس تشکیل می دهند:

۱- سنگهای آهکی مربوط به پرمین ۲- سنگهای آذرین بازیک و بازیک دگرگون شده که کانه بیشتر با این سنگهای آذرین در آمیخته است.

هر چند که گهگاه در میان لایه های سنگ آهک نیز کانه آهن بصورت عدیه های کوچک دیده می شود. به هر حال خاستگاه کانه آهن در این کانسار مآگمای بازیک است.

از بررسی های زمین شناسی صحرایی چنین بنظر می رسد که هر سه مجموعه یعنی سنگهای آهکی، ولکانیک و سنگ آهن همزاد متعلق به پرمین است. کانه شامل منیتیت و هماتیت و عیار میانگین آن حدود ۶۳٪ آهن است.

برگه کامیاران:

توانهای معدنی فلزی در گستره این برگه شامل چند نشانه معدنی واندیس از منگنز(در ارتباط نزدیک با گدازه های بازالتی زیر دریایی کرتاسه بالایی و رسوبات سیلیسی-کربناتی آهندار پوشاننده آنها)، اندیسهای مس(که دارای ارزش اقتصادی نیستند و تنها بطور موضعی گزارش شده اندو محدودند) و کروم می باشد.

برگه تکاب:

در محدوده این برگه نشانه های معدنی فراوان و معادن فعال و متروکه ای یافت می شود که از اندیسهای فلزی به اندیس طلادر شمال چیچکلو، اندیس آهن خاور چهار طاق و شمال چیچکلو، سرب و روی معدن متروکه شمال آی قلعه سی میتوان اشاره نمود.

برگه بانه:

در منطقه مورد مطالعه شماری نشانه معدنی سیلیس، سنگ ساختمانی، تالک، مس و نقره مشاهده شده است.

برگه تیرتیز:

در این برگه چند آنومالی فلزی یافت شده که از جمله به آنومالی کرومیت بویدر، کانی زاییدر شمال شویشه بصورت کالکوپیریت، مالاکیت و پیریت، کانی سازی طلادر روستای دربنده میتوان اشاره کرد. برای اختصار جدول شماره ۴-۳ جهت معرفی اندیسهها و مناطق معدنی فلزی موجود در استان ارائه شده است.

جدول شماره ۴-۳

ادامه جدول شماره ۳-۴

۵-۵ داده‌های ژئوشیمی

این منطقه شامل ۱۹ برگه آلوت، سقز، چاپان، تکاب، قجور، بانه، مریوان، باینجوب، دیواندره، بیجار، پاوه، تیزتیز، سندج، قروه، کوهین، گرماب، کامیاران، میانراهن و سنقر می‌باشد.

اطلاعات برگه‌های ۱:۱۰۰۰۰ باینجوب، کامیاران، تیزتیز، قروه و آلوت (شرکت توسعه و علوم زمین) و برگه‌های چاپان، بانه، مریوان، سقز، قجور، و تکاب (سازمان زمین‌شناسی و اکتشافات معدنی) و میانراهن، کوهین و سندج موجود می‌باشد.

لازم به ذکر است که برگه گرماب توسط شرکت کاوشگران در دست تهیه می‌باشد و اطلاعات ژئوشیمی مربوط به برگه‌های دیواندره، بیجار، سنقر و پاوه موجود نبود.

در جدول شماره ۴-۴ تعداد نمونه‌های سیلت آنالیز شده در هر برگه ۱:۱۰۰۰۰ در استان، به همراه نام آزمایشگاه آنالیز نمونه‌ها نشان داده شده است. همینطور در تصویر ۴-۹ نقشه‌های ژئوشیمیایی و نقاط نمونه‌برداری با مقیاس ۱:۱۰۰۰۰۰ نمایش داده شده است.

جدول شماره ۴-۴ تعداد نمونه‌های سیلت آنالیز شده در هر برگه ۱:۱۰۰۰۰

نام برگه	تعداد نمونه‌های سیلت	نام آزمایشگاه
Ghorveh	727	Tozco
Chapan	897	Tozco, GSI
Bayanjoob	805	Tozco, GSI
Kamyaran	761	Tozco
Tiztizh	801	Tozco
Marivan	251	Tozco
Baneh	78	Tozco
Alut	855	Tozco
Saqez	1063	Jianjil
Takab	846	GSI
Ghojor	518	GSI
Sanandaj	540	-
Mianrahan	836	GSI
Koohin	803	-

نقشه ۹-۴ برگه های ژئوشیمیایی

۴-۵-عدادههای ژئوفیزیک

اطلاعات ژئوفیزیک هوایی بکارگرفته شده در استان کردستان شامل دوسری داده می باشد:

۱- اطلاعات ناحیه‌ای

این اطلاعات صرفاً شامل داده‌های مغناطیسی بوده که بین سالهای ۱۹۷۴ و ۱۹۷۷ میلادی توسط شرکت Aero service(Houston, Texas) به روش ژئومغناطیس هوایی برای سازمان زمین‌شناسی جمع‌آوری گردیده است.

برداشتهای هوایی فوق با فاصله خطوط $7/5$ کیلومتر و فاصله خطوط کنترلی 40 کیلومتر انجام شده است. هواپیمای بکار رفته یک هدایت‌گر هوایی دو موتوره بوده که یک مگنتومتر بخار سزیم با حساسیت ثبت 0.02 گاما را حمل کرده است، برداشت در برگه‌های $1:250,000$ تکاب و سندج با ارتفاع بارومتریک 7000 تا 8000 پا در برگه مهاباد 8000 تا 8500 همچنین در برگه بانه 8000 پا و در برگه کرمانشاه با ارتفاع 5500 تا 8000 پا صورت گرفته است.

با استفاده از تصحیحات مربوطه شامل حذف Spike lag و تصحیح روزانه و حذف پایگاه اطلاعات مغناطیس سنگی منطقه تهیه گردیده لذا جهت داشتن Microleving,leving,IGRF اطلاعات یکپارچه برای کل استان با استفاده از روش Suture Stitch grid و با متدهای knitting شد کل مغناطیسی استان کردستان تهیه گردید که مطابق شکل (۴-۱۰) نشان داده شده است. با استفاده از نقشه شدت کل میدان مغناطیسی مرز واحدهای مغناطیسی، ساختارها همچنین مناطق امیدبخش و انتظامی بی‌هنگاریها با واحدهای زمین‌شناسی مشخص می‌شود که در بیشتر موارد این واحدهای مغناطیسی با یک واحد زمین‌شناسی خاص متناسب می‌باشد.

جهت تفسیر داده‌های مغناطیسی فیلترهای متفاوتی بر روی نقشه شدت کل میدان مغناطیسی اعمال گردیده است. اولین فیلتر اعمالی، فیلتر برگردان به قطب (Reduction to pole) می‌باشد. با استفاده از این فیلتر میدان مغناطیسی از یک عرض مغناطیسی که در آن بردار میدان زمین مایل و شیبدار است به قطب مغناطیسی یعنی جائی که میدان القائی قائم می‌باشد، منتقل می‌گردد زیرا اگر میدان زمین مایل باشد شکل بی‌هنگاری‌های مغناطیسی که بصورت القائی بوجود آمده‌اند نسبت به منابع بوجود آورند نه باشد.

متقارن خواهد بود ولی در صورتی که میدان القایی قائم باشد بی هنجاریهای بوجود آمده در اثر القاء مغناطیسی بر روی منبع خودشان قرار می‌گیرند.

لذا تفسیر اساسی داده‌های مغناطیس هوائی معمولاً "بر روی تصاویر مختلف برگردان به قطب صورت می‌گیرد. اعمال این فیلتر با استفاده از زاویه میل (Inclination) و انحراف مغناطیسی (Declination) منطقه مورد بررسی صورت می‌گیرد. که در شکل (۱۱-۴) آورده شده است.

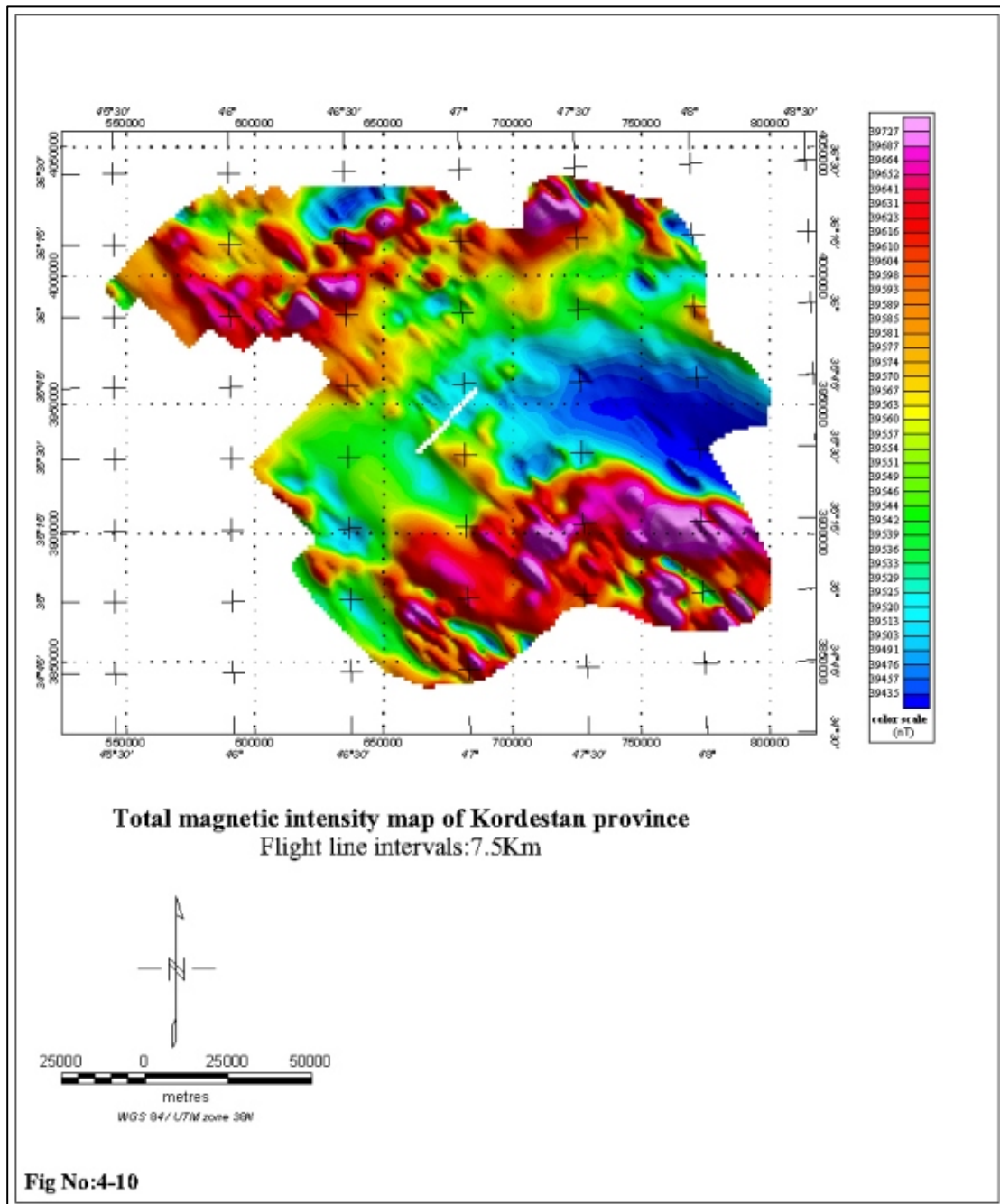
جهت حذف اثرات ناحیه‌ای با طول موج بلند و تداخل بی‌هنجاری‌های مجاور از فیلتر مشتق قائم استفاده می‌شود. مشتق قائم در واقع یک فیلتر بالاگذر می‌باشد زیرا فرکانس‌های بالا را نسبت به فرکانس‌های پائین افزایش می‌دهد، درنتیجه اثربی‌هنجاری‌های بزرگ که مربوط به منابع عمیق و منطقه‌ای می‌باشند بر روی بی‌هنجاری‌های کوچک ازین رفته و بی‌هنجاری‌های کوچک و محلی بخوبی نمایان می‌گردند که نقشه مشتق قائم در شکل شماره ۱۲-۴ نمایش داده شده است.

۲ - اطلاعات محلی

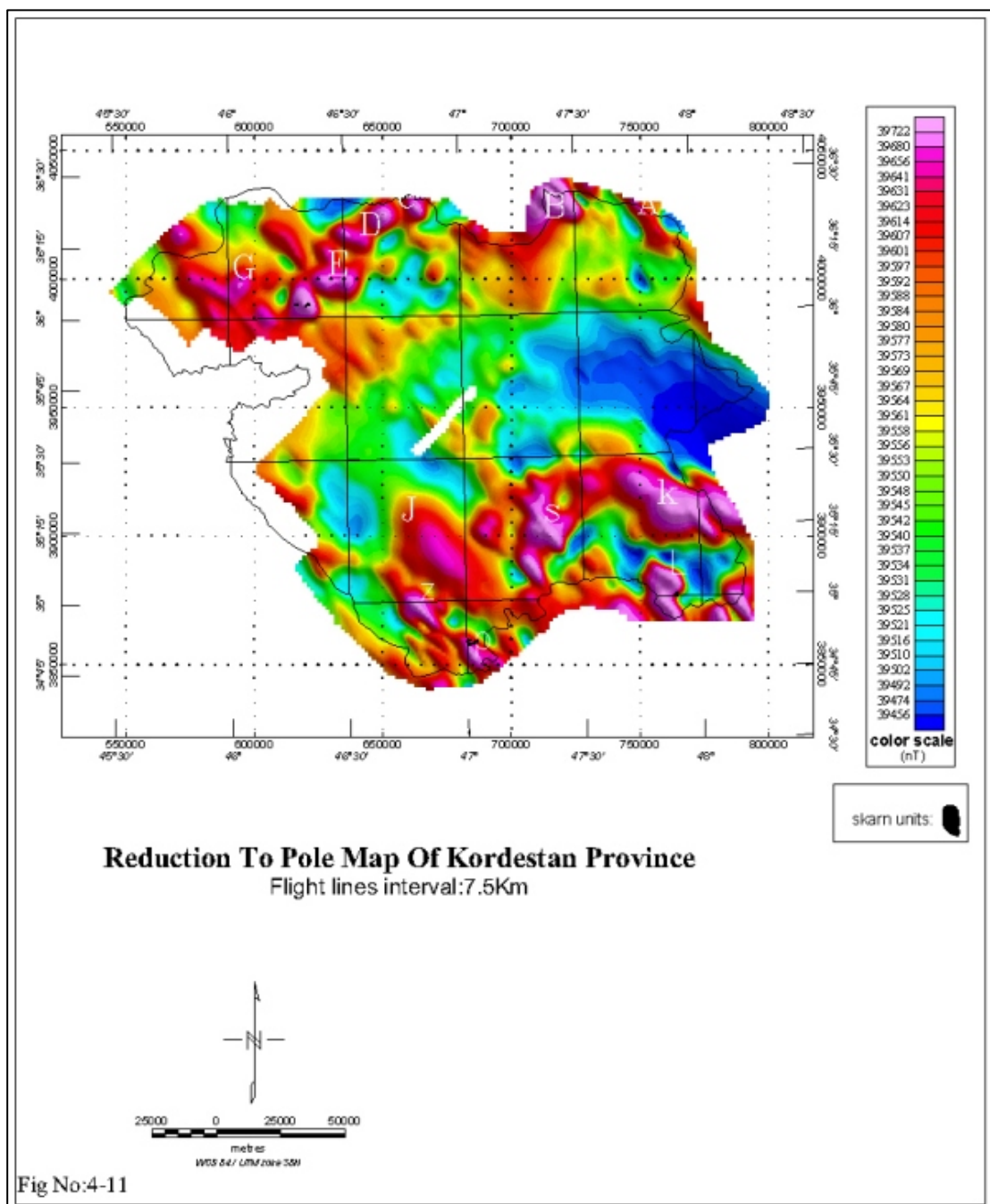
این اطلاعات که شامل سه برگه ۱:۱۰۰،۰۰۰، ۱:۱۰۰۰۰۰ و بخشی از برگه ۱:۱۰۰۰۰۰ سقزمی باشد که شامل اطلاعات مغناطیس سنجی و رادیومتری (پتاسیم - توریم - اورانیوم) بوده که بین سالهای ۱۹۷۶-۱۹۷۸ توسط سه شرکت خارجی استیرکس استرالیا، پراکلاسایزموس آلمان و CGG فرانسه برای سازمان انرژی اتمی برداشت گردیده است.

در این برداشت فاصله خطوط پرواز ۵۰۰ متروفاصله خطوط کنترلی ۵۰۰۰ متر وارتفاع پرواز ۱۲۰ متر می‌باشد. نقشه‌های شدت کل میدان مغناطیسی هریک از برگه‌های مذکور در شکلهای (۴، ۱۳-۴، ۱۴-۴، ۱۵-۴ و ۱۶-۴) آورده شده است.

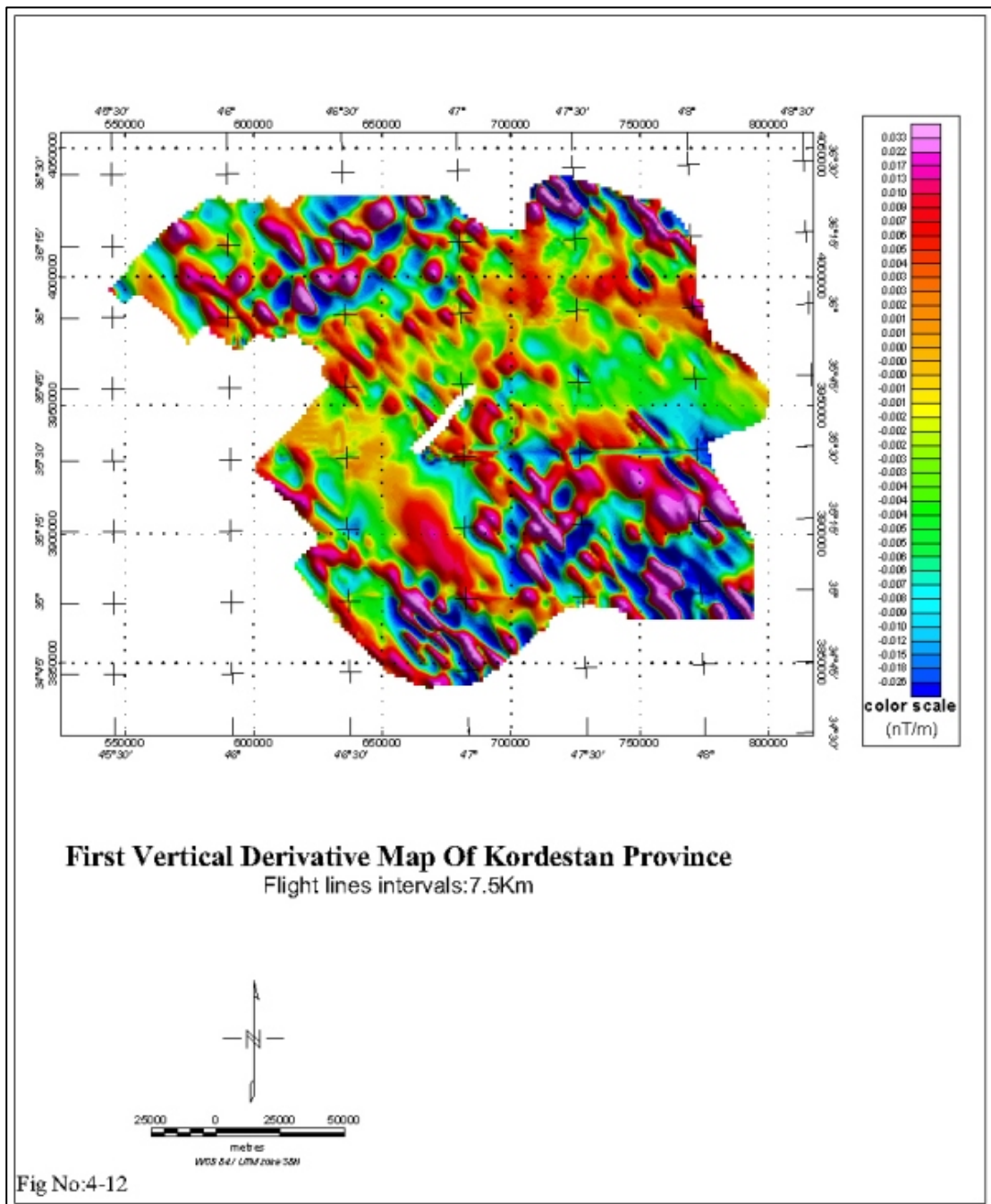
تصویر ۴-۱۰ نقشه شدت کل میدان مغناطیسی استان کردستان با استفاده از اطلاعات ناحیه‌ای



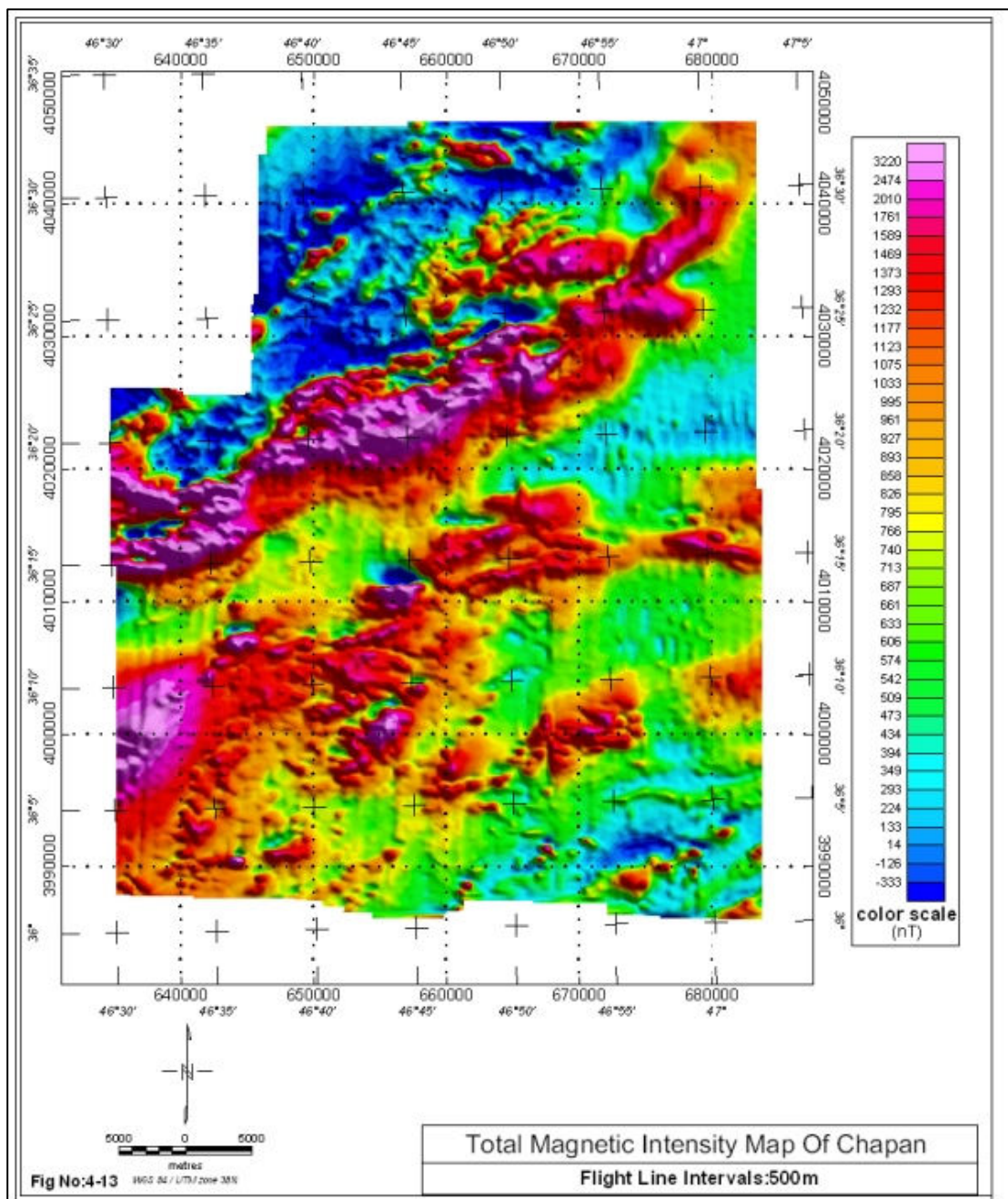
تصویر ۱۱-۴ نقشه برگردان به قطب شدت کل میدان مغناطیسی استان کردستان با استفاده از اطلاعات
ناحیه‌ای



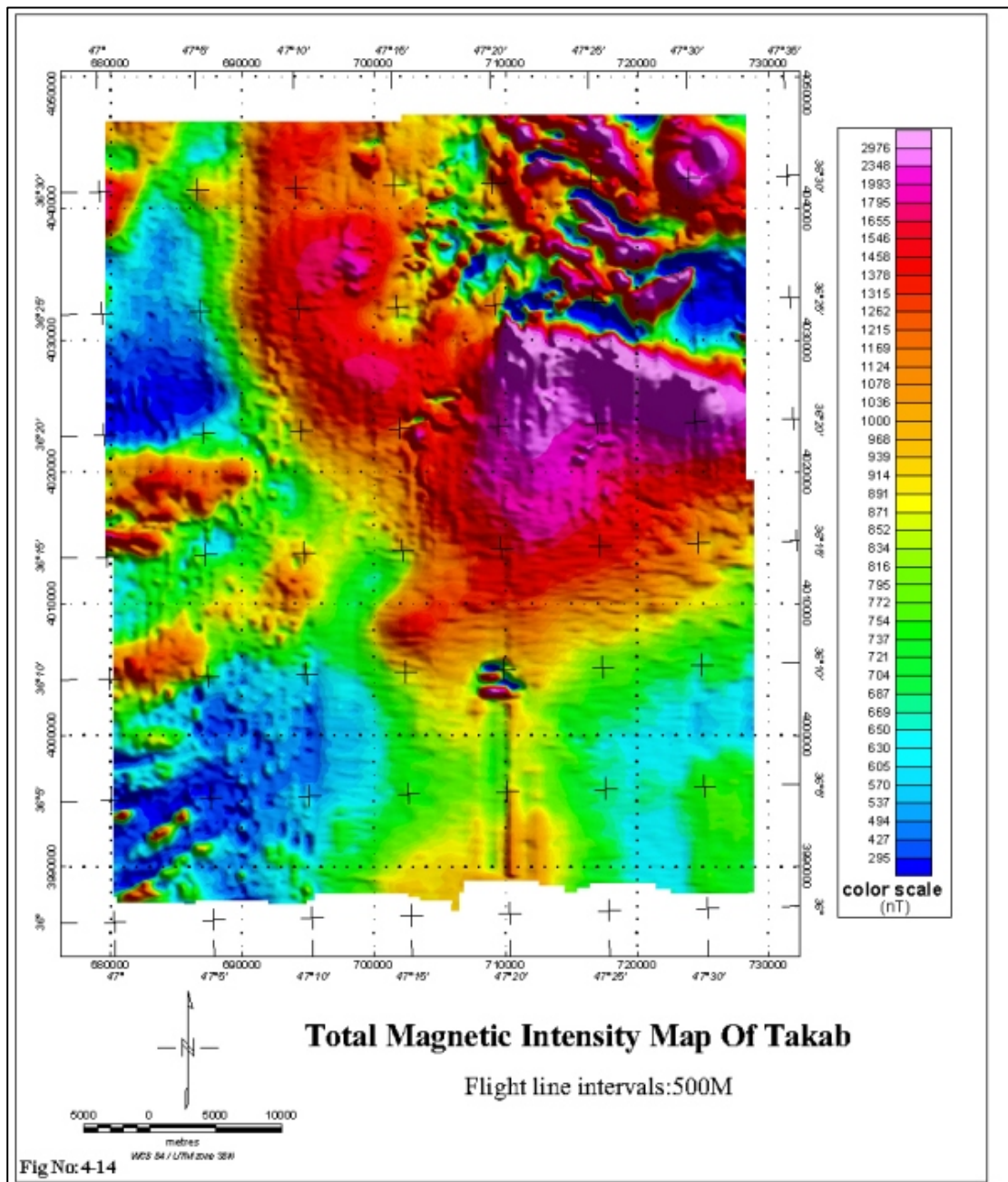
تصویر ۱۲-۴ نقشه مشتق اول قائم استان کردستان با استفاده از اطلاعات ناحیه‌ای



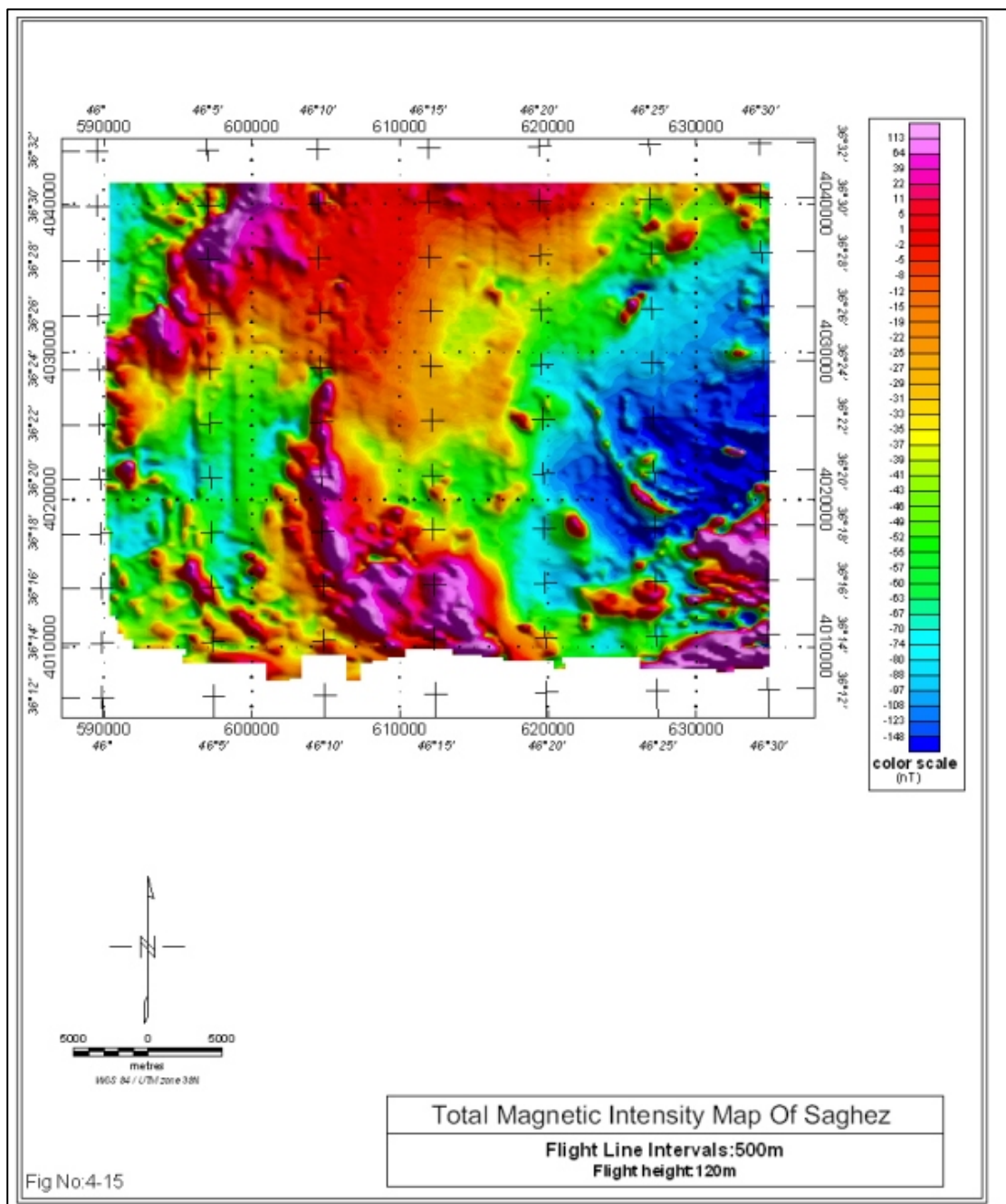
تصویر ۱۳-۴ نقشه شدت کل میدان مغناطیسی چاپان با استفاده از اطلاعات ناحیه‌ای



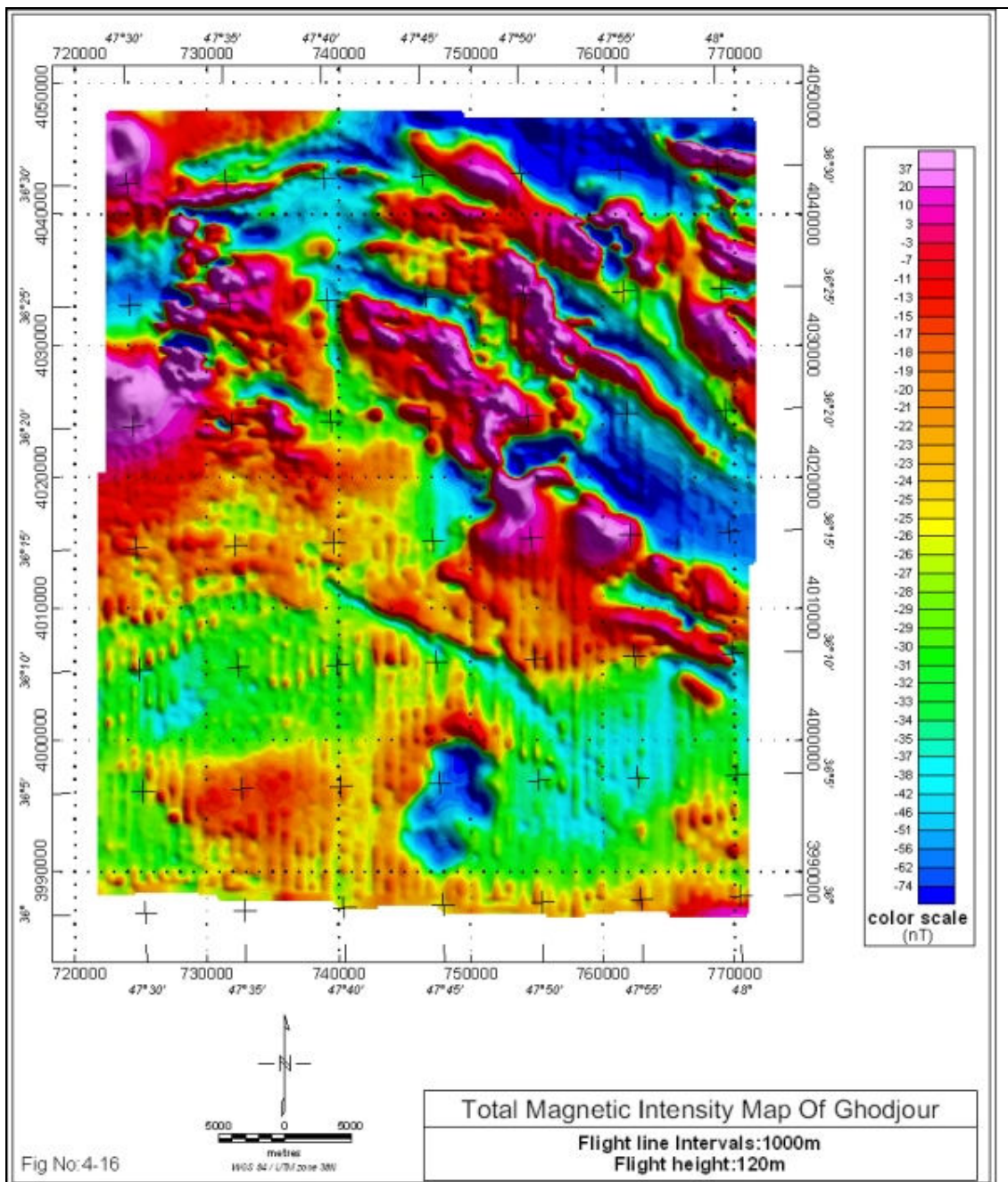
تصویر ۱۴-۴ نقشه شدت کل میدان مغناطیسی تکاب با استفاده از اطلاعات ناحیه‌ای



تصویر ۱۵-۴ نقشه شدت کل میدان مغناطیسی سقز با استفاده از اطلاعات ناحیه‌ای



تصویر ۴-۱۶ نقشه شدت کل میدان مغناطیسی قجر با استفاده از اطلاعات ناحیه‌ای



۷-۵-۴ داده‌های ماهواره‌ای

تصاویر مورد استفاده در انجام پژوهش‌های دورسنجی

برای پردازش و تصحیح داده‌های تصاویر ماهواره‌ای از تصاویر مربوط به ماهواره‌های مختلف به شرح زیر

استفاده می‌شود:

۱- تصاویر ماهواره‌ای RADARSAT که برای تفکیک واحدهای زمین شناسی و خطواره‌ها در مناطق دارای پوشش گیاهی فراوان و یا ابر به کار می‌رود. برای تصویربرداری در این ماهواره‌ها از امواج رادار استفاده می‌شود که قابلیت عبور از ابر و پوشش گیاهی را دارد.

۲- تصاویر ماهواره‌ای LANDSAT که شامل دو نوع TM و ETM است که تفاوت این دو تصویر در قدرت تفکیک بالاتر تصاویر ETM است. بهترین تصویر برای شناسایی گسلها و یا به طور کلی خطواره‌ها، ساختارهای حلقوی، واحدهای زمین شناسی، دگرسانی‌های آرزیلیتی و اکسیدآهن می‌باشد. درجه تفکیک و همچنین کیفیت تصاویر LANDSAT بخصوص در تمرکز بالا از بقیه تصاویر بهتر است.

۳- تصاویر مربوط به ماهواره‌های ASTER که تحت عنوان تصاویر TERRA نام برده می‌شوند. این تصاویر قابلیت تفکیک انواع دگرسانی‌ها از جمله انواع دگرسانی اکسیدآهن، آرزیلیتی، پروپیلیتی شدن و ... را دارد.

در این پژوهه‌ها بدلیل محدودیت زمانی و همچنین عدم دسترسی، تنها از تصاویر ماهواره‌ای LANDSAT استفاده شده است. ETM

پردازش تصاویر

تصاویری که در پردازش به کار می‌رود ابتدا باید با استفاده از روش‌های تصحیح هندسی، تصحیح گردد. این کار باعث می‌شود که موقعیت نقاط نسبت به هم در تصویر ماهواره‌ای با موقعیت آنها در روی زمین همخوانی داشته باشد. در روش‌های تصحیح هندسی از روش تصحیح تصویر با استفاده از نقشه توپوگرافی (مثلاً آبراهه‌ها) و یا تصحیح تصویر به تصویر (استفاده از تصویر ماهواره‌ای تصحیح شده با قدرت تفکیک بالاتر) استفاده می‌شود.

۶-۴ پردازش داده‌ها

پردازش داده‌ها، نگاهی جهت‌دار به هر دسته از داده‌ها است و با توجه به مدل اکتشافی و فاکتورهای مهم در کانی‌زایی صورت می‌گیرد. این بررسی‌ها و پردازش داده‌ها بصورت نقشه‌ای قابل نمایش است که به آن نقشه نشانگر اطلاق می‌شود. نقشه‌های نشانگری جهت پیش‌بینی محل‌های مناسب برای کانی‌زایی مورد استفاده قرار می‌گیرند. در این گزارش نقشه‌های نشانگر به روش منطق فازی با یکدیگر تلفیق شده‌اند.

نقشه‌های نشانگر می‌توانند به صورت نقشه‌های دوتایی (binary) و یا به صورت چند کلاسی (multi-class) باشند. نقشه‌های دوتایی به این معناست که به مناطق با ارزش بالا عدد یک و سایر مناطق عدد صفر اختصاص داده‌می‌شود. در نقشه‌های چند کلاسی، عارضه‌ها می‌توانند ارزش‌های وسیع‌تری داشته باشند.

۱-۶-۴ پردازش اطلاعات زمین‌شناسی (جداسازی واحدهای زمین‌شناسی مطلوب و مناطق مجاورتی)

پس از ایجاد بانک اطلاعات رقومی برگه‌های زمین‌شناسی در این مرحله نوبت به جداسازی واحدهای زمین‌شناسی مطلوب و مناطق مجاورتی (**Contacts**) می‌رسد.

واحدهای زمین‌شناسی مطلوب

از واحدهای مهم در نظر گرفته شده در نقشه‌های زمین‌شناسی واحدهای نفوذی اسیدی بعنوان منبع (source) و واحدهای کربناتی، دگرگونی، اسکارن‌ها و هورنفلس‌ها بعنوان میزبان (host) می‌باشد. جدول ۵-۴ واحدهای زمین‌شناسی انتخاب شده به همراه کدهای مربوطه را نشان می‌دهد.

واحدهای میزبان دارای کدهای ۶ الی ۱۱ و واحدهای منبع دارای کدهای ۱ الی ۵ می‌باشد. در نهایت این کدها با توجه به هدف پروژه به واحدهای کلی‌تر برای مدل‌سازی تبدیل خواهند شد.

۵-۴ جدول واحدهای زمین‌شناسی انتخاب شده به همراه کدهای مربوطه

قروه			آلوت			میانراهن			باینچوب		
Geo Unit	Source	host	Geo Unit	Source	host	Geo Unit	Source	host	Geo Unit	Source	host
اسکارن		6	PEsch		6	gbl	1		Kslv		6
g	1		KL		7	gd	1		Pzvc		7
gp	1		g	1		Sk		11	KL		8
md	1					K2F		7			
gd	1										
di	1										
dg	1										
gb	1										
d	1										
دیواندره			ایرانخواه			تیز تیز			سنندج		
Geo Unit	Source	host	Geo Unit	Source	host	Geo Unit	Source	host	Geo Unit	Source	host
d	1		mt		6	h1		6	gr	1	
کنناکت دگرگونی		11	mL		6	h2		7	gd-d	2	
Ksh		2	a		6	gb	1		Jvr		6
KTv		2	KLLd		7	gbF	2		TRJ L,mv		7
kvp		2	gd		1				TRJm		8
KLsh		2	dr		2				TRjmv		9
Ksch		2									
Sch		2									

ادامه جدول ۴-۵ واحدهای زمین‌شناسی انتخاب شده به همراه کدهای مربوطه

سقز			تکاب			بانه			کامیاران		
Geo Unit	Source	host									
اسکارن		1	di	1		gr	1		هورنفلس		6
Ksh		2	pgr	2		G-gr	1		gb	1	
Mtgrgn		3	gr	3		B-gr	1				
PvLd		3	h		6	di	1				
g2	1		زون آتره		6	ap	1				
gF	1					p.gr	1				
g1	2					gb-di	2				
						h		2			
						Kph		8			

پاوه			قجر			مریوان		
Geo Unit	Source	host	Geo Unit	Source	host	Geo Unit	Source	host
Sy	1		Fe		6	gr	1	
HF		8	h		7	Sk-hF		1
sk-hF		6	Az		8	HF-sk		2
HF-sk		7	di-gd	1				
			gd-gr	1				
			ap	2				
			p-gr	2				
			gr	2				

مناطق مجاورتی (contact)

با توجه به نقش مهم مناطق مجاورتی در تشکیل کانسارهای اسکارن از این لایه اطلاعاتی با توجه به واحدهای زمین‌شناسی منطقه استفاده شد. این واحدهای زمین‌شناسی عبارتند از همبری توده‌های نفوذی اسیدی و کمپلکس‌های دگرگونی منطقه با واحدهای رسوبی (شامل کربناتها و ماسه سنگ‌ها). تصویرشماره ۱۷-۴ همبری توده‌های نفوذی با واحدهای رسوبی را نشان می‌دهد.

۱۷-۴

نقشه مناطق مجاورتی

۴-۶-۴ پردازش اطلاعات و داده‌های ژئوشیمیایی (رسوبات آبراهه‌ای و کانی‌سنگین)

در ابتدا نقشه آبراهه هر برگه ۱:۱۰۰۰۰۰ جداگانه بررسی و در صورت نیاز از لحاظ مختصات تصحیح واین تصحیحات در جدول آنالیز نمونه‌های ژئوشیمیایی نیز وارد گردید. با توجه به موضوع پروژه، عناصر مرتبط با کانی‌زایی اسکارنهای آهن و تنگستن براساس الیت اول و دوم و نیز رده‌باهای مرتبط با آنها انتخاب شده که این عناصر شامل $W, Sn, Bi, Mo, Cu, As, Ti, Fe_2O_3, Sb, Pb, Zn, Ag, Au, Ni, Co, Cs, B, Re, Be, F, Li$ می‌باشد.

با توجه باینکه همه این عناصر در نتایج تمامی برگه‌ها موجود نبود و با در نظر گرفتن این نکته که آزمایشگاهها و نتایج آنالیز هر برگه متفاوت می‌باشد، در صورت پردازش تمام نمونه‌ها باهم، این احتمال وجود دارد که یکسری آنومالیهای دروغین ایجاد شده و در مقابل گروهی از نمونه‌های آنومال حذف گردد. به همین دلیل هر یک از برگه‌ها جداگانه بررسی و نقاط آنومالی آن معرفی شده است.

۴-۶-۵ تجزیه و تحلیل آماری برای معرفی محدوده‌های آنومالی

پردازش‌های اولیه بروی داده‌های نمونه‌های سیلت این محدوده قبلاً در زمان تهیه گزارش اکتشافات ژئوشیمیایی برگه ۱:۱۰۰۰۰۰ انجام گرفته و تمامی آنومالیها معرفی و بیشتر آنها کنترل شده است. لذا برای معرفی محدوده‌های آنومال و مدلسازی کانساری پس از پردازش داده‌های سیلت، کلیه محدوده‌های آنومال در محیط GIS و تحت نرم افزار ArcMap تهیه شده است. جهت معرفی مناطق آنومال با اجرای روش‌های آماری نوعی عملیات محاسباتی وبا دو روش جداگانه بروی داده‌های خام اولیه صورت گرفته که این روش‌ها بصورت تک متغیره و چند متغیره می‌باشند.

الف- روش تک عنصری

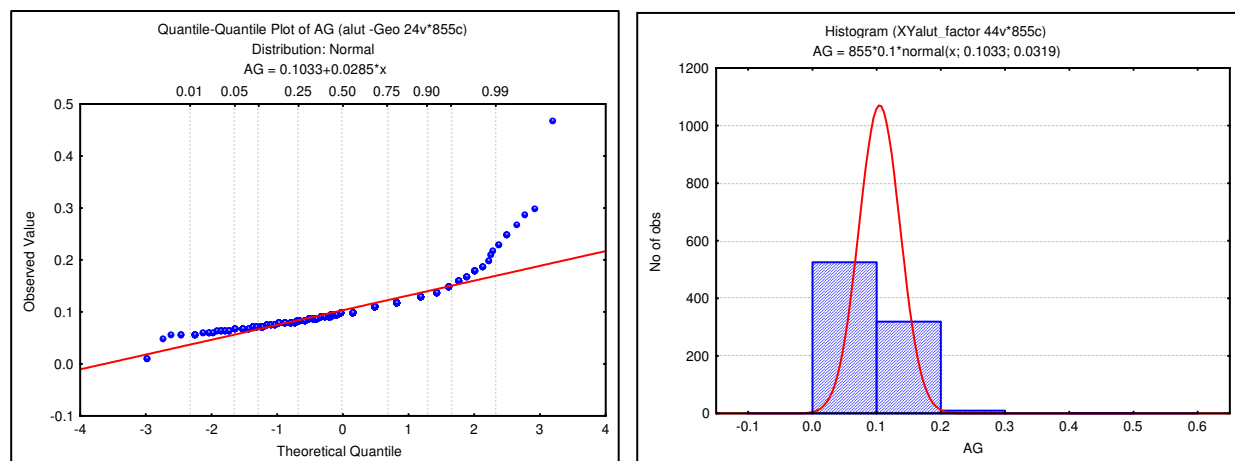
برای تعیین محدوده‌های آنومالی عناصر تعیین شده در هر برگه با روش تک متغیره، نمودارهای توزیع فراوانی (هیستوگرام) و توزیع چندک- چندک (Q-Q plot) آنها رسم و مقادیر میانگین (Average)، انحراف معیار (Std) و مقادیر حد آستانه‌ای ($X+2S$) بدست آورده شده است. پس از استخراج نمونه‌های خارج از رده، مقدار میانگین بعلاوه دو برابر انحراف معیار $X+2S$ و مقدار میانگین بعلاوه سه برابر انحراف معیار $X+3S$ برای هر عنصر محاسبه شده است. منظور نکردن مقادیر خارج از رده این امکان را بما میدهد که بتوان یک نتیجه واقعی‌تری از میانگین جامعه بدست آورد. سپس با استفاده از نرم افزار ArcMap مناطق پر

پتانسیل(آنومالی) بصورت پلی گون مشخص میگردد. رنج اعداد بزرگتر از $X+2S$ و کوچکتر مساوی $X+3S$ بعنوان آنومالی درجه دو و مقادیر بزرگتر یا مساوی $X+3S$ بعنوان آنومالی درجه یک معرفی شده است. در ذیل بعنوان نمونه عنصر نقره در برگه آلوت توضیح داده شده است.

عنصر نقره در برگه آلوت :

توزیع داده ها در این برگه نشانده نده یک جامعه لاغ نرمال با چولگی مثبت و بخش اصلی جامعه دارای توزیع نزدیک به نرمال می باشد. تصویر ۴-۱ نمودار چندک- چندک یک نمونه خارج از رده را نشان میدهد.

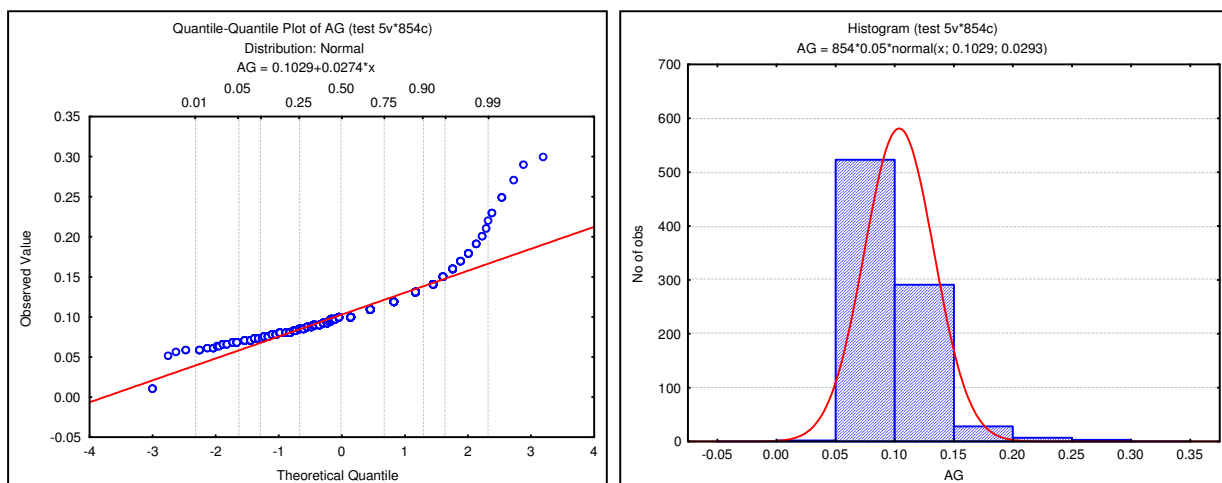
نمودار ۴-۱: نمایش منحنی های چندک- چندک و هیستوگرام قبل از خروج نمونه خارج از رده



جدول ۴-۶ پارامترهای آماری عنصر نقره قبل از خروج نمونه خارج از رده

Count	Max	Min	Average	Std	$X+2S$
855	0.47	0.01	0.103295	0.031856	0.167007

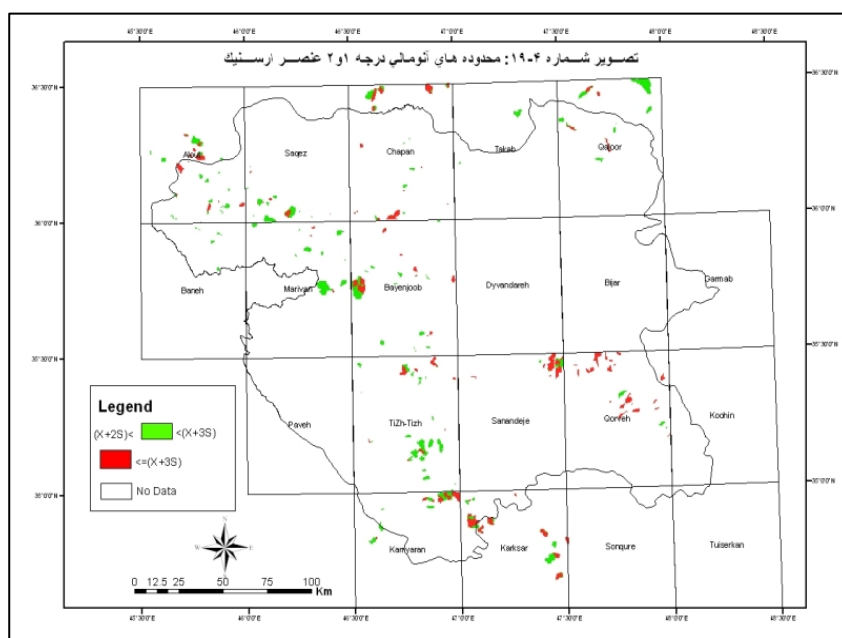
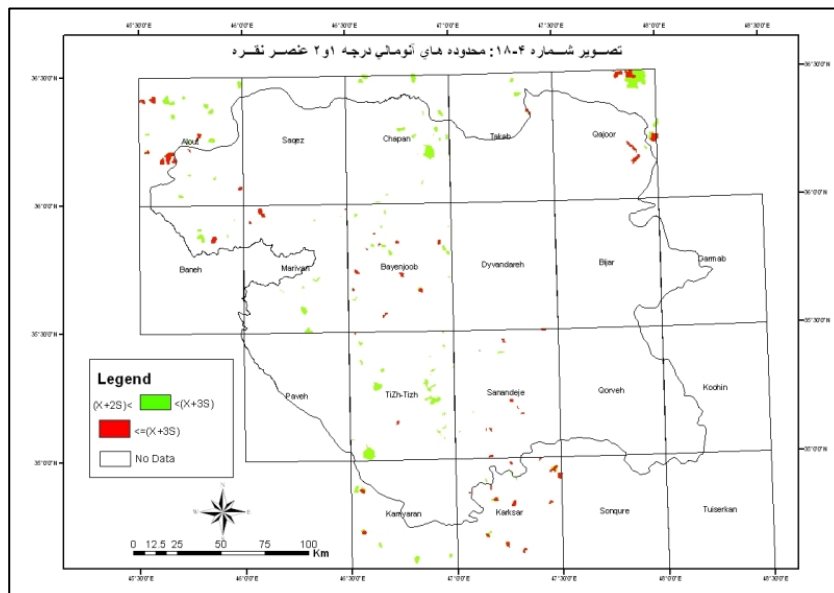
نمودار ۴-۲: نمایش منحنی های چندک- چندک و هیستوگرام بعد از خروج نمونه خارج از رده

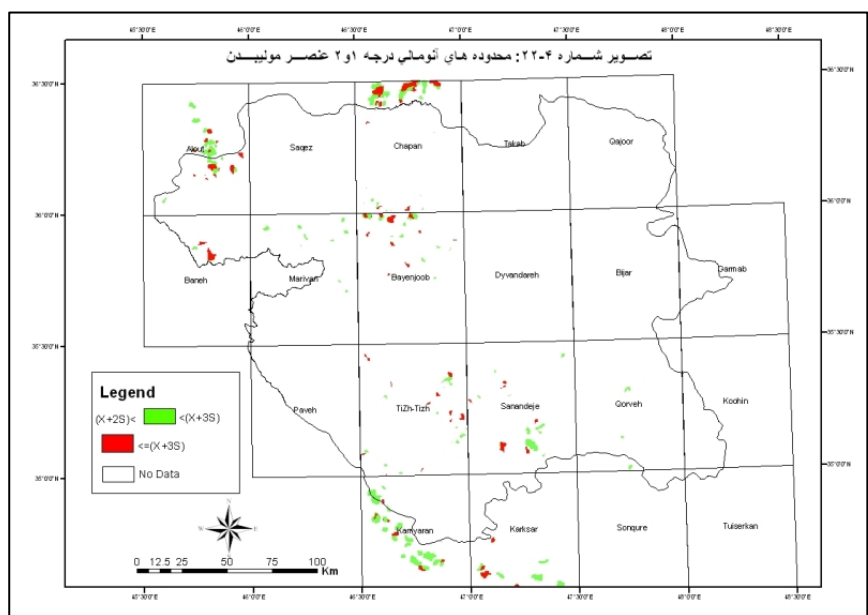
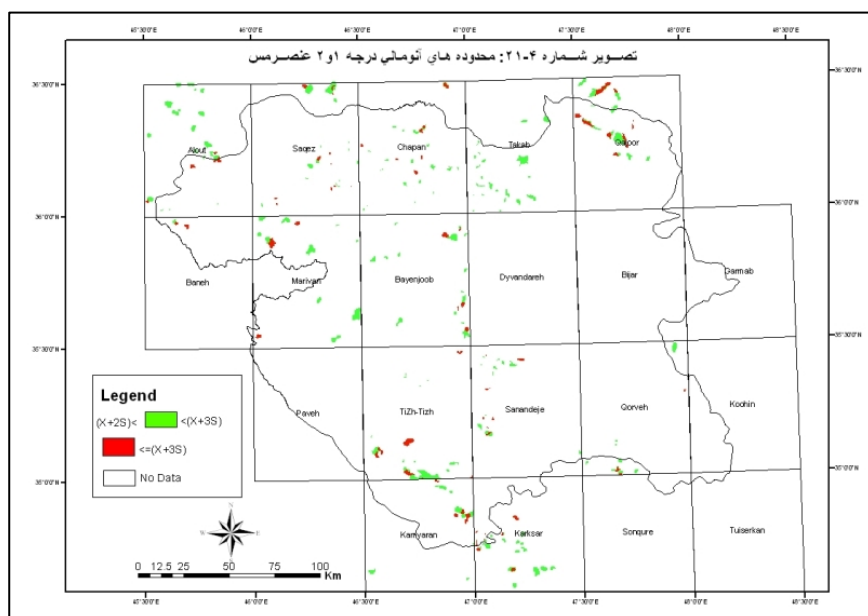
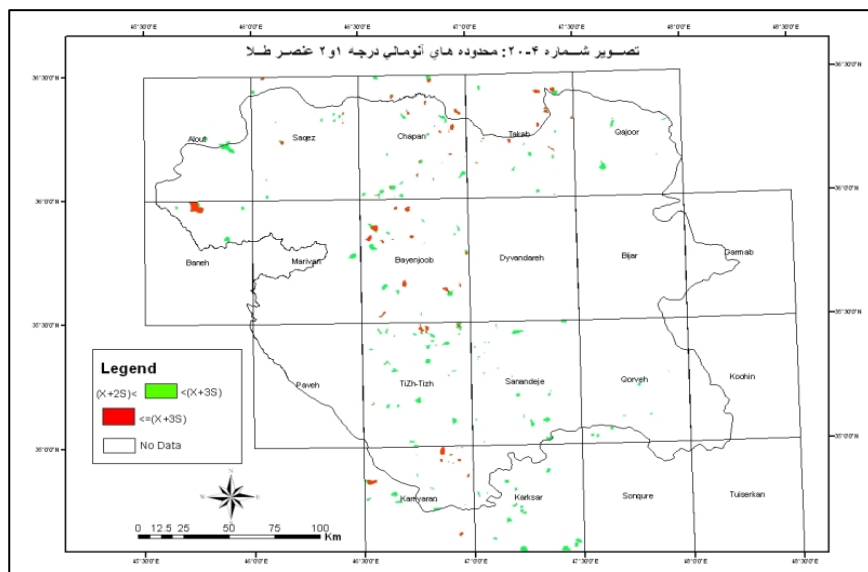


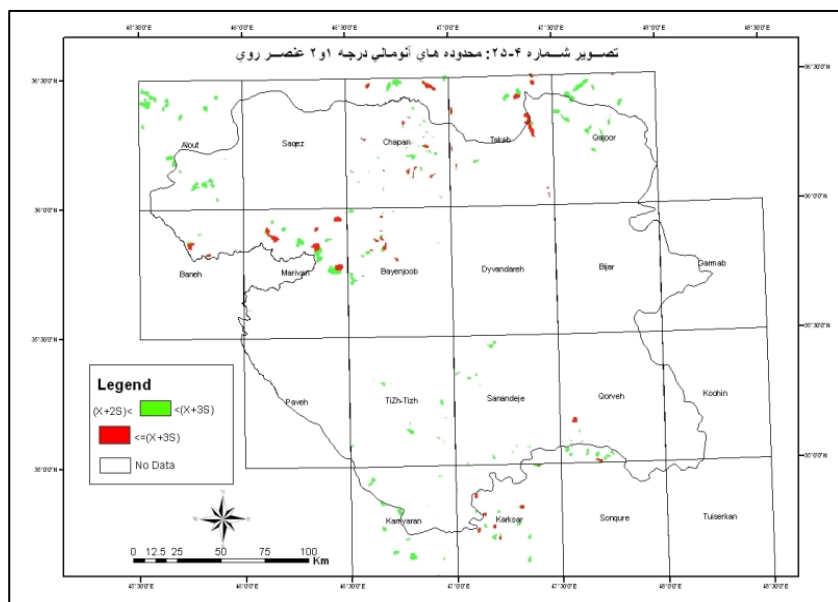
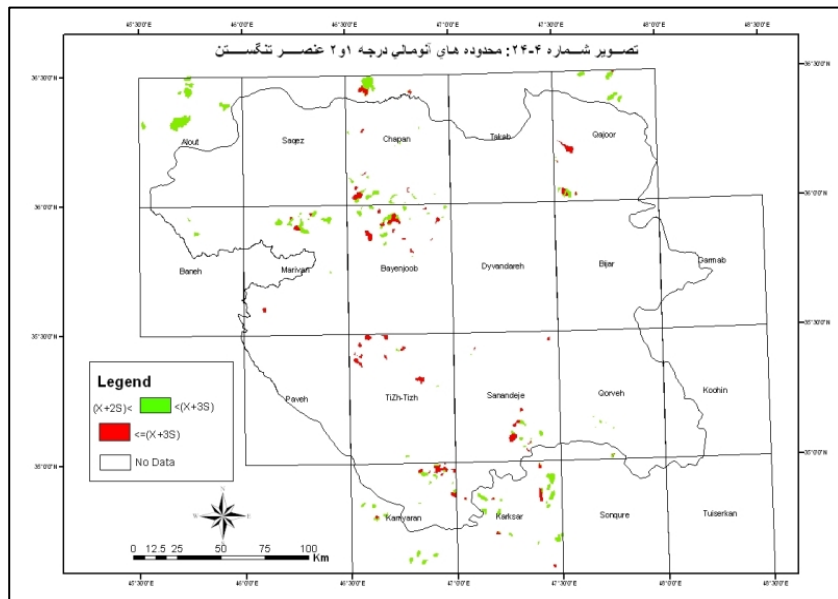
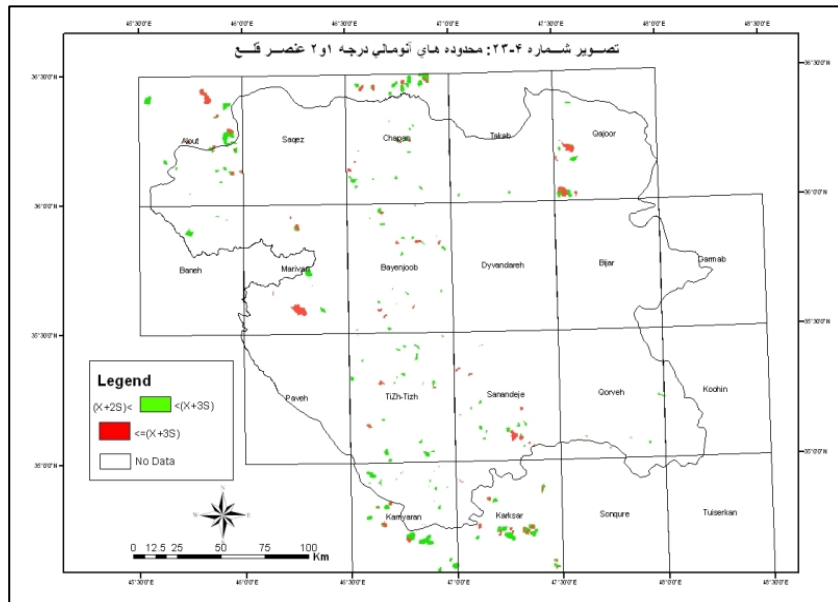
جدول ۷-۴ پارامترهای آماری عنصر نقره بعد از خروج نمونه خارج از ردیف

Count	Max	Min	Average	Std	X+2S	X+3S
854	0.3	0.01	0.102865	0.029294	0.161454	0.190749

لازم است گفته شود در مدلسازی کانساری به لحاظ همبستگی بین عناصر As,Au,Cu,B,Zn کانی زایی اسکارنهای آهن و از عناصر W,Sn,As,Sb,Bi,Cu,B,Zn,Mo,Be جهت اسکارنهای تنگستان استفاده شده است. در زیر نقشه های پراکندگی آنومالی درجه ۱و ۲ برای تعدادی از عناصر نمایش داده شده است.







ب- روش چند عنصری

هر گروه از عناصر نسبت به یکسری از شرایط محیطی کم و بیش بطور مشابه حساسیت نشان میدهد. شناخت ارتباط و بستگی‌های ژنتیکی متقابل موجود میان عناصر گوناگون میتواند در شناخت دقیق‌تر تغییرات موجود در محیط‌های ژئوشیمیایی بکار گرفته شود. در ضمن تجمع ژنتیکی بعضی عناصر ممکن است به عنوان راهنمای مستقیمی در تفسیر نوع نهشته‌ای که احتمالاً در ناحیه وجود دارد بکار رود. لذا شناخت همبستگی‌های ژنتیکی بین عناصر، اطلاعات لازم را در راستای تفسیر هرچه صحیح‌تر داده‌های ژئوشیمیایی در اختیار می‌گذارد. تجزیه عاملی تکنیکی آماری است که میان مجموعه‌ای متشکل از متغیرهایی که به ظاهر بی‌ارتباط هستند رابطه خاصی را تحت یک مدل فرضی برقرار می‌کند. یکی از اهداف اصلی این تکنیک کاهش ابعاد داده‌هast، فرض اساسی در بکارگیری این تکنیک، وجود الگوی زیربنایی یا مدلی خاص در تعیین مفاهیم پیچیده ارتباطی میان متغیرهاست. این ارتباط در قالب یک عامل در این مدل فرضی ظاهر می‌شود. در این راستا پس از پردازش داده‌ها، فایل مورد نظر به نرم افزار SPSS انتقال می‌یابد. حال از طریق بکارگیری روش آنالیز فاکتوری و رسم موقعیت، متغیرها در مختصات فاکتوری معرفی می‌شوند. پس در واقع متغیرهایی که ارتباط پاراژنزی با یکدیگر دارند با تغییر و بررسی فاکتورهای مختلف واضح‌تر مورد مطالعه قرار می‌گیرند. در این پژوهه امتیاز قابل ملاحظه به فاکتورهایی داده شده که مرتبط با اسکارنهای آهن و تنگستن بوده‌اند. بعنوان مثال در برگه چاپان در جدول شماره ۸-۴ تعداد مولفه‌ها، درصد واریانسی که هر مولفه به خود اختصاص داده و واریانس تجمعی برای داده‌های خام و چرخش یافته مشخص شده‌است

جدول ۸-۴ نتایج واریانس تجمعی

Total Variance Explained						
Extraction Sums of Squared Loadings						
Component	Total	% of Variance	Cumulative %	Total	% of Variance	Cumulative %
1	3.301	25.391	25.391	2.267	17.439	17.439
2	1.985	15.269	40.66	1.975	15.192	32.631
3	1.209	9.298	49.959	1.846	14.2	46.831
4	1.165	8.965	58.923	1.572	12.092	58.923
Extraction Method: Principal Component Analysis.						

جدول ۹-۴ نتایج ماتریس چرخش یافته

Rotated Component Matrix				
	Component			
	1	2	3	4
LNAG	0.811	-0.034	0.074	0.187
LNAS	0.124	0.114	0.825	0.039
LNAU	0.693	0.050	0.192	-0.136
LNB	0.132	0.062	0.443	0.658
LNBE	-0.110	0.042	-0.040	0.721
LNBI	0.567	0.416	0.189	-0.081
LNCU	0.543	-0.200	0.342	0.217
LNMO	-0.066	0.797	0.112	-0.104
LNPB	0.457	-0.029	-0.026	0.462
LNSB	0.331	0.112	0.716	0.116
LNSN	0.273	0.658	-0.267	0.289
LNW	-0.034	0.723	0.360	0.017
LNZN	0.267	-0.369	0.213	0.435
Extraction Method: Principal Component Analysis.				
Rotation Method: Varimax with Kaiser Normalization.				
Rotation converged in 7 iterations.				

ماتریس مولفه ها تحت تابع varimax که ضرایب عاملها را ماقزیم میکند، چرخش داده شده است که در

جدول (۹-۴) نشان داده شده که با استفاده از این جدول فاکتورهای هر مولفه انتخاب می شود. اساس

انتخاب هر متغیر در هر فاکتور مقدار ضریب بالای ۰/۵ است. با توجه به مطالب فوق خواهیم داشت:

فاکتور اول شامل عناصر مس، بیسموت، طلا و نقره می باشد. این فاکتور میتواند در ارتباط با کانسارهای رگهای طلا، مس و نقره باشد.

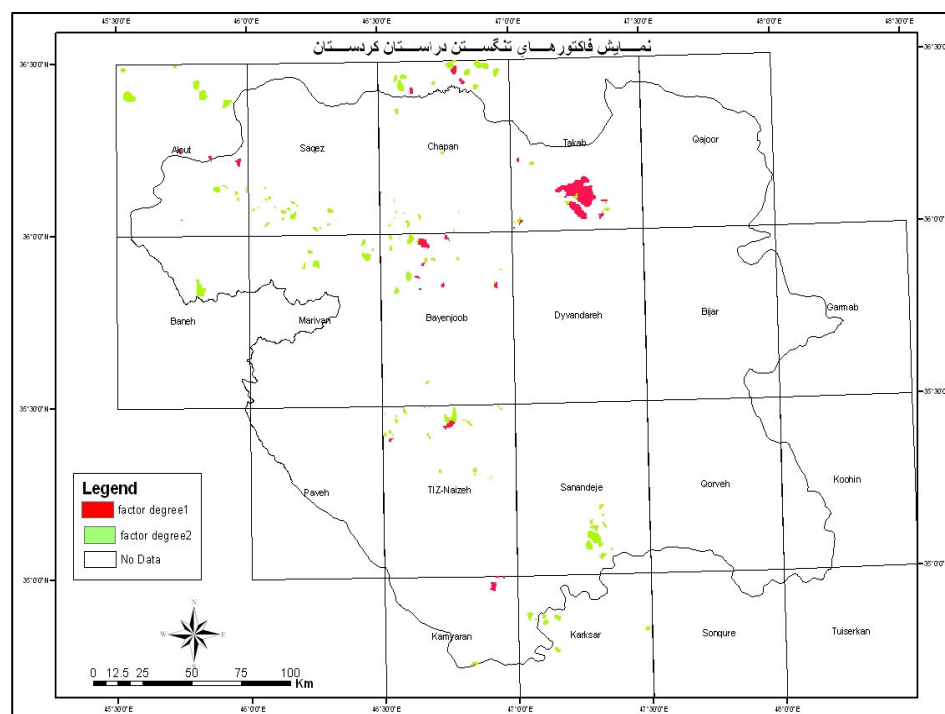
فاکتور دوم شامل قلع و تنگستن و مولیبدن است که عنصر تنگستن بیشترین رتبه را در این فاکتور بخود اختصاص داده است این فاکتور به تقریب مشخص کننده تنگستن اسکارنی است که با توجه به تیپ این کانسار در منطقه میتوان امید یافتن این نوع اسکارنی را داشت.

فاکتور سوم شامل عناصر آنتیموان وارسنيک است. رتبه های آنتیموان وارسنيک به تقریب در این فاکتور یکسان می باشد.

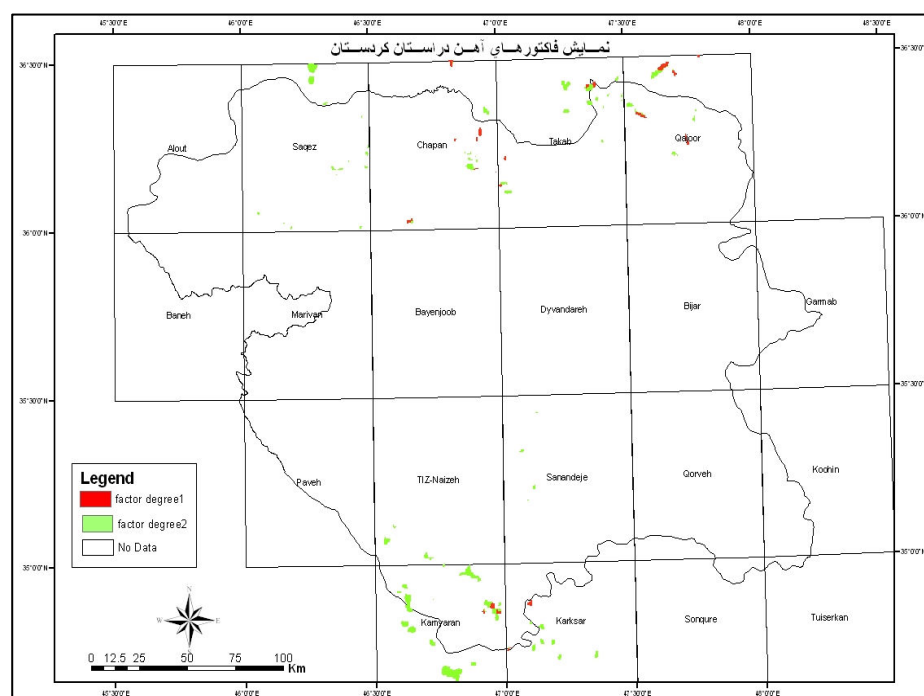
و فاکتور چهارم شامل عناصر بر و بریلیوم است. رتبه بریلیوم در این فاکتور بالاتر از بر می باشد.

در نهایت میتوان گفت فاکتور ۲ که همبستگی بین قلع و تنگستن را نمایش میدهد، عنوان فاکتور برتر انتخاب گردید. حال برای تمامی برگه ها این روش جداگانه انجام گرفته و فاکتورهای برتر انتخاب شده است و بعد از بدست آوردن مقادیر فاکتورهای مقادیر دودرد صد و سه درصد بالای هر فاکتور عنوان آنومالیهای درجه

یک و دو و درنهایت مقادیر ناهمجارت انتخاب و ترسیم شده است. تصاویر ۴-۲۶ و ۴-۲۷ ماحصل نتایج بدست آمده از این روش را بصورت نقشه فاکتورهای آهن و نقشه فاکتورهای مربوط به تنگستان نشان می‌دهد.



تصویر ۴-۲۶ نقشه فاکتورهای تنگستان



تصویر ۴-۲۷ نقشه فاکتورهای آهن

۴-۶-۲ مطالعات کانی سنگین

مطالعات کانی سنگین بعنوان روشی که در آن فاز پیدایش یک عنصر مورد مطالعه قرار میگیرد، میتواند مفید واقع شود، در این پروژه از نمونه‌های کانی سنگین بعنوان روشی برای کنترل آنومالیها و جدا کردن انواع مرتبط با کانی‌سازی از سایر موارد، صورت پذیرفته است.

کانی‌سنگین‌های برداشت شده در استان کردستان شامل ۱۰۲ نمونه کانی سنگین از برگه کوهین، ۱۱۳ نمونه آلوت، ۹۷ نمونه باینجوب، چاپان ۶۴ نمونه، قروه ۱۰ نمونه، کامیاران، ۵۲ نمونه تیزتیز، ۷۳ نمونه بانه، ۹۷ نمونه قجر، ۱۵۰ نمونه مریوان، میانراهن ۹۸ نمونه، ۱۳۹ نمونه سقزو ۷۷ نمونه در برگه تکاب می‌باشد.

لازم بذکر است که در ارتباط با نمونه‌های کانی سنگین باید با حساسیت بیشتری برخورد نمود. بعنوان مثال در محل کنタکت واحدهای ولکانیک و آهک، تراکم کانی شلیت افزایش یافته است، لذا احتمال کانی‌زایی تنگستن از نوع اسکارن در آن منطقه می‌باشد که در مدلسازی آورده شده است. در پردازش نهایی، کانی‌هایی که در ارتباط با کانی‌زایی اسکارنهای بوده‌اند، در مدلسازی شرکت داده شده‌اند. با توجه به جدول مطالعات کانی‌سنگین موجود، در این پروژه برای اسکارنهای آهن، تنها کانی سنگین منیتیت و برای اسکارنهای تنگستن اطلاعات مربوط به کانی سنگین شلیت، کاسیتریت، کالکوپیریت، سینابر، اریمان، پیریت، منیتیت، گالن، فلوریت و طلا جدا و مورد استفاده قرار گرفته است.

تصویر شماره ۴-۲۸ محدوده‌های کانی سنگین را در کل استان نمایش میدهد.

تصویر شماره ۲۸-۴ محدوده های کانی سنگین

۴-۳-۶ پردازش اطلاعات ژئوفیزیک

با توجه به اطلاعات مغناطیسی سری اول در منطقه که با ارتفاع پرواز نسبتاً زیاد جمع آوری شده است خطواره هایی که می توان در منطقه تعیین نمود، معمولاً مربوط به عوارض عمیق بوده و فقط خطواره های ناحیه ای و بزرگ منطقه قابل شناسایی هستند. جابجایی ساختارها در منطقه مورد نظر توسط عوامل زیرشناسایی می شود.

الف- جابجایی ظاهری واحدهای مغناطیسی مشابه

ب- قطع ناگهانی در عمق منابع مغناطیسی

با اطلاعات سری دوم می توان خطواره های ۴ برگه قبور- سقر- چاپان- تکاب را بصورت جزئی تر شناسایی کرد که بطور کلی برای نشان دادن عوارض خطی ابتدا در منطقه از نقشه هایی که تحت عنوان Shaded relief و بازتابش reflectance خوانده می شوند، استفاده شده است که در این نقشه، بازتابش بطور سریع باعث تشخیص خطواره ها می شود.

در منطقه مورد نظر اکثر خطواره های موجود شمال باختری - جنوب خاوری بوده که در امتداد بی هنجاریهای مغناطیسی می باشد و همچنین خطواره های شمال خاور- جنوب باختر رانیز قطع کرده که نقاط تلاقی خطواره ها از لحاظ مطالعات پی جویی برای ما حائز اهمیت می باشد (مطابق شکل ۲۹-۴) در استان کردستان با توجه به نقشه شدت کل میدان مغناطیسی مذکور بیشترین میدان گزارش شده ۳۹۷۲۷ نانوتسلای و کمترین میدان گزارش شده ۳۹۴۳۵ نانوتسلای می باشد. مطابق شکل (۱۱-۴) بی هنجاری A در شمال شرقی برگه قبور با شدت بالای مغناطیسی در استان کردستان در نواحی شمال خاوری که در انطباق با نقشه زمین شناسی بر روی واحدهای ولکانیکی دگرگون شده کرتاسه و واحدهای دیوریت- گرانودیوریت واقع شده است.

بی هنجاری B با شدت بالای مغناطیسی در برگه تکاب در نواحی شمال خاوری در انطباق با نقشه زمین شناسی بر روی واحدهای دیوریت- مونزونیت- واحدهای ولکانیکی و کمی هم واحدهای آبرفتی با شدت بالای مغناطیسی دیده می شود که احتمالاً بیانگر گسترش واحدهای فوق به زیر واحدهای آبرفتی

می باشد. همچنین در قسمت شمال باختری برگه فوق الذکر بی هنجاری مغناطیسی با شدت بالا بر روی واحدهای رسوبی ولکانیکی قرار گرفته است.

بی هنجاری D,C در شمال و شمال خاوری برگه چاپان با شدت بالای مغناطیسی در انطباق با نقشه زمین شناسی بر روی واحدهای رسوبی ولکانیکی و واحدهای گرانودیوریت تونالیت – کوارتزدیوریت کوارتزمونزونیت واقع شده است.

بی هنجاری E در جنوب و جنوب خاوری برگه سقز با شدت بالای مغناطیسی در انطباق با نقشه زمین شناسی بر روی واحدهای ولکانیکی و گرانیت هورنبلن و واحدهای دگرگونی گنایس – شیست – اسلیت واقع شده است. همچنین در جنوب برگه سقز واحدهای آبرفتی با شدت بالای مغناطیسی دیده می شود که احتمالاً بیانگر گسترش واحدهای فوق الذکر به زیر واحدهای آبرفتی می باشد همچنین بی هنجاری فوق الذکر با شدت بالای مغناطیسی منطبق با واحدهای اسکارنی نیز می باشد. در جنوب غربی برگه سقز بی هنجاری G با شدت بالای مغناطیسی دیده می شود که شامل واحدهای دگرگونی گنایس و میکا شیست و واحدهای متاولکانیک می باشد.

در جنوب خاوری برگه آلوت هم بی هنجاری با شدت بالای مغناطیسی دیده می شود که شامل واحدهای دگرگون شده گنایس – شیست – فیلیت و اسلیت می باشد.

بی هنجاری K در برگه قروه با شدت بالای مغناطیسی در انطباق با نقشه زمین شناسی بر روی واحدهای توف برشی و لایپلی توف همچنین کمی واحدهای آبرفتی نیز با شدت بالای مغناطیسی دیده می شود که احتمالاً بیانگر گسترش واحدهای فوق به زیر واحدهای آبرفتی می باشد.

بی هنجاری L در جنوب برگه قروه با شدت بالای مغناطیسی در انطباق با نقشه زمین شناسی بر روی واحدهای مونزوندیوریت – کوارتز مونزونیت – کوارتزدیوریت ، گرانودیوریت و واحدهای گابرو دیوریت برشی شده قرار گرفته است. همچنین بی هنجاری فوق منطبق با واحدهای اسکارنی نیز می باشد.

بی هنجاری S در برگه سنندج با شدت بالای مغناطیسی شامل واحدهای گرانودیوریت ، دیوریت ، کوارتز مونزونیت و کوارتز دیوریت می باشد، همچنین در جنوب باختری بی هنجاری S شدت بالای مغناطیسی

دیده میشود که شامل واحدهای میکروگرانیت - گرانودیوریت - کوارتزمونزونیت و واحدهای ولکانیکی میباشد.

همچنین در باختر بیهنجاری S نیز شدت بالای مغناطیسی دیده میشود که شامل واحدهای ولکانیکی میباشد. بیهنجاری J در برگه تیئتیز با شدت بالای مغناطیسی در انطباق با نقشه زمینشناسی شامل واحدهای گابرو و دیوریت و واحدهای دگرگونی میباشد.

بیهنجاری Z در برگه کامیاران با شدت بالای مغناطیسی در انطباق با نقشه زمینشناسی شامل واحدهای الیوین گابرو و دیوریت و واحدهای ولکانیکی و اتوالکانیکی و هارزبورژیت میباشد.

بیهنجاری P در برگه کرسار با شدت بالای مغناطیسی در انطباق با نقشه زمینشناسی شامل واحدهای دیوریت - گابرو دیوریت میباشد. همچنین این بیهنجاری منطبق با واحدهای اسکارنی نیز میباشد.

بطور کلی پس از بررسی و تحلیل شدت کل میدان مغناطیسی منطقه و فیلتراسیونهای حاصله بر روی اطلاعات سری اول در استان کردستان بیهنجاریهای مغناطیسی با شدت بالا و تطبیق این بیهنجاریها با واحدهای زمینشناسی، خطوارهای تووده‌های کم عمق مغناطیسی که از تصاویر مشتق قائم و آنالیک سیگنال (مطابق شکل ۲۹-۴) بدست آمده نشان داده شده است.

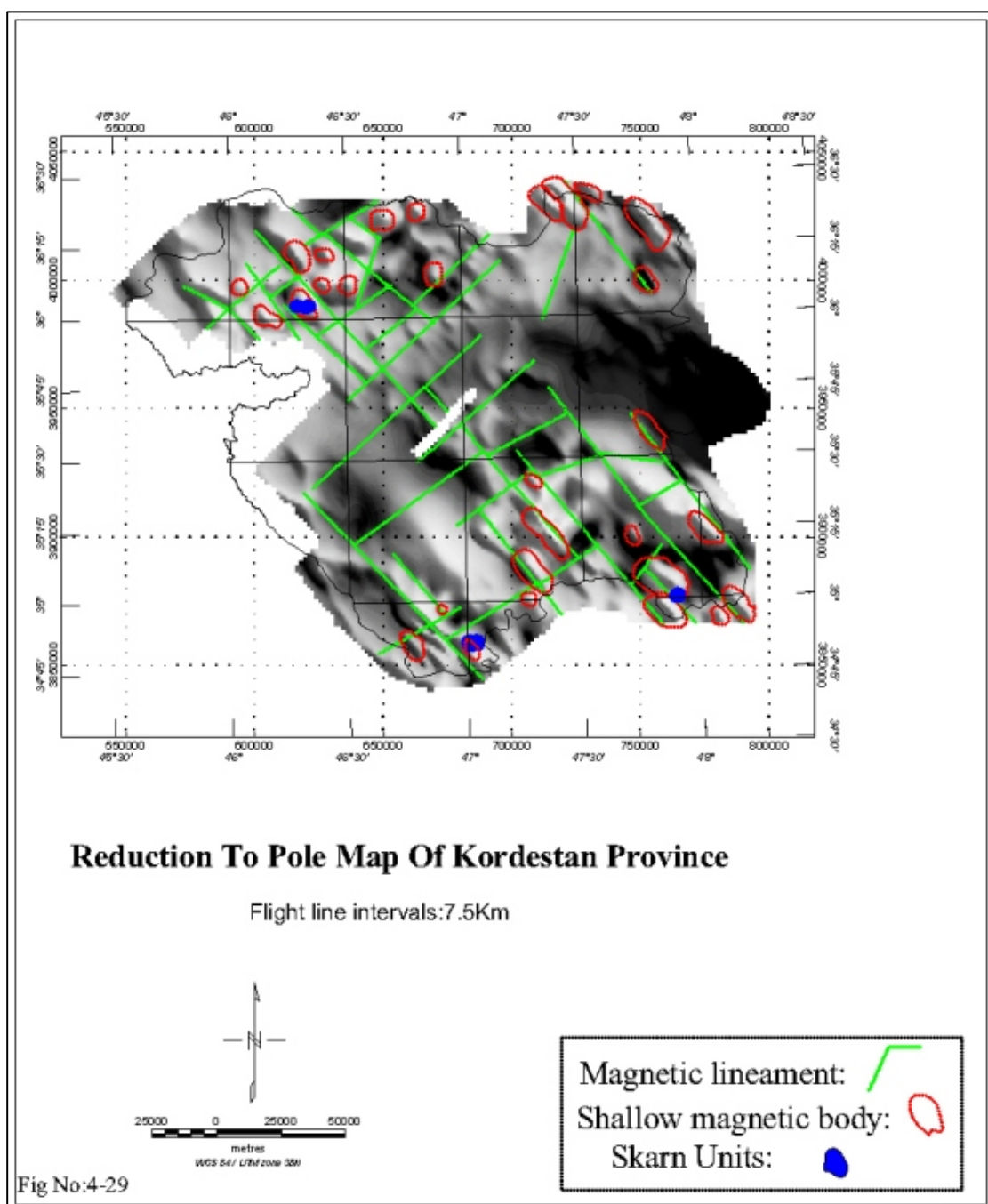
با استفاده از اطلاعات سری دوم (اطلاعات با خطوط پرواز ۵۰۰ متر) که شامل ۴ برگه فوق الذکر میباشد، نقشه‌های شدت کل میدان مغناطیسی ۴ برگه مطابق شکلهای (۱۳-۴، ۱۴-۴، ۱۵-۴ و ۱۶-۴) حاصل شده است. با اعمال فیلتراسیون برگردان به قطب نقشه‌های برگردان به قطب، شدت کل میدان مغناطیسی برگه‌های مذکور مطابق شکلهای (۳۰-۴، ۳۱-۴، ۳۲-۴ و ۳۳-۴) تهیه شده است که بیهنجاریهای مغناطیسی در برگه‌های مذکور به سمت شمال کمی جابجایی داشته‌اند.

جهت تشخیص تووده‌های سطحی نیز از فیلترهای مشتق قائم یا فیلتر بالاگذر (high pass) بر روی داده‌های برگردان به قطب و فیلتر Analytic signal بر روی داده‌های شدت میدان مغناطیسی استفاده گردیده شده که در فیلتر مشتق قائم با حذف فرکانس پائین و عبور فرکانس‌های بالا بیهنجاری‌های کوچک و سطحی شکلهای (۳۴-۴، ۳۵-۴، ۳۶-۴ و ۳۷-۴) را نمایان می‌سازند. خطوارهای حاصله و تووده‌های کم عمق مغناطیسی ۴ برگه فوق در شکلهای شماره (۴۰-۴، ۳۹-۴، ۳۸-۴ و ۴۱-۴) آورده شده است.

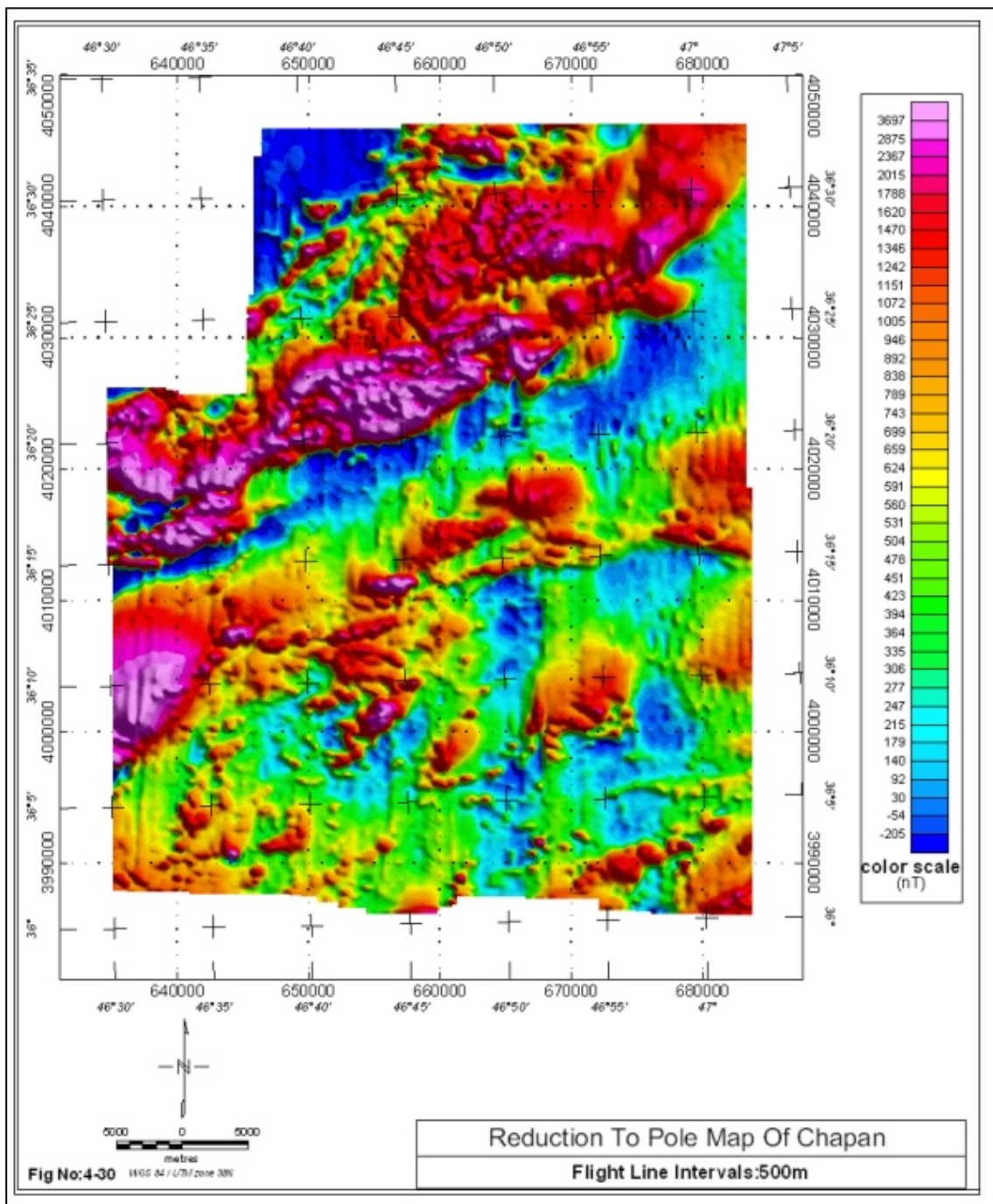
همچنین خطوارهای بدستآمده در برگه چاپان مطابق شکل شماره (۴-۳۸) "عمدتاً" دارای جهت شمال خاوری - جنوب باختری میباشد، که با موقعیت اندیس‌های موجود در این برگه انطباق بیشتری را نشان میدهد که این موضوع در مدلسازی و تلفیق اطلاعات می‌تواند حائز اهمیت باشد.

تصویر ۴-۲۹- خطوارهای کم عمق مغناطیسی حاصله استان کردستان با استفاده از اطلاعات

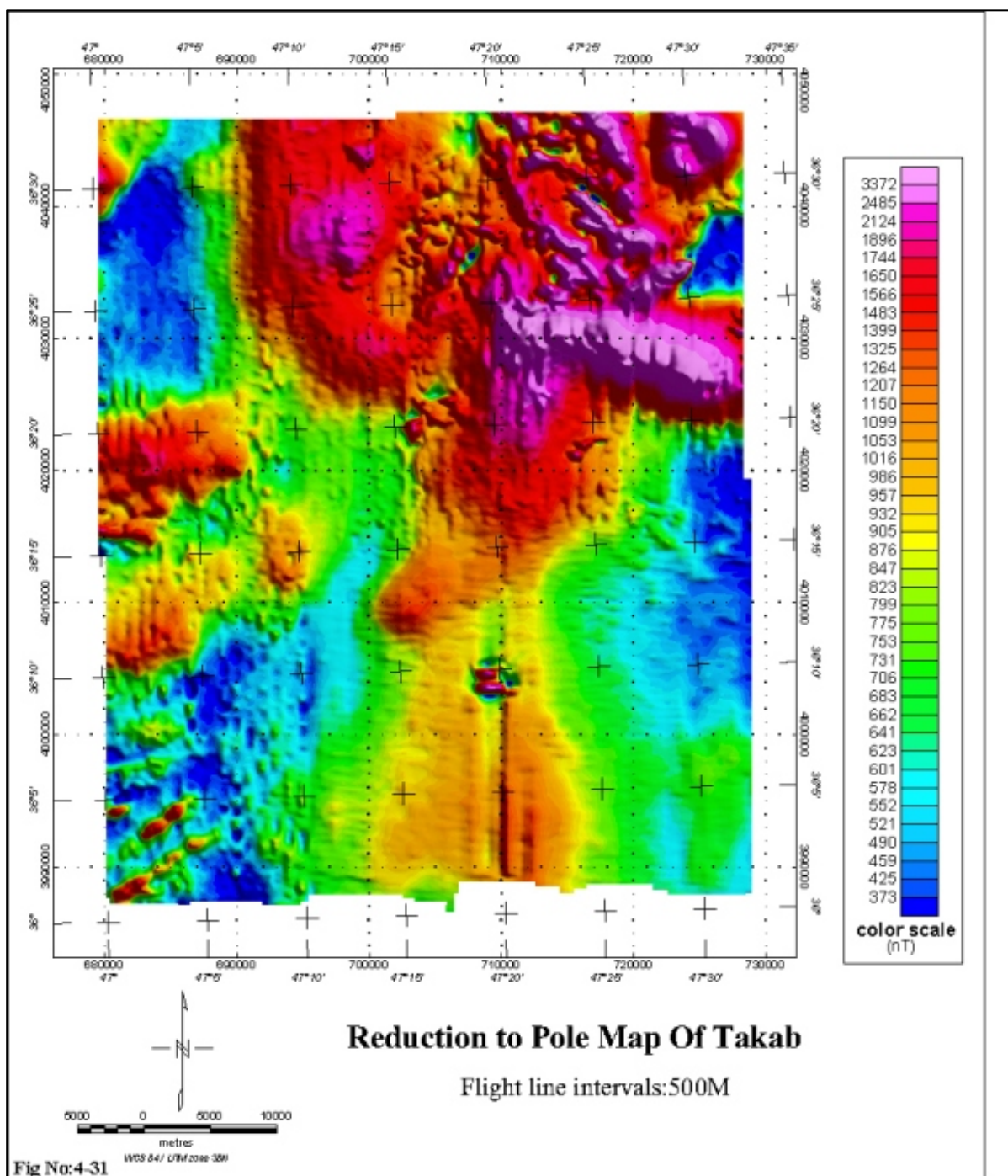
ناحیه‌ای



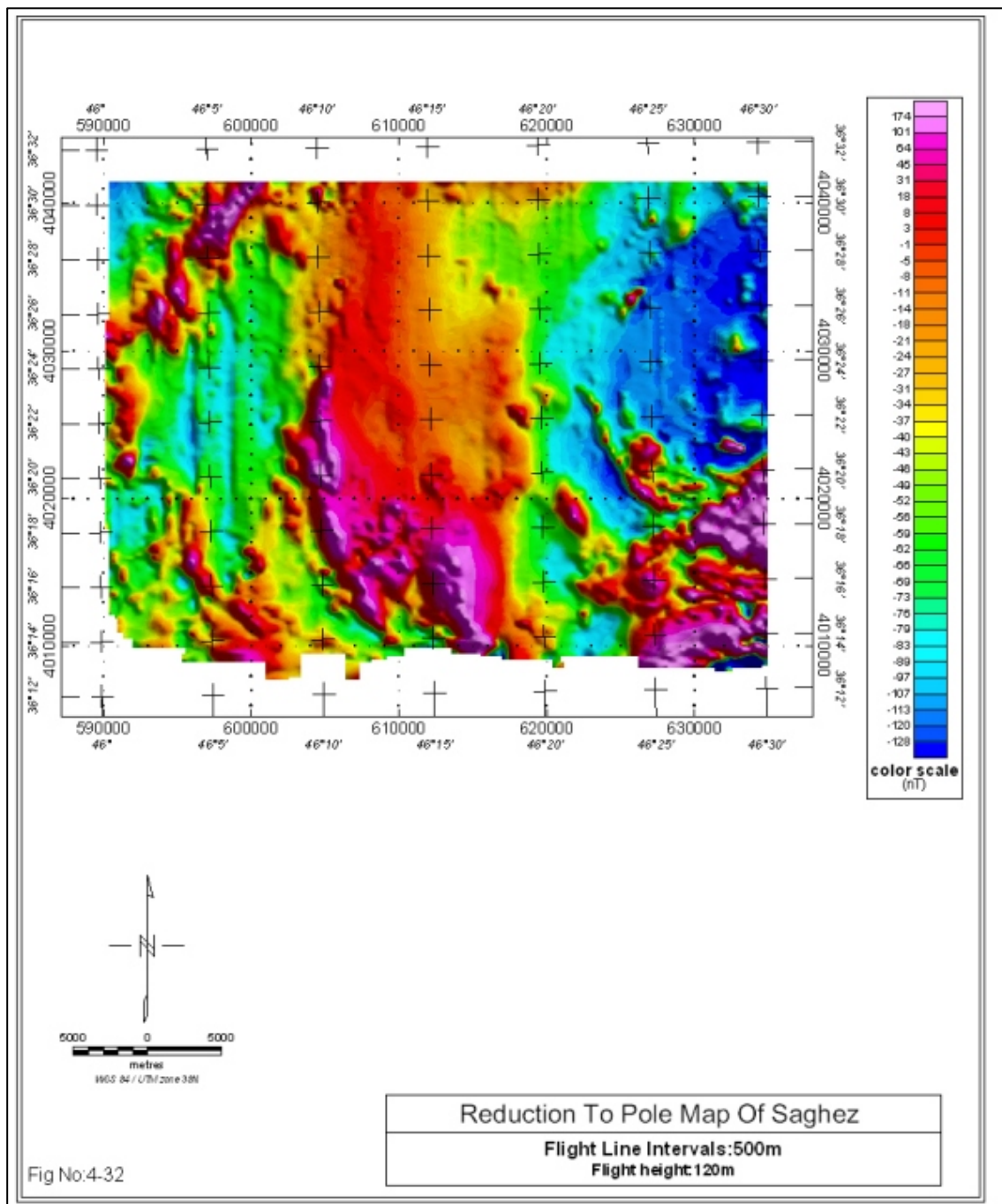
تصویر ۴-۳۰ نقشه برگردان به قطب چاپان با استفاده از اطلاعات محلی



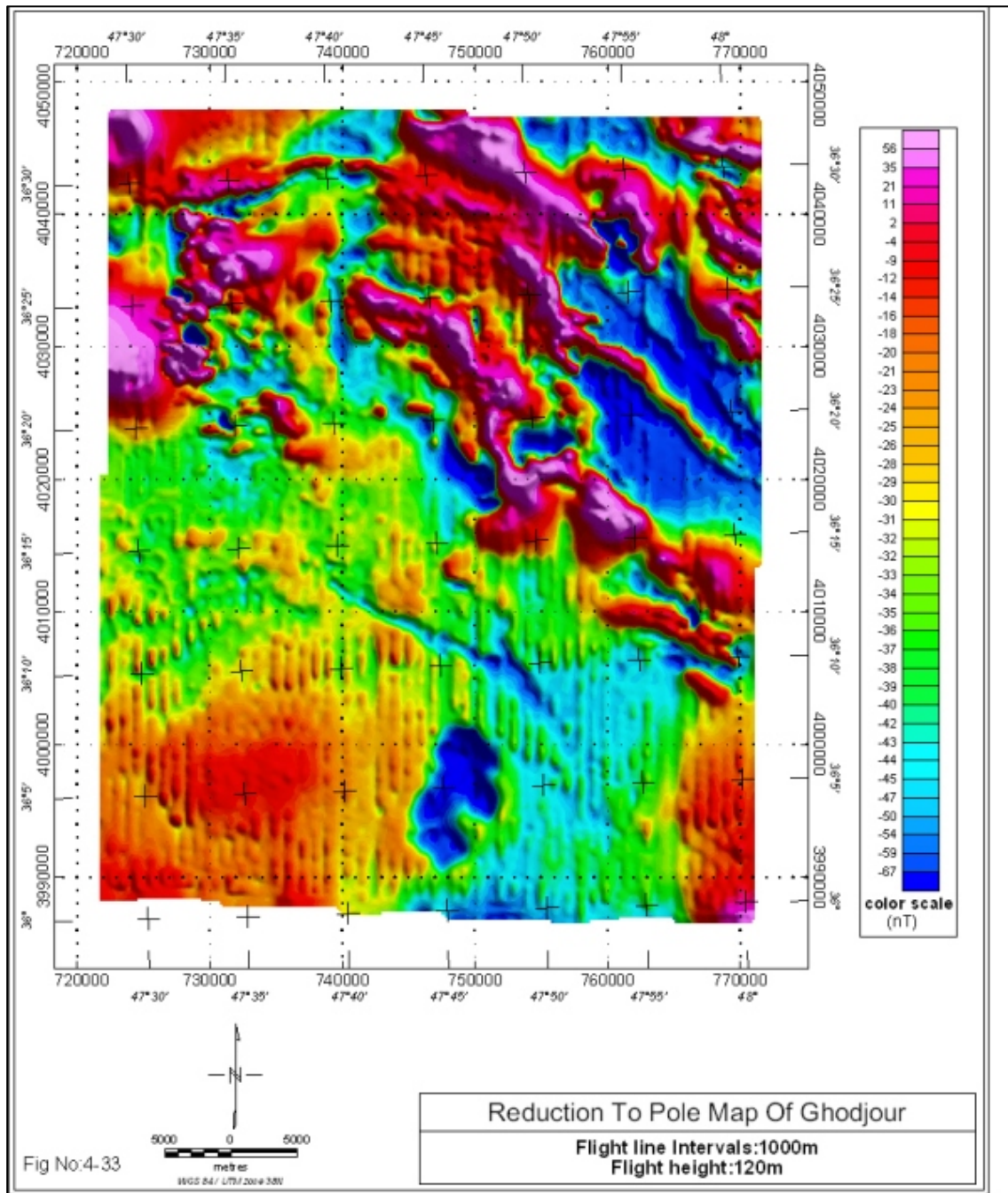
تصویر ۳۱-۴ نقشه برگردان به قطب تکاب با استفاده از اطلاعات محلی



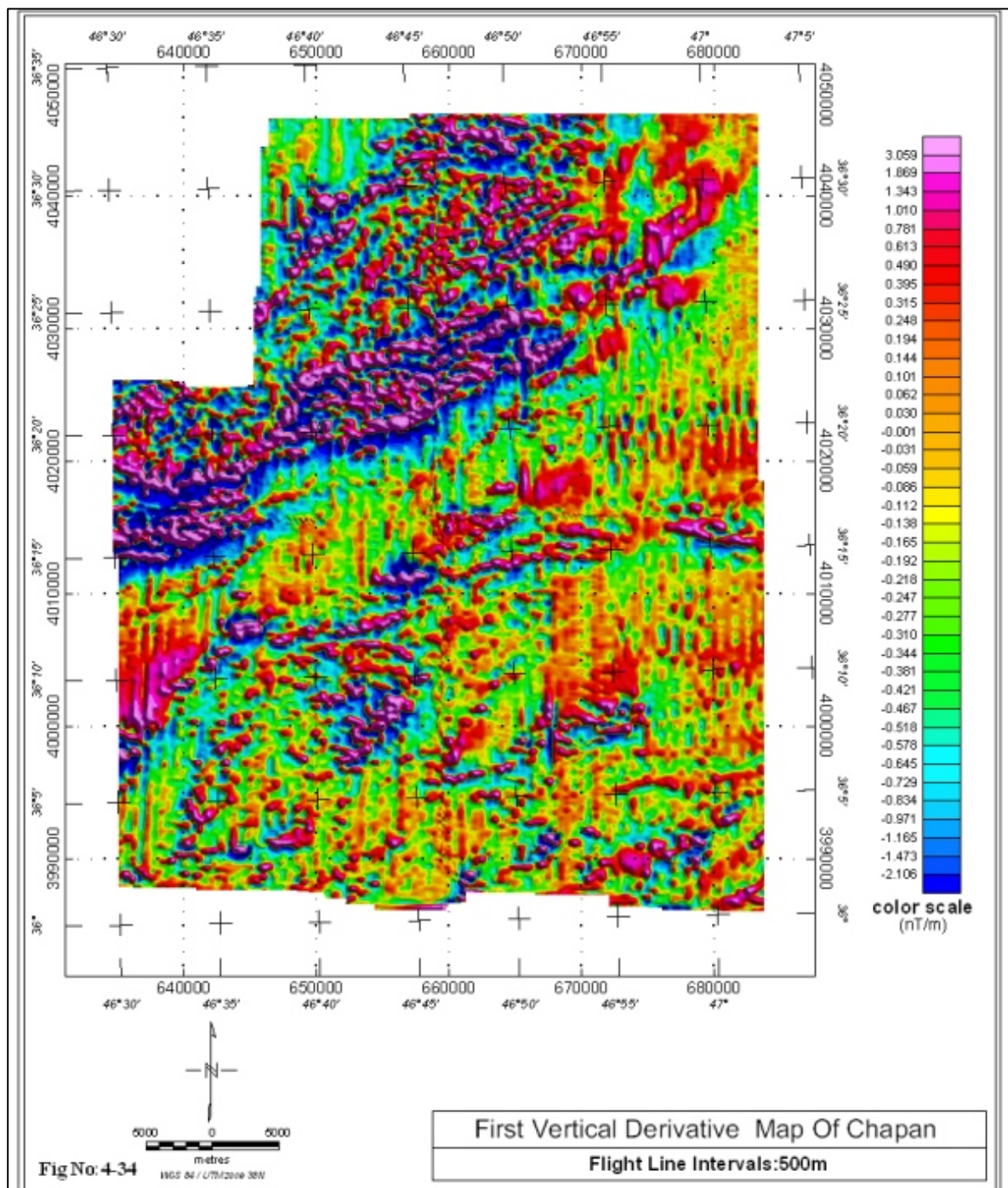
تصویر ۳۲-۴ نقشه برگردان به قطب سقز با استفاده از اطلاعات محلی



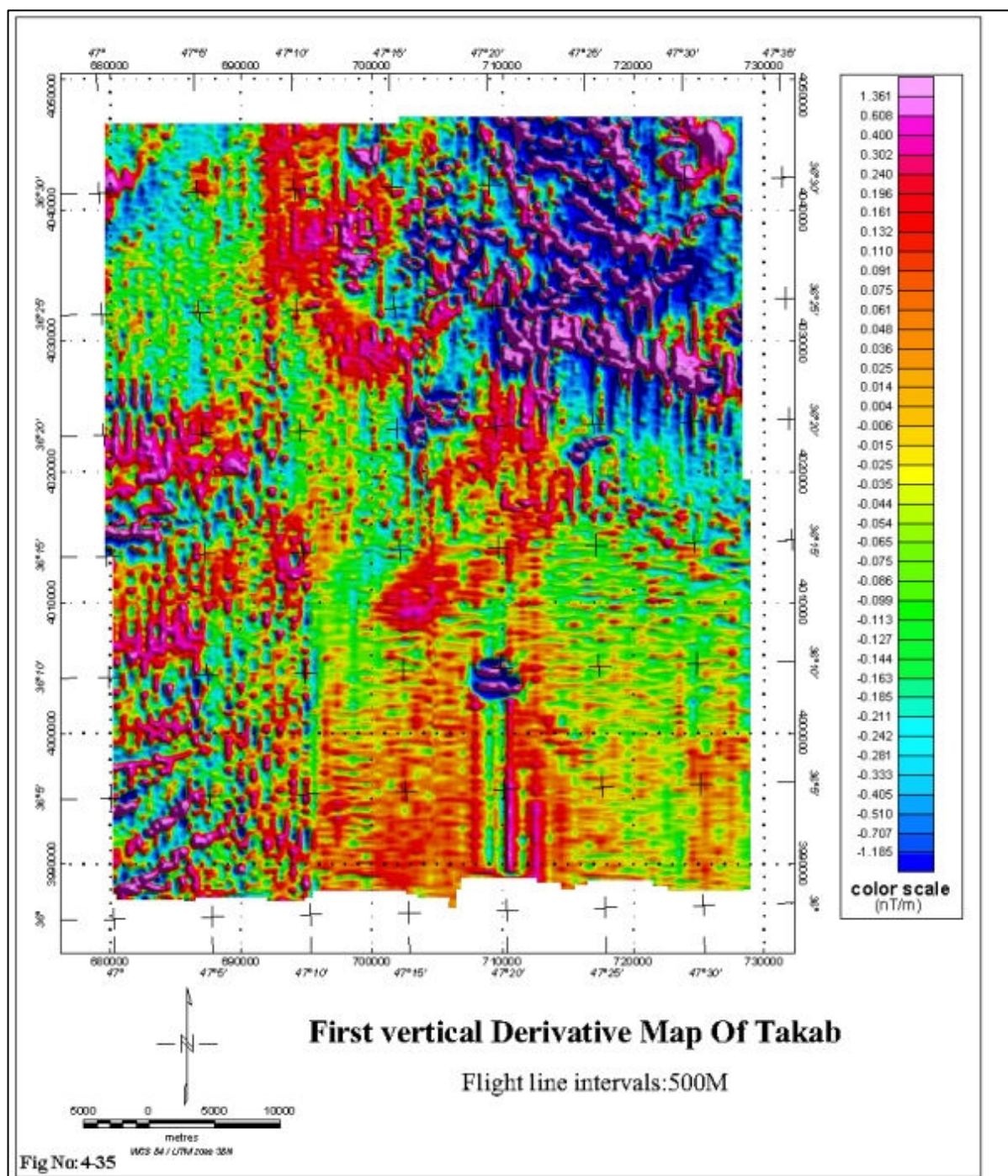
تصویر ۴-۳۳ نقشه برگردان به قطب قجور با استفاده از اطلاعات محلی



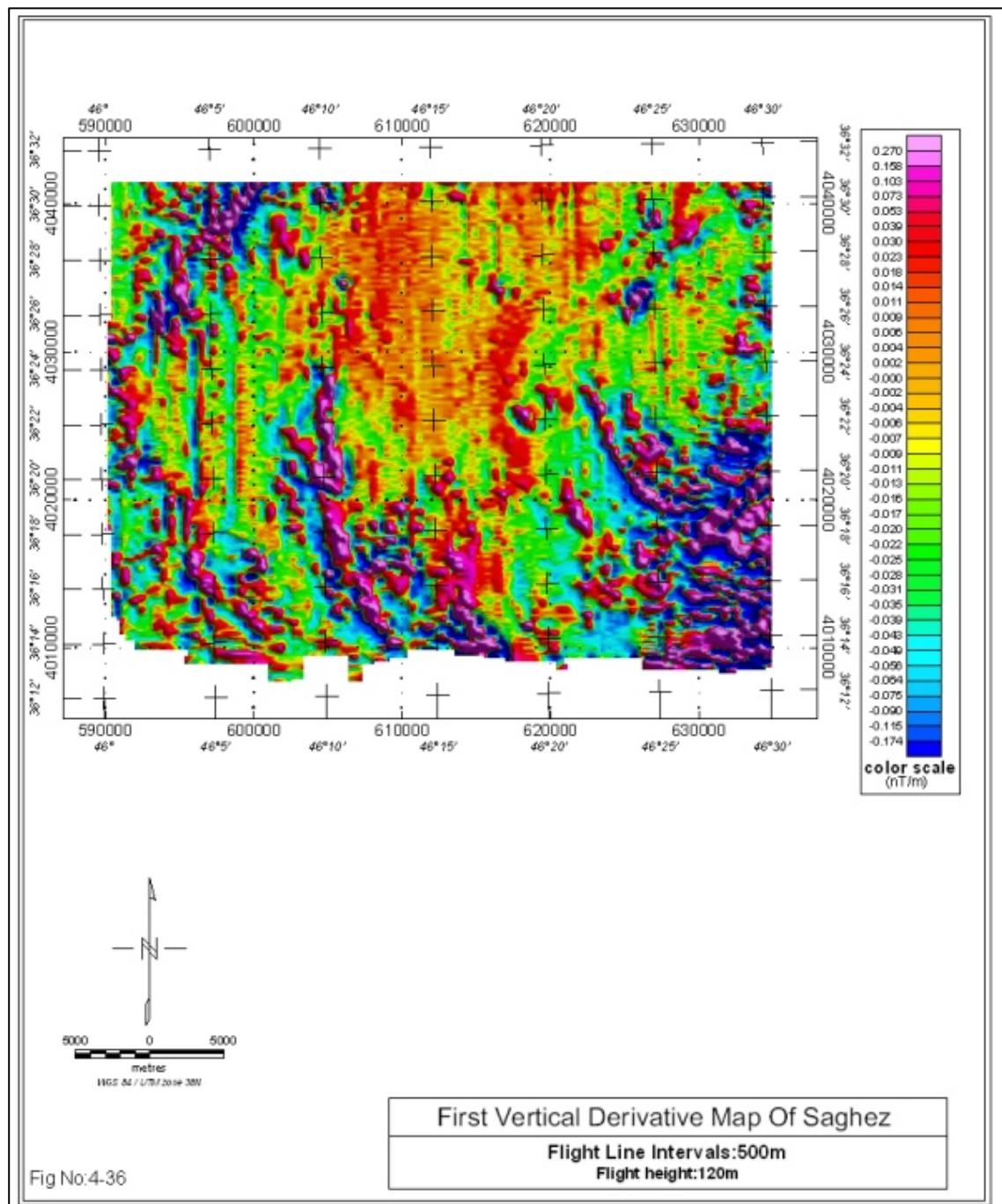
تصویر ۳۴-۴ نقشه مشتق اول قائم چاپان با استفاده از اطلاعات محلی



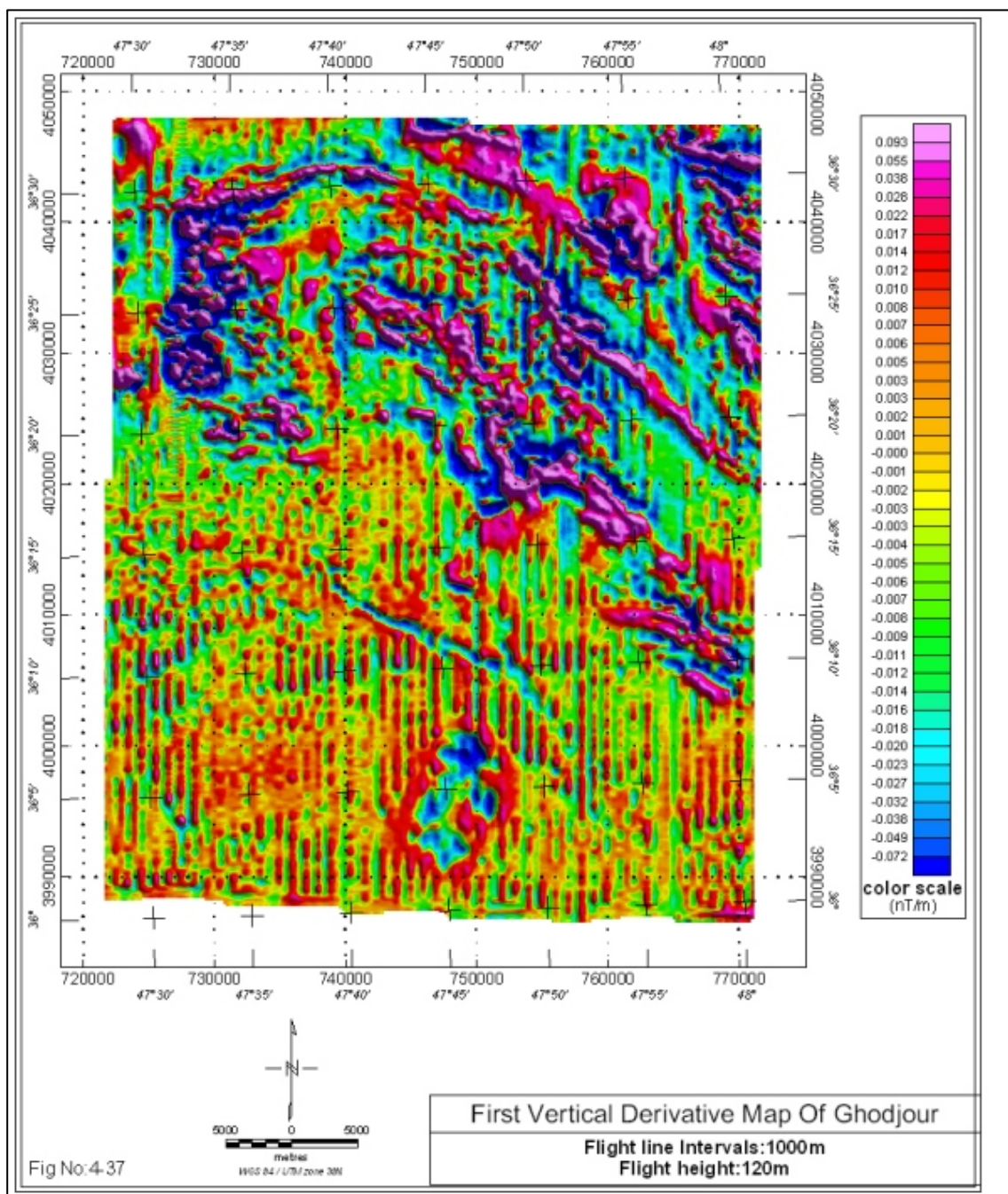
تصویر ۴-۳۵ نقشه مشتق اول قائم تکاب با استفاده از اطلاعات محلی



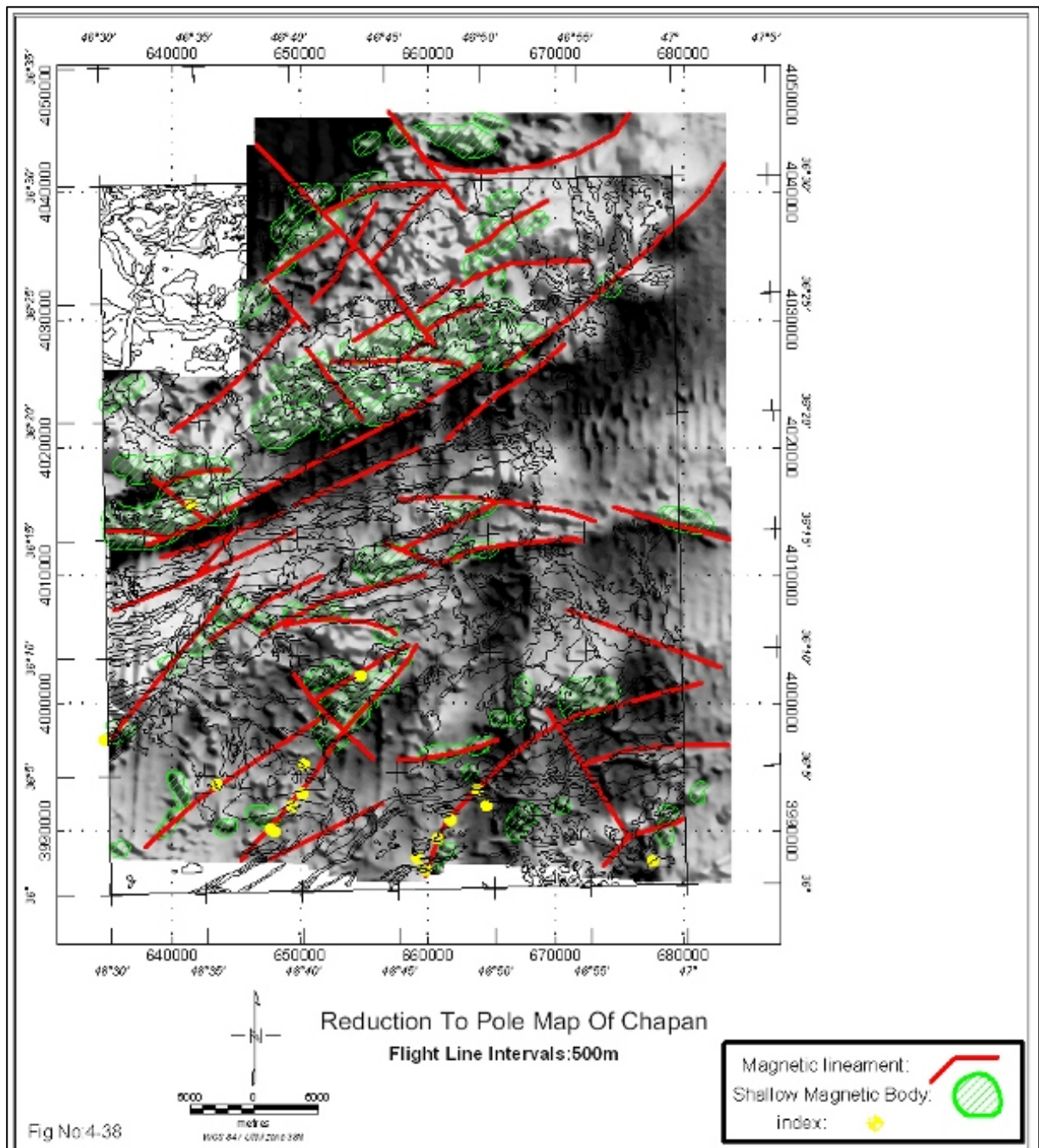
تصویر ۳۶-۴ نقشه مشتق اول قائم سقز با استفاده از اطلاعات محلی



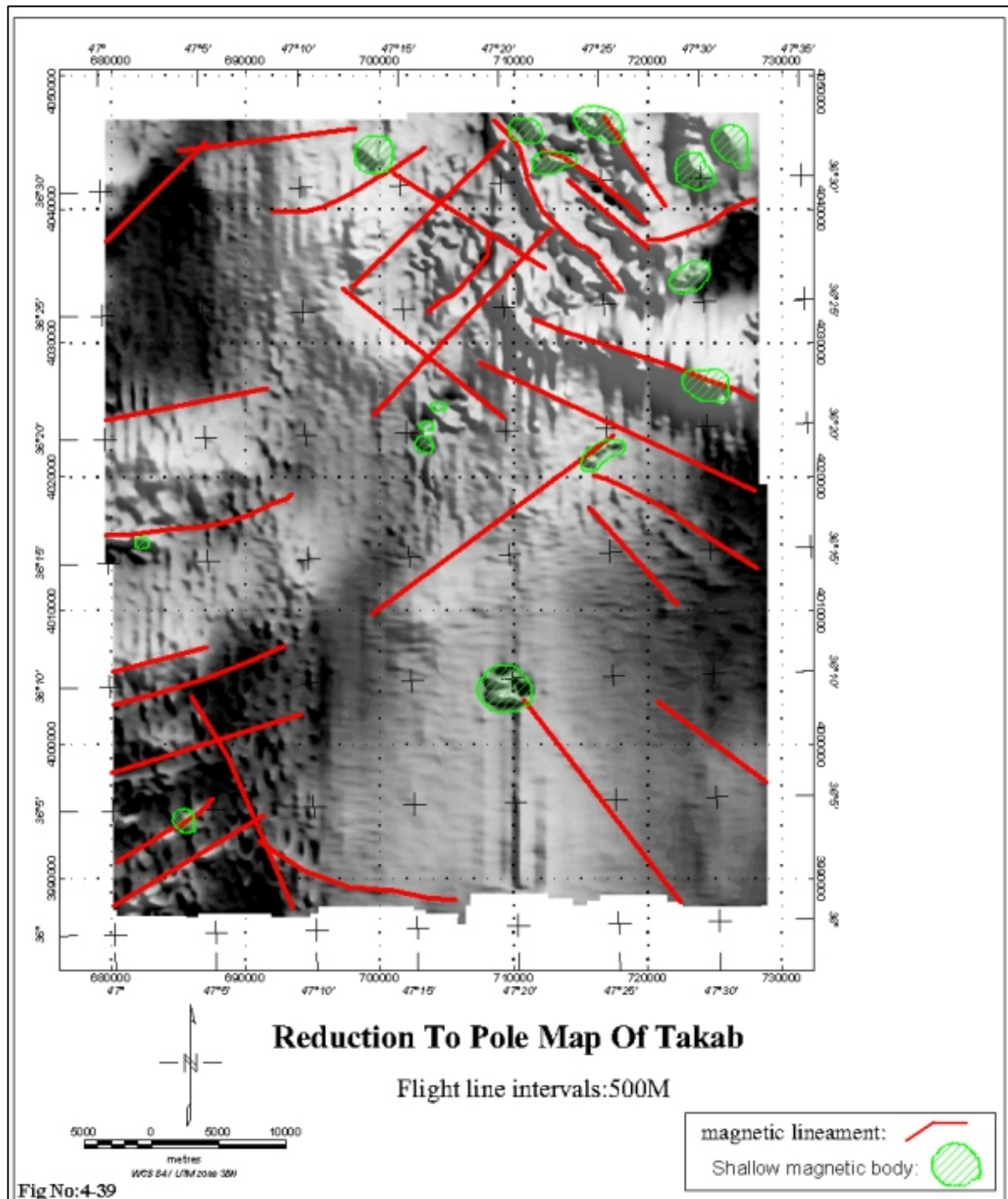
تصویر ۴-۳۷ نقشه مشتق اول قائم قجور با استفاده از اطلاعات محلی



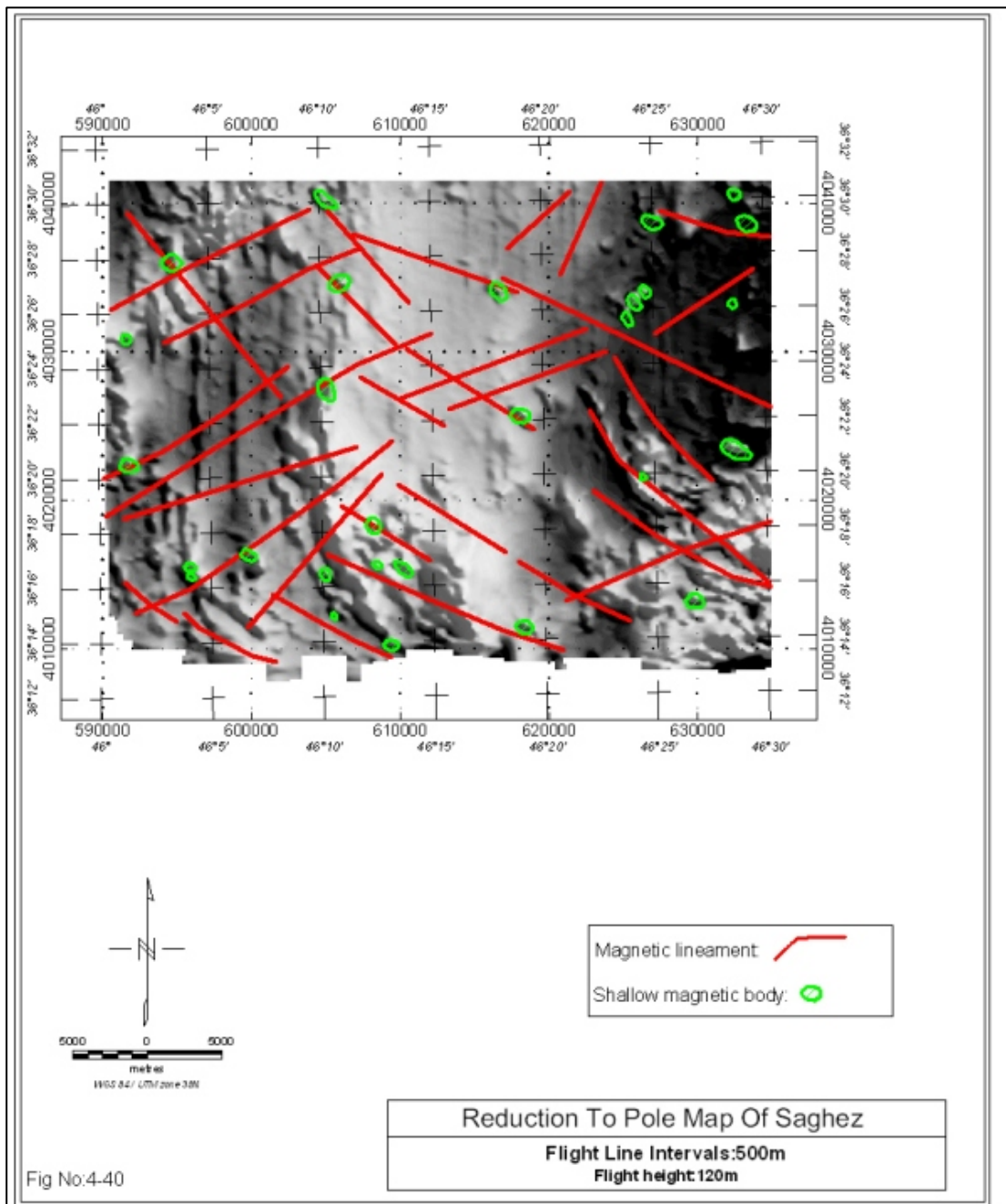
تصویر ۴-۳۸ خطوارهای کم عمق مغناطیسی حاصله چاپان با استفاده از اطلاعات محلی



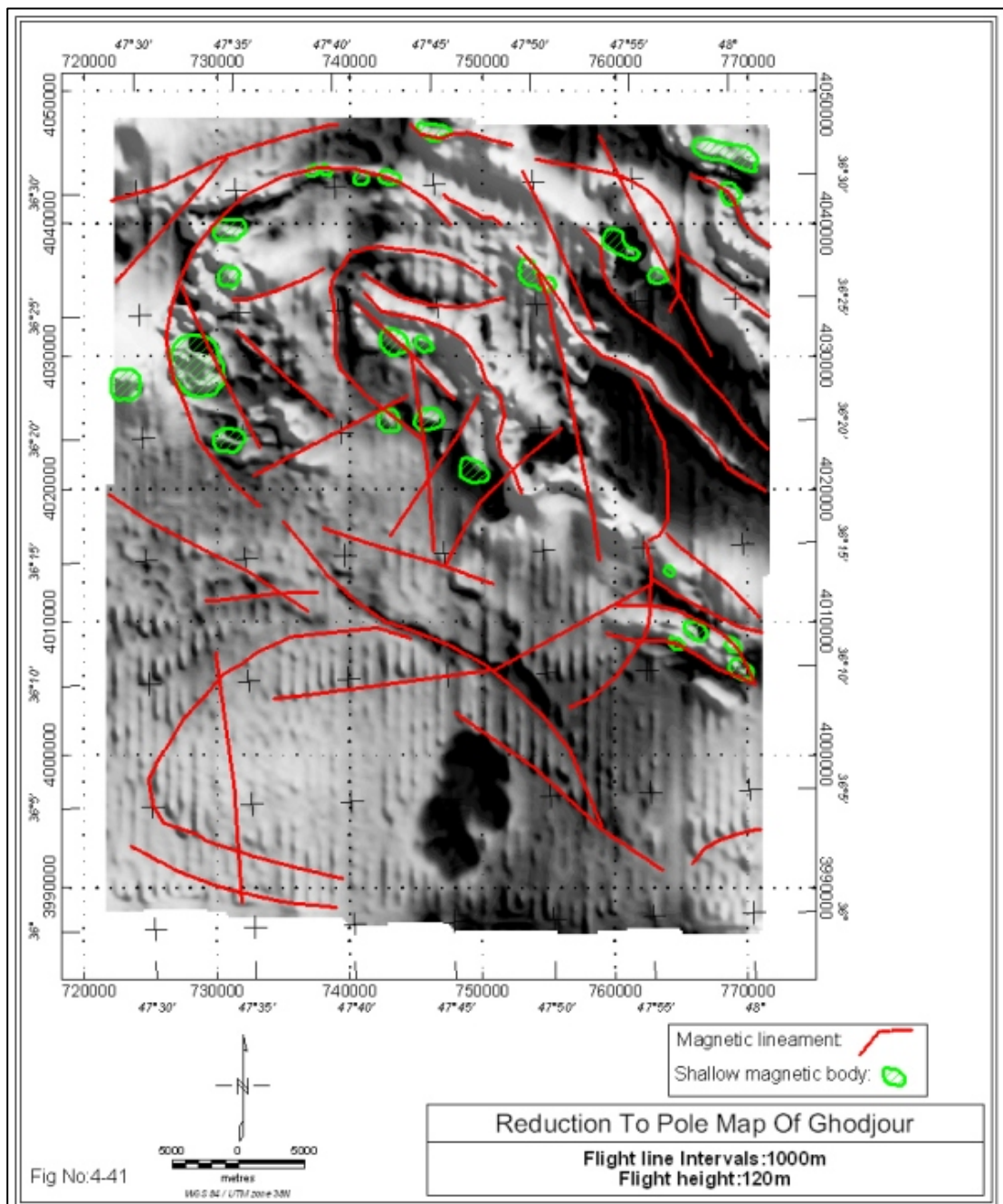
تصویر ۳۹-۴ خطوارهای کم عمق مغناطیسی حاصله تکاب با استفاده از اطلاعات محلی



تصویر ۴۰- خطوارهای کم عمق مغناطیسی حاصله سقز با استفاده از اطلاعات محلی



تصویر ۴-۴ خطوارهای کم عمق مغناطیسی حاصله قجر با استفاده از اطلاعات محلی



۴-۶-۴ پردازش اطلاعات ماهواره‌ای

الف) خواندن تصاویر

در این پروژه‌ها از تصاویر با فرمت ECW استفاده شد که برای انجام تصحیحات در نرمافزار Geomatica، فرمت تصاویر به ptx تغییر یافت.

ب) پردازش بصری

در این مرحله با کمک نقشه‌های زمین‌شناسی مربوط به هر منطقه و ترکیب باندی ۱، ۳، ۵، عوارض مختلف از جمله خطواره‌ها، توده‌های نفوذی و آلتراسیون‌ها از تصویر استخراج می‌گردد. نقشه‌های مورد استفاده عموماً در مقیاس ۱:۱۰۰۰۰۰ می‌باشد.

خطواره‌ها (Lineaments)

برای تشخیص و ترسیم خطواره‌ها از آشکارسازیهای مختلف کمک گرفته و همچنین می‌توان در انجام این مرحله از فیلتر استفاده کرد. فیلتر مناسب برای این کار (Edge Sharpening) فیلتری است که درواقع لبه‌ها را بارزتر می‌نماید. بهتر است که سعی شود حتی المقدور با استفاده از شواهد جابجایی لایه‌ها و تغییررنگ، جنس، امتداد و ضخامت لایه‌های زمین‌شناسی، خطواره‌ها همان گسل‌ها باشد و از ترسیم عوارض خطی چون جاده‌ها، خط الرأس‌ها و غیره به جای گسل خودداری گردد.

توده‌های نفوذی (Intrusions)

توده‌های آذرین نفوذی با استفاده از راهنمای نقشه زمین‌شناسی، شناسایی و با مقایسه نقشه با تصویر مربوط مشخص می‌شود. با کمک عوارضی همچون رودخانه‌ها، شهرها، راندگیهای بزرگ و ساختارهای مشخص زمین‌شناسی می‌توان محل این توده‌ها را بر روی تصویر مشخص نمود.

دگرسانی‌ها (Alterations)

دگرسانی‌ها عموماً با تأثیر محلولهای هیدروترمال بر سنگهای منطقه ایجاد می‌شوند. این محلولهای داغ غنی از عناصر سنگین در تماس با سنگها، با آنها تبادل یونی برقرار کرده و عناصر سنگین آنها جانشین برخی از عناصر موجود در سنگها می‌شود که این عناصر می‌توانند از نظر اقتصادی بالرزش باشند. به همین دلیل

شناسایی و یافتن محلهای دقیق این دگرسانی‌ها می‌تواند در پی جویی اندیشهای معدنی نقش مهمی را ایفا نماید.

انواع دگرسانی‌های آرژیلیتی، اکسیدآهن، پروپیلیتی و تا حدودی سیلیسی شدن را می‌توان در تصاویر ماهواره‌ای تفکیک کرد.

ابتدا با استفاده از مقایسه بصری تصویر و نقشه زمین‌شناسی و با مشاهده رنگهای خاص دگرسانی در اطراف توده‌های نفوذی و راندگیهای مهم، این عوارض تفکیک می‌گردد. سپس با روش‌های مختلف پردازش رقومی محل دقیق‌تر آن به دست می‌آید.

ج) پردازش رقومی

حال به انجام مراحل پردازش رقومی پرداخته تا صحت و سقم دگرسانی‌های مشخص شده در مرحله قبل اثبات گردد. مراحل پردازش رقومی شامل:

۱- نسبت گیری از باندها (Band Ratio)

۲- آنالیز مؤلفه‌های اصلی (Principal component analysis)

۳- طبقه‌بندی تصویر (Image Classification)

۴- فیلتر کردن تصویر (Image filtering)

نحوه کار در پروژه مورد نظر

بر اساس نوع اطلاعات مورد درخواست جهت استخراج از تصویر یک یا چند روش از روش‌های ذکر شده در بالا به کار برده می‌شود. در اینجا معمولاً روش نسبت‌گیری از باندها و همچنین آنالیز مؤلفه‌های اصلی استفاده شده است.

استفاده از روش نسبت‌گیری

روش‌های نسبت گیری به شرح زیر انجام شد.

$$\left\{ \begin{array}{l} \text{ARI : 5-7} \\ \text{ARI : 4-2} \\ \text{ARI : 3-1} \end{array} \right. \quad \text{or} \quad \left\{ \begin{array}{l} \text{ARI : 5/7} \\ \text{ARI : 4/2} \\ \text{ARI : 3/1} \end{array} \right.$$

در این روش‌ها ترکیبات جدید باندی که ساخته می‌شود، آلتراسیون و اکسید آهن تفکیک می‌گردد. علت این عملیات این است که مثلاً رسهای بیشترین بازتاب را در باند ۵ و کمترین بازتاب را در باند ۷ دارند و تفریق یا نسبت گیری این دو باند موجب می‌شود که تنها آلتراسیون‌های رسی نمایش داده شده و بقیه عوارض که بازتابی خارج از این محدوده طیفی دارند، حذف گردند. البته عوارضی چون آهک، زمین‌های کشاورزی و گاه رودخانه‌ها نیز بازتابی مانند رسهای دارند که در اینجا بهترین روش برای جداسازی آلتراسیون‌ها این است که تنها در چهارچوب محدوده‌های رسم شده با پردازش بصری در ترکیب باندی ۱، ۳، ۵ آلتراسیون‌ها تفکیک گردند.

به همین ترتیب پوشش‌های گیاهی بیشترین بازتاب را در باند ۴ و کمترین آن را در باند ۲ و اکسیدهای آهن بیشترین و کمترین بازتاب را به ترتیب در باندهای ۱ و ۳ دارند.

استفاده از آنالیز مؤلفه‌های اصلی

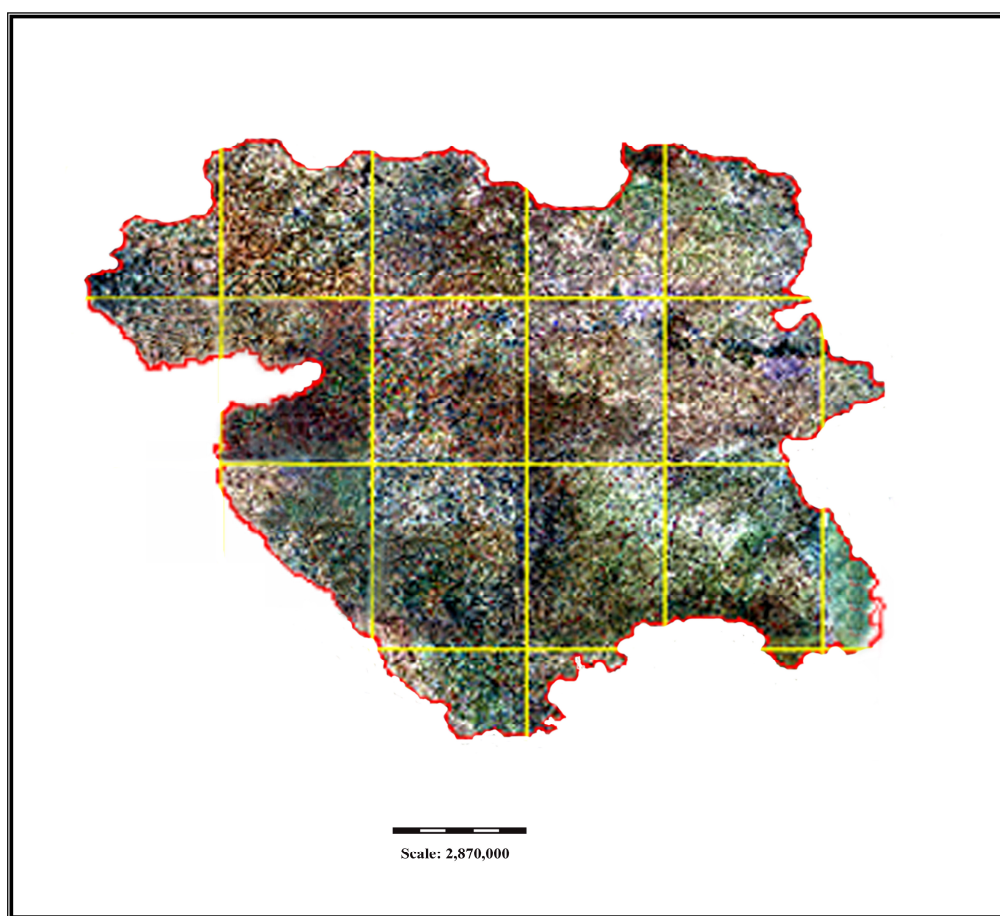
پس از تفکیک محدوده‌های دگرسانی و اکسید آهن حال می‌توان با بکارگیری روشهای آنالیز مؤلفه‌های اصلی (PCA) مهر تأییدی بر آلتراسیونهای مشخص شده، زد. در این روش از دومین مؤلفه اصلی ناشی از آنالیز مؤلفه‌های اصلی باندهای ۵ و ۷ که مناطقی را که باندهای ۵ و ۷ بیشترین اختلافات را دارد، بارز می‌کند (Selective Principle Component) و همچنین از چهارمین مؤلفه اصلی حاصل از تبدیل (Feature Oriented Principal Component) جهت بارزسازی آلتراسیونهای رسی در تصویر استفاده می‌شود.

برای بارزسازی اکسیدهای آهن نیز از روشهای فوق منتهی با استفاده از باندهای ۱ و ۳ در روش اول و ۱، ۳، ۴، ۵ در روش دوم، استفاده می‌گردد. از ترکیبات باندی متفاوت دیگر نیز در روشهای نسبت گیری و آنالیز مؤلفه‌های اصلی، جهت آشکارسازی آلتراسیون‌ها استفاده می‌شود که تمام این موارد و نوع انتخاب باندها با تجربه کاربر و روشهای آزمون و خط ارتباط تنگاتنگ دارد. به این ترتیب که مثلاً در یک تصویر عملیات نسبت گیری از باندها تفکیک بهتر و واضح‌تری از آلتراسیون‌ها به ما ارائه می‌دهد و در تصویر دیگر به جای نسبت گیری، بهتر است برای نتیجه گیری بهتر از عملیات تفریق باندهای مورد نظر استفاده نمود.

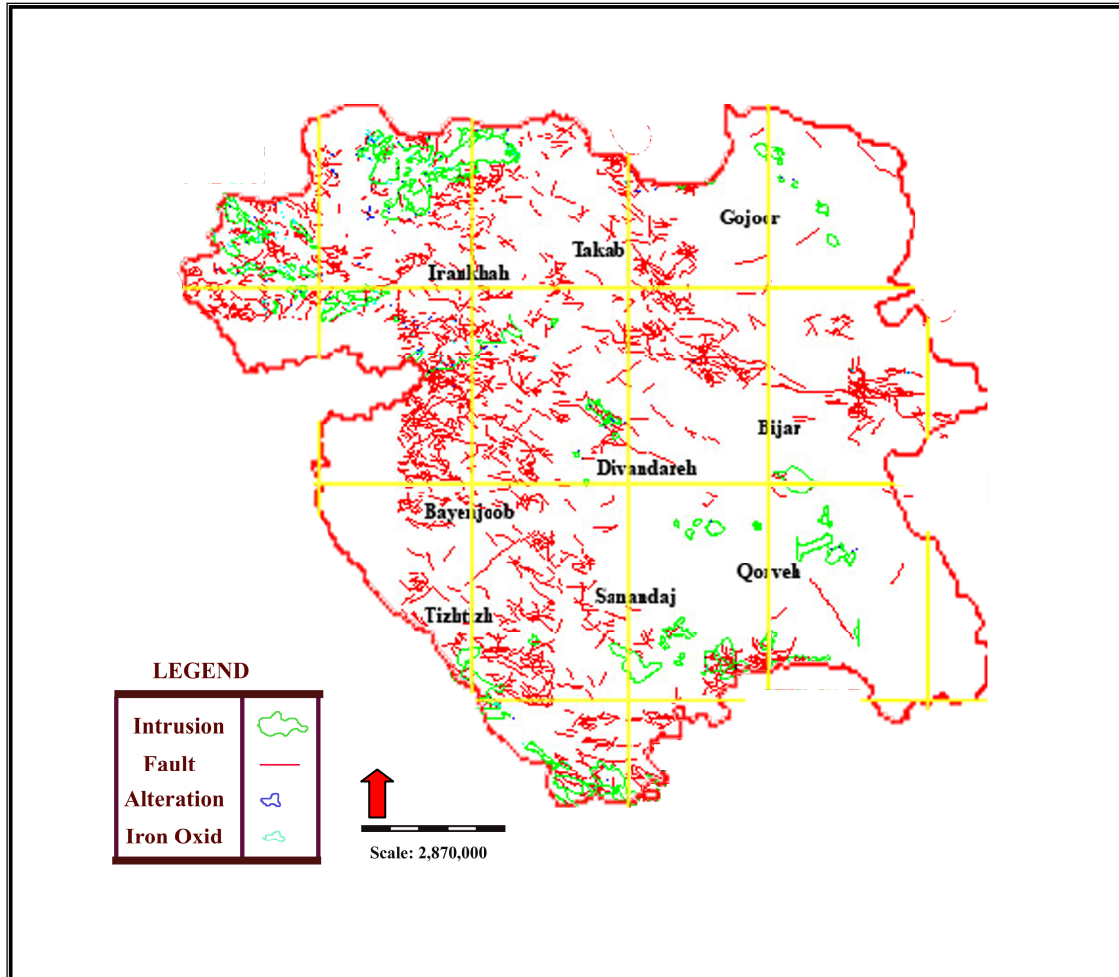
همچنین به جای استفاده از ترکیبات باندی ذکر شده در بالا می‌توان از ترکیبات دیگر (با توجه به هدف مورد نظر از پردازش تصاویر)، استفاده نمود.

تصاویر مربوط به پروژه کردستان

در اینجا ابتدا تصویر ماهواره‌های لندست با ترکیب باندی ۱،۳،۵ مربوط به کل استان به همراه منحنی‌ها و خطوط مشخص کننده خطواره‌ها، توده‌های نفوذی، آلتراسیون‌ها و اکسیدهای آهن نشان داده شده است.

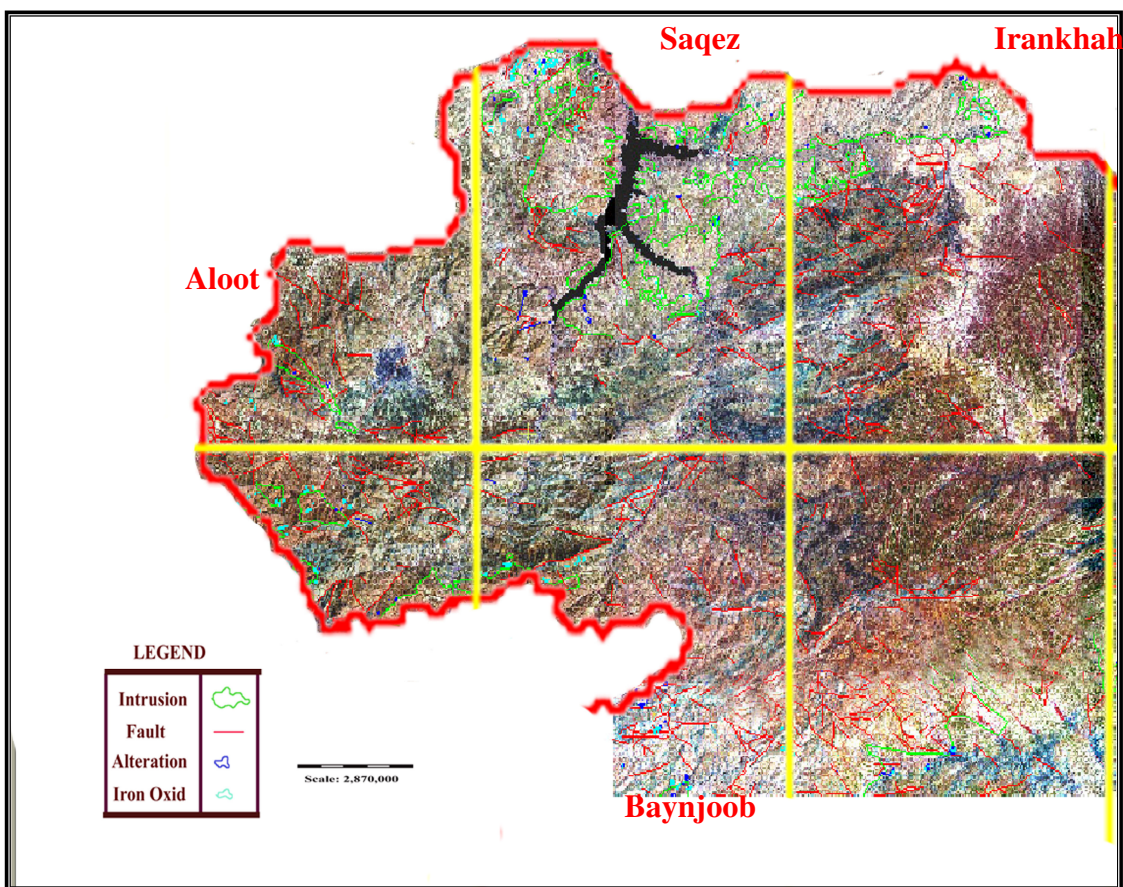


تصویر ۴۲-۴ تصویر ماهواره‌ای لندست با ترکیب باندی ۱،۳،۵ (استان کردستان)

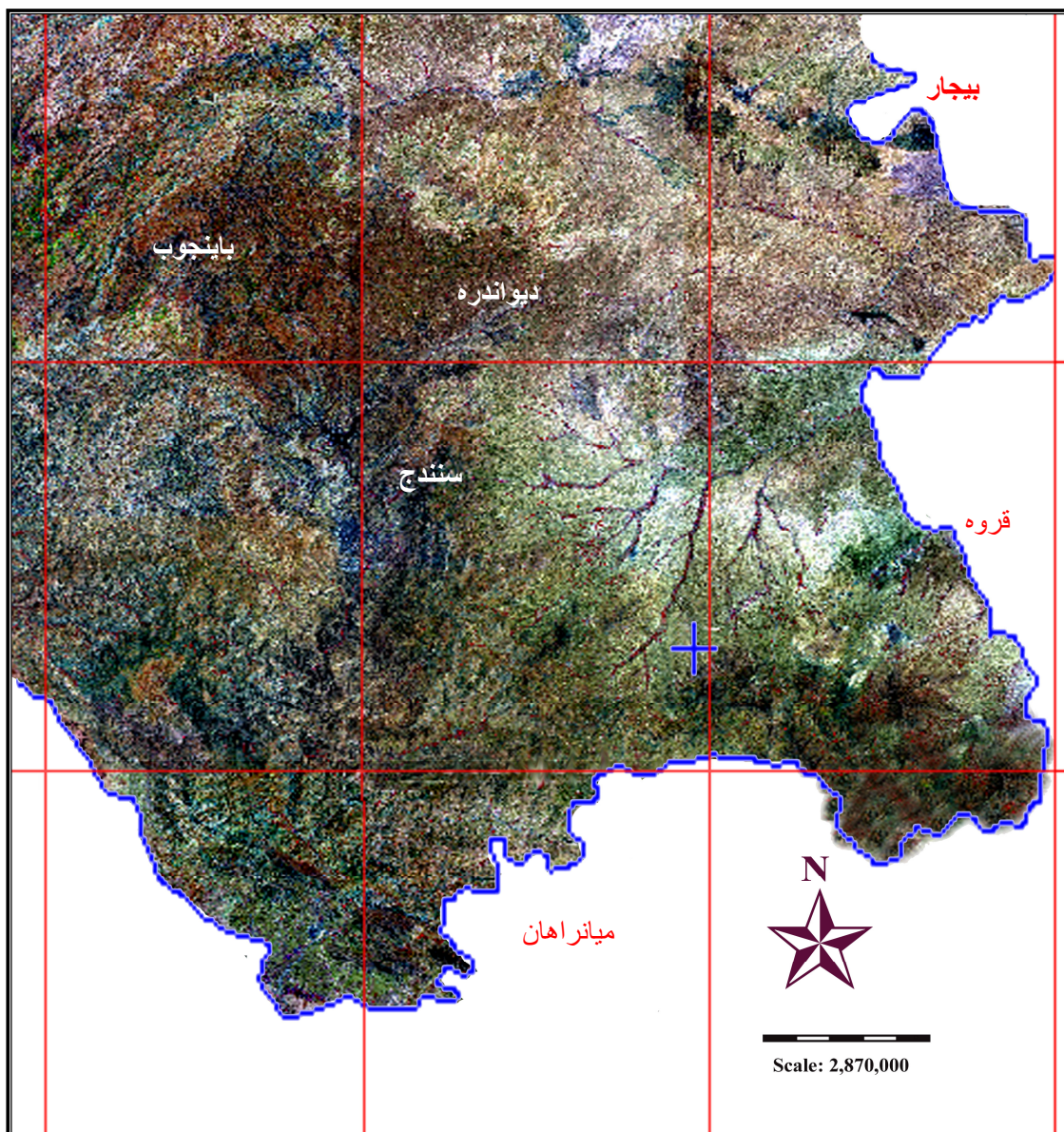


تصویر ۴-۴۳ نمایش ساختارهای خطی و آلتراسیون‌ها در استان

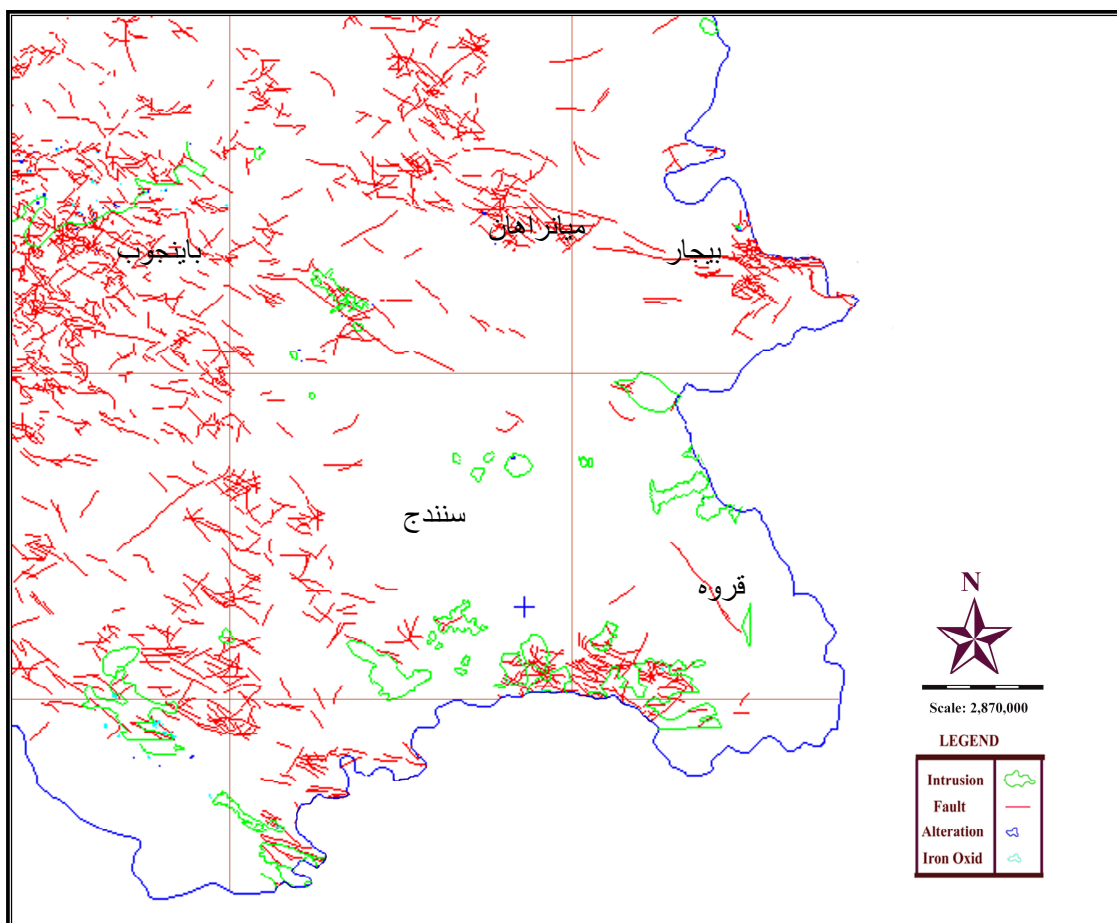
همانگونه که در تصویر ۴-۴۳ نیز مشاهده می‌شود، بیشترین تمرکز آلتراسیون‌ها در برگه‌های ۱:۱۰۰۰۰۰ آلوت، سقز و ایرانخواه می‌باشد که همچنین تمرکز توده‌های نفوذی در این قسمت از استان بیش از سایر نواحی است. علاوه بر این نیز تمرکز دیگری در برگه‌های باینجوب، دیواندره، قروه و میانراهان نیز موجود می‌باشد که در تصاویر بعدی نشان داده شده است. این آلتراسیون‌ها به رنگ آبی در تصاویر زیر دیده می‌شود.



تصویر ۴۴ ترکیب باندی ۱۰۳ و ۵۰ از تصویر لندهست مربوط به محدوده های ۱:۱۰۰۰۰ آلت، سقز، ایرانخواه و باینجوب



تصویر ۴۵-۴ ترکیب باندی ۱ و ۳ و ۵ از تصویر لندست منطقه



تصویر ۴-۴۶ گسلها، توده‌های نفوذی، آلتراسیون‌ها و اکسیدآهن در تصویر ماهواره‌ای مربوط به بخش جنوب‌خاوری استان

فصل پنجم

تلفیق و مدلسازی

۱-۵ مقدمه

در این پژوهه برای مدل‌سازی مناطق مطلوب معدنی تنها از روش‌های مبتنی بر شناخت و تجربه کارشناس (در اینجا منطق فازی) استفاده شد. از روش‌های مبتنی بر داده‌ها (ارتباط اندیس‌ها با لایه‌های رخدادی) به دلیل نبود ارتباط معنی دار مکانی استفاده نشده است.

۲-۵ تلفیق و مدل‌سازی معرفی نواحی امید بخش به روش فازی

وزن‌دار نمودن اطلاعات برای استفاده در مدل سازی در اینجا با تکیه بر نظر متخصصین با استفاده از منطق فازی صورت گرفت. در این پژوهه به هر یک از لایه‌های زمین‌شناسی ژئوفیزیک، ژئوشیمی، دورسنجی و توپوگرافی وزن‌های مورد نظر داده شد.

تعیین مقادیر عضویت هر یک از نقشه‌های رخدادی

۱- لایه زمین‌شناسی

همانگونه که در فصول قبلی اشاره گردید واحدهای در نظر گرفته شده در لایه زمین‌شناسی شامل واحدهای منبع، واحدهای میزبان، و اسکارن‌ها می‌باشند با توجه به جدول ۱-۵ بیشترین مقدار عضویت (بر اساس تجربه و شناخت کارشناس از نوع کانسال مورد مطالعه)، ارزش ۱ به واحدهای اسکارنی تخصیص داده شده است، ارزش ۰/۹ به واحدهای منبع داده شده که شامل سنگ‌های نفوذی اسیدی و کمپلکس‌های دگرگونی است و در نهایت ارزش ۰/۸ به واحدهای میزبان شامل سنگ‌های رسوبی آهکی و ماسه‌سنگها اختصاص داده شده است. شکل ۱-۵ واحدهای زمین‌شناسی با کدهای تخصیص داده شده را نشان میدهد.

جدول ۱-۵ مقادیر عضویت

ارزش	مقادیر عضویت
1	0.8
2	0.9
3	1

١-٥ تصوير

۲- لایه کنکات‌های زمین‌شناسی

جهت استفاده از لایه کنکات بین واحدهای نفوذی(منبع) و واحدهای رسوبی (میزبان) ابتدا همبری استخراج شده و به فواصل مورد نظر بافر گردید(مطابق تصویر ۲-۵). سپس طبق جدول شماره ۲-۵ ارزش‌گذاری شدند.

در این جدول فاصله تا ۲۰۰ متر ارزش ۰/۸ و فاصله تا ۲۰۰۰ متری ارزش ۰/۴ بین این مقادیر یک رابطه خطی واسطه‌یابی گردید.

جدول ۲-۵ مقادیر عضویت و ارزش‌های تعلق گرفته

ارزش	مقادیر عضویت
200	0.8
400	0.76
600	0.71
800	0.67
1000	0.62
1200	0.58
1400	0.53
1600	0.49
1800	0.44
2000	0.4
2001	0

٤-٢ تصویر

۳- لایه ژئوشیمی

همانگونه که در فصول قبلی ذکر گردیده اطلاعات ژئوشیمی شامل اطلاعات آنالیز رسوبات آبراهه‌ای و مطالعات کانی‌سنگین می‌باشد. جهت استفاده از لایه ژئوشیمیابی اطلاعات عناصر مربوط به کانی‌زایی اسکارن آهن و تنگستن بطور جداگانه ارزش‌دهی شده‌است و همانگونه که قبلاً ذکر شده‌است برای آنومالی هر عنصر دوتابع جداگانه و درجه ارزش متفاوت تعریف شده‌است. جداول ۴-۵ و ۳-۵ مقادیر عضویت را برای آنالیز رسوبات آبراهه‌ای و کانی‌سنگین را نشان می‌دهد.

جدول ۳-۵ مقادیر عضویت عناصر ژئوشیمیابی

نوع عنصر	تابع عضویت	تنگستن	آهن
As	3s	0.6	0.6
	2s	0.4	0.4
Au	3s		0.6
	2s		0.4
B	3s	0.6	0.6
	2s	0.4	0.5
Be	3s	0.6	
	2s	0.5	
Bi	3s	0.6	
	2s	0.5	
Cu	3s	0.5	0.7
	2s	0.4	0.5
Mo	3s	0.6	
	2s	0.5	
Sb	3s	0.6	
	2s	0.5	
Sn	3s	0.7	
	2s	0.6	
W	3s	0.9	
	2s	0.8	
Zn	3s	0.4	0.6
	2s	0.3	0.4
Factor of Fe	3s		0.8
	2s		0.6

جدول ۴-۵ مقادیر عضویت کانی سنگین

نوع کانی سنگین	مناطق آنومالی تنگستن	مناطق آنومالی آهن
Scheelite	0.9	
Casitrite	0.7	
Chalcopyrite	0.4	
Cinabar	0.5	
Orpiment	0.5	
Pyrite	0.4	
Magnetite	0.4	0.9
Gallena	0.4	
Flourite	0.4	

۴- لایه ژئوفیزیکی

تنها داده موجود ژئوفیزیکی که پوشش کامل استان را داشته باشد و بتوان از آن برای مدل‌سازی استفاده کرد شدت کل میدان مغناطیسی است که این اطلاعات در برگه‌های شمالی (قجور، تکاب، چاپان و نیمی از برگه سقز) با دقت بالا و در بقیه برگه‌ها با کیفیت پایین تر موجود می‌باشد این دو نوع با هم ترکیب و تنها جهت مدل‌سازی کانسار آهن استفاده شد.

شکل شماره ۳-۵ طبقه بندی شدت کل مغناطیسی منطقه که مقادیر بالای آن جدا شده است را نشان می‌دهد. در نهایت بالاترین مقدار ارزش $0/8$ و کمترین ارزش $0/6$ و بین این دو یک ترکیب خطی واسطه یابی شد. که طبق جدول شماره ۵-۵ قابل مشاهده می‌باشد.

تصویر ۳-۵

جدول ٥-٥ مقادير عضويت لايه ژئوفيزيك

VALUE	COUNT	Fe
1	3852	0
2	2268	0
3	9655	0
4	37702	0
5	67718	0
6	79021	0
7	273853	0
8	272886	0
9	446978	0
10	785506	0
11	1454279	0
12	1643609	0
13	1400705	0
15	1148428	0
16	824782	0.6
17	555278	0.62
18	449148	0.64
19	354273	0.65
20	257407	0.67
21	138514	0.69
22	119376	0.71
23	81946	0.73
24	65587	0.75
25	50592	0.76
26	55380	0.78
27	166740	0.8

۵- لایه دورسنجدی

با توجه به مطالب گفته شده در بخش‌های قبلی از نتایج تفسیری تصاویر ماهواره‌ای تنها از لایه آلتراسیون‌های رسی و اکسیدهای آهن استفاده شد. این لایه‌ها بر اساس شدت نوع آلتراسیون در سه کلاس مختلف مطابق جداول ۵-۶ و ۵-۷ درجه‌بندی و ارزش‌گذاری شدند.

جدول ۵-۶- مقادیر عضویت لایه آلتراسیون رس

VALUE	W	Fe
1	0.5	0.3
2	0.6	0.4
3	0.7	0.5

جدول ۵-۷- مقادیر عضویت لایه آلتراسیون اکسید آهن

VALUE	W	Fe
1	0.3	0.5
2	0.4	0.6
3	0.5	0.7

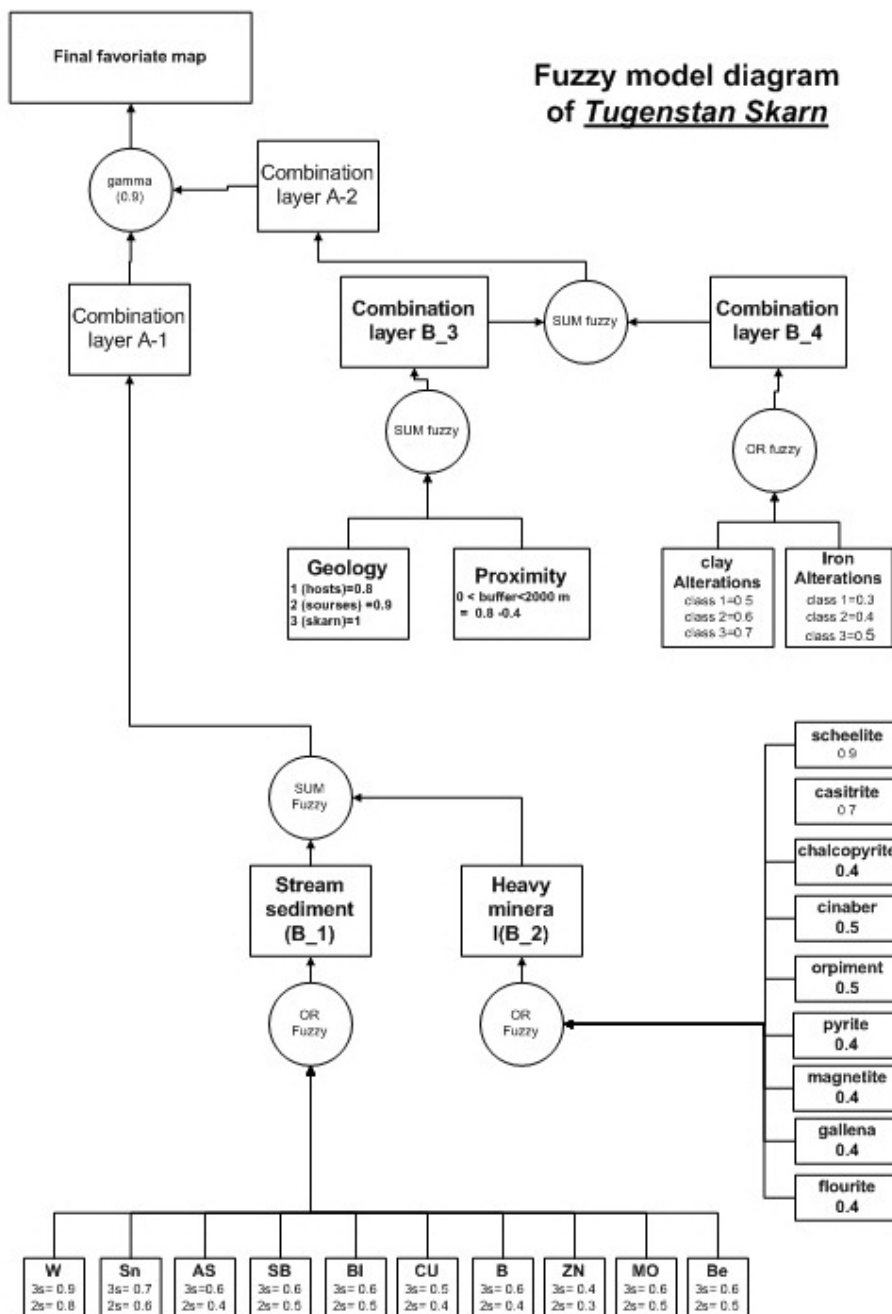
۶- لایه توپوگرافی

با توجه به مطالب گفته شده و ارتباط معنی‌دار مکانی آهن با اندیس‌های آهن منطقه مقادیر تراز بالای ارتفاع ۱۹۰۰ متر را بعنوان مناطق مستعد برای تشکیل کانی سازی آهن انتخاب و ارزش‌گذاری شد. است.

۳-۵ تهیه مناطق امیدبخش معدنی و رتبه بندی

با استفاده از این لایه‌های آماده شده و ارزش‌گذاری شده می‌توان یک مدلسازی را بر اساس ترکیب این لایه‌ها بصورت فازی انجام داد. برای مدلسازی بهتر و معنی‌دارتر ابتدا لایه‌های که از لحاظ زمین‌شناسی دارای یک مفهوم هستند را به صورت نقشه‌های واسط درآورده و سپس از تلفیق این لایه‌های میانی به

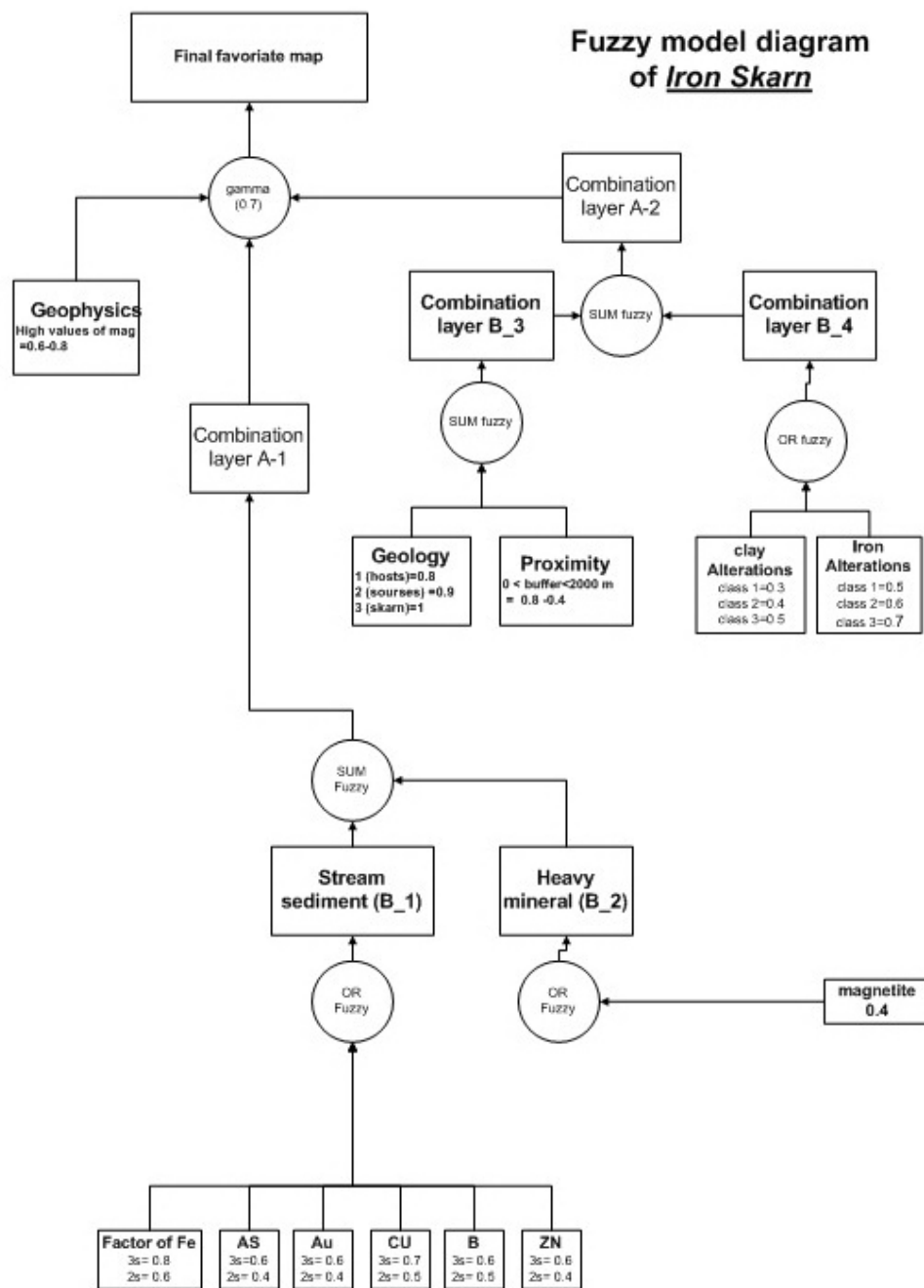
نقشه نهایی مورد نظر می‌رسیم. با در نظر گرفتن تمامی این موارد اقدام به ترکیب نقشه‌های رخدادی فوق بصورت فلوچارت ۵-۱ گشته و نقشه پتانسیل معدنی برای هر یک از نوع کانسارها آورده شده است.



همانطور که در فلوچارت ۵-۱ مشاهده می‌شود نقشه‌های آنومالی‌های ژئوشیمیایی (کانی سنگین و رسوبات رودخانه‌ای) با عملگر فازی Sum ترکیب و تولید یک لایه میانی (A1) شده، همینطور نقشه‌های زمین‌شناسی و کنتاکت‌ها با عملگر فازی Sum ترکیب شده و لایه میانی (B3) حاصل گشته و همینطور

نیز نقشه‌های آلتراسیون رسی و اکسیدآهن نیز لایه میانی (B4) را به وجود آورده‌اند. از ترکیب لایه‌های میانی A2, A1 با استفاده از عملگر گاما، نقشه نهایی B4, B3، لایه میانی A2 بدست آمد و در آخر لایه A2, A1 با استفاده از عملگر گاما، نقشه نهایی مورد نظر را به وجود آورده است.

فلوچارت ۵-۲-مدل‌سازی اسکارن آهن را نشان می‌دهد که توضیحات فوق در مورد آن نیز صادق می‌باشد.



در نهايٰت با استفاده از داده‌های موجود از جمله نقشه پتانسیل نهايٰی کانسار مورد نظر، تصویر ماهواره‌ای، آبراهه‌های منطقه، و با در نظر گرفتن دیگر لایه‌ها از جمله نوع واحد زمین‌شناسی نقشه مناطق پرپتانسیل جهت کانی‌زایی اسکارن آهن و تنگستان مطابق تصاویر ۵-۴ و ۵ تهیه گردید و در نهايٰت اقدام به جدایش مناطق مطلوب از جهت کنترل زمینی شد. (مطابق جدول ۸-۵)

جدول ۸-۵ مناطق مطلوب از جهت کنترل زمینی

ID	SAMPLE	GEO_UNIT	CONTACT	STREAMSEDI	HEAVYMINER	MAGNETITE	HIEGHT	X_COORD	Y_COORD
1	KARK_04	K2f	0			Low	1715	684545	3866504
2	KARK_01	gabbro_Skarn	1	Sn, W		high	1990	686266	3858146
3	KARK_02	K2f	0		Magnetite	high	2172	691462	3854228
4	KARK_03	gabbro_Diorite	0		Magnetite	high	1964	691629	3852672
5	KAM_02	hornfelce	0	Au	Scheelite	Moderate	1860	672611	3867203
6	KAM_01	hornfelce	0	As, Cu , W	Scheelite, Gold	high	2016	671118	3870135
7	KAM_04	gabbro	0	Cu		high	1826	679645	3860069
8	KAM_03	hornfelce	1	As, Cu, W		high	2376	666591	3871575
9	TIZ_01	gbf	1	Cu, W	Flourite	high	1455	660588	3877100
10	TIZ_02	gb_hornfelce	1	Ag, Cu		Moderate	2264	656852	3890154
11	TIZ_03	hz_gb	1			Low	1445	653113	3882563
12	TIZ_04	kslv_gb	1	Mo, Zn		high	1380	677302	3895239
13	SON_01	Trmv_gd	1			high	2300	764343	3875570
14	Qor_02	gd	0		Scheelite, casitrrite	high	2435	754123	3878179
15	Qor_03	gd	0	W	Chalcopyrite, Scheelite	Low	2151	745204	3892582
16	Qor_04	Trmv_g	1			Moderate	2166	738410	3886101
17	Qor_01	Skarn_gd	1			high	2249	763621	3877680
18	SAN_01	gd_limestone	1	Mo, Au, Sn, W		high	2053	706720	3885998
19	SAN_02	gd_limestone	1	Sn, W		high	2173	708539	3891061
20	SAN_04	Trjl_mv	0			high	1977	713556	3880204
21	SAN_03	ryiolite_gd	1	Mo, Ag, Sn, W		high	1979	710376	3896954
22	PAV_01	sy_Hf	1			Low	1735	621810	3914653
23	QOJ_01	di_gd	1	Cu, Zn		high	2280	726310	4025846
24	CHAP_01	Kvs_Pr	0	As	Magnetite, Scheelite	high	1612	640725	4015745
25	CHAP_10	Kvs_Pr	1			high	1650	635773	4014108
26	CHAP_06	Kvs	0	Au	Magnetite	high	1807	662309	4027497
27	CHAP_13	Kvs	0			high	1924	653176	4020075
28	CHAP_02	mt	0		Magnetite, Pyrite, sch	Moderate	1742	637811	3990559
29	CHAP_03	mt	0	Mo, Au		Moderate	2240	647699	3990307
30	CHAP_11	mt	0	W	Scheelite	Moderate	1804	641484	3988621
31	CHAP_04	ml	0	Zn		Moderate	2269	650441	3992798
32	CHAP_07	mt	0	W	Scheelite	Low	2409	661914	3991565
33	CHAP_08	Klld	0	Be, Sn		Low	2483	666099	3992734
34	CHAP_12	Klld	0	Sb		Low	2110	677813	3987543
35	CHAP_05	Pr	0		Pyrite	high	2005	655874	4010164
36	CHAP_09	alteration zone	0		Pyrite	high	1927	656584	4003575
37	CHAP_14	tonalite_gd	0	Mo, As, B, W	scheelite_	Low	1623	643990	4034709
38	BAY_01	PZvc	0	Sn, W	Magnetite, Pyrite, sch	Low	2013	651257	3976167
39	BAY_03	PZvc	0	Mo, As, Bi, Sn	Pyrite, Scheelite	Low	1947	649160	3980144
40	BAY_02	PZvc	0	Mo, Ag, Bi, Zn		Low	1935	649438	3975396
41	BAY_07	Kslv	0			Low	1952	676242	3979725
42	BAY_06	Kslv	0	As, B	Scheelite	Moderate	2018	636806	3958173

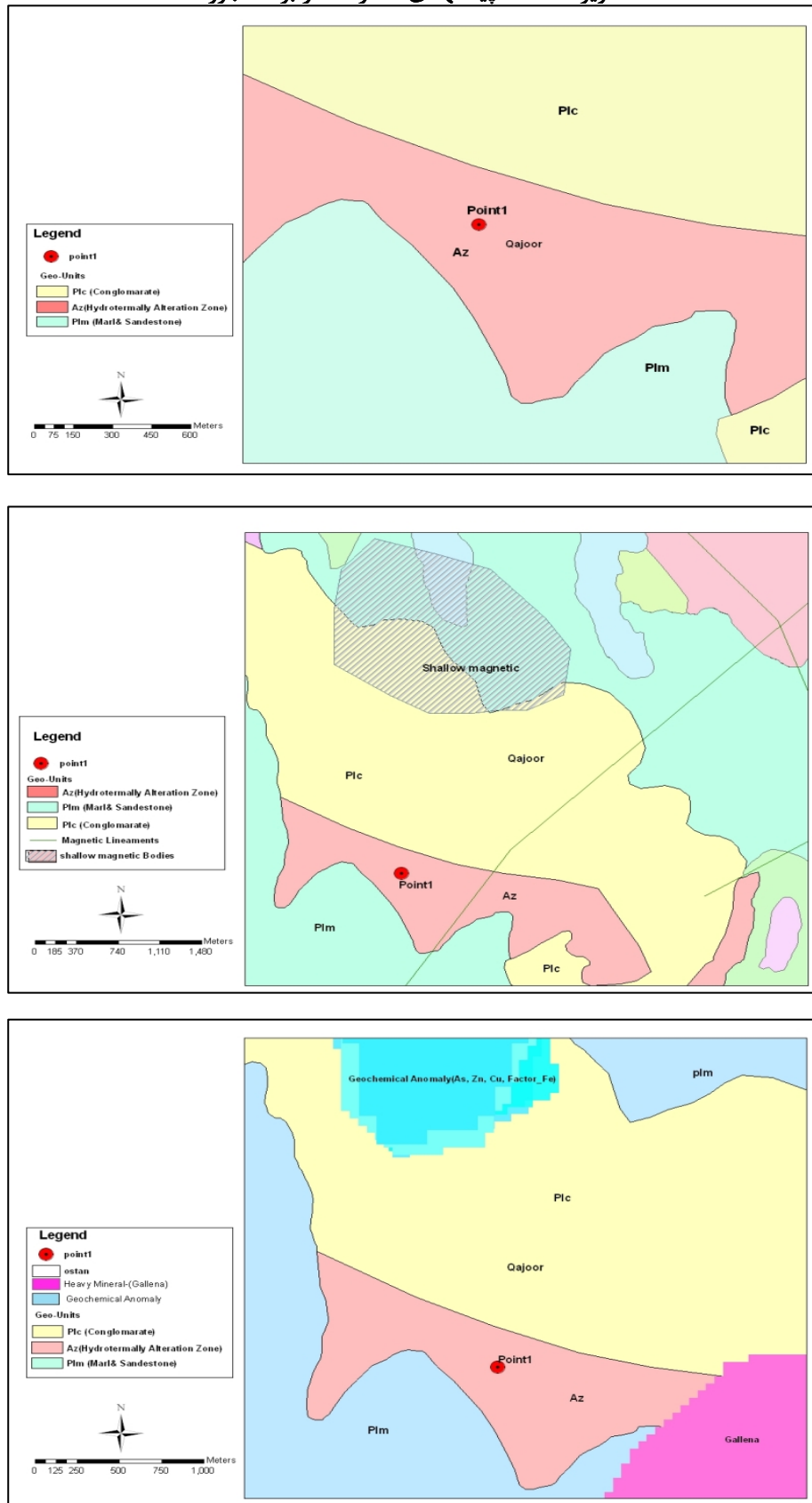
ID	SAMPLE	GEO_UNIT	CONTACT	STREAMSEDI	HEAVYMINER	MAGNETITE	HIEGHT	X_COORD	Y_COORD
44	BAY_04	PZvc	0			Low	1905	640583	3980511
45	MAR_01	Gr_Hf	1	W		Low	1356	598458	3940620
46	SAQ_01	g	1	Cu		high	1683	623154	3995706
47	SAQ_02	g_skarn	0			high	1554	620521	3990112
48	SAQ_03	g_skarn	1			high	1548	616499	3989929
49	SAQ_04	Mtgr_gn	1		Gold	high	1960	606116	3996584
50	SAQ_06	G1	1			high	1809	599681	3998266
51	SAQ_07	Mtgr_gn	0			Low	1863	599059	3989674
52	SAQ_05	Ksh	0			high	1556	624971	4005029
53	ALU_02	Pesch	1	Mo, Be, Sn	Magnetite, Pyrite, Gold	Low	1863	588257	4008621
54	ALU_01	Pesch_g	1	Be, Sn	Scheelite	Low	1738	585518	4007397
55	ALU_03	Pesch	0	Au		Moderate	1969	577473	4008631
56	ALU_04	Pesch	0	B, Bi	Scheelite	high	1896	586310	3995339
57	ALU_05	Pesch	0	As, Sb	Chalcopyrite, Pyrite, sch	Low	1996	563227	4006727
58	BAN_01	Kph_gr	1		Cinaber	Moderate	1645	573951	3975946
60	BAN_02	Kph_gb-dl	1			high	2023	586636	3981496

همانطور که اشاره شد آنومالی‌های حاصل از مدلسازی در محیط GIS مشخص و تعدادی از آنها مورد بازدید صحراوی قرار گرفت. ولی تعداد کمی از اهداف اکتشافی ممکن است در مناطق پوشیده از آبرفت بوده باشد که در دید اول، اهداف بی‌اهمیت تلقی گردد. این اهداف به ویژه اگر داشت پوشیده از آبرفت آرا پوشانیده باشد ممکن است ارزش بالایی داشته باشد که در صورت وجود آنومالی‌های ژئوفیزیکی ارزش آن دوچندان می‌شود.

در محدوده پروژه (استان کردستان) اگر چه داشت پوشیده از آبرفت چندانی به مانند ایران مرکزی و خاور ایران مشاهده نمی‌شود ولی تعداد محدودی از آنومالی‌ها در روی رسوبات آبرفتی قرار دارند لذا با توجه به پیشنهاد مشاور جهت اکتشاف اسکارن‌های آهن و تنگستن در مناطق پوشیده شده از آبرفت اطلاعات مجدداً مورد بازبینی قرار گرفت و اطلاعات ژئوفیزیک و ژئوشیمی و اندیس‌های معدنی برای تشخیص مناطق پیشنهادی استفاده گردید و مناطق زیر جهت اکتشاف پیشنهاد می‌گردد.

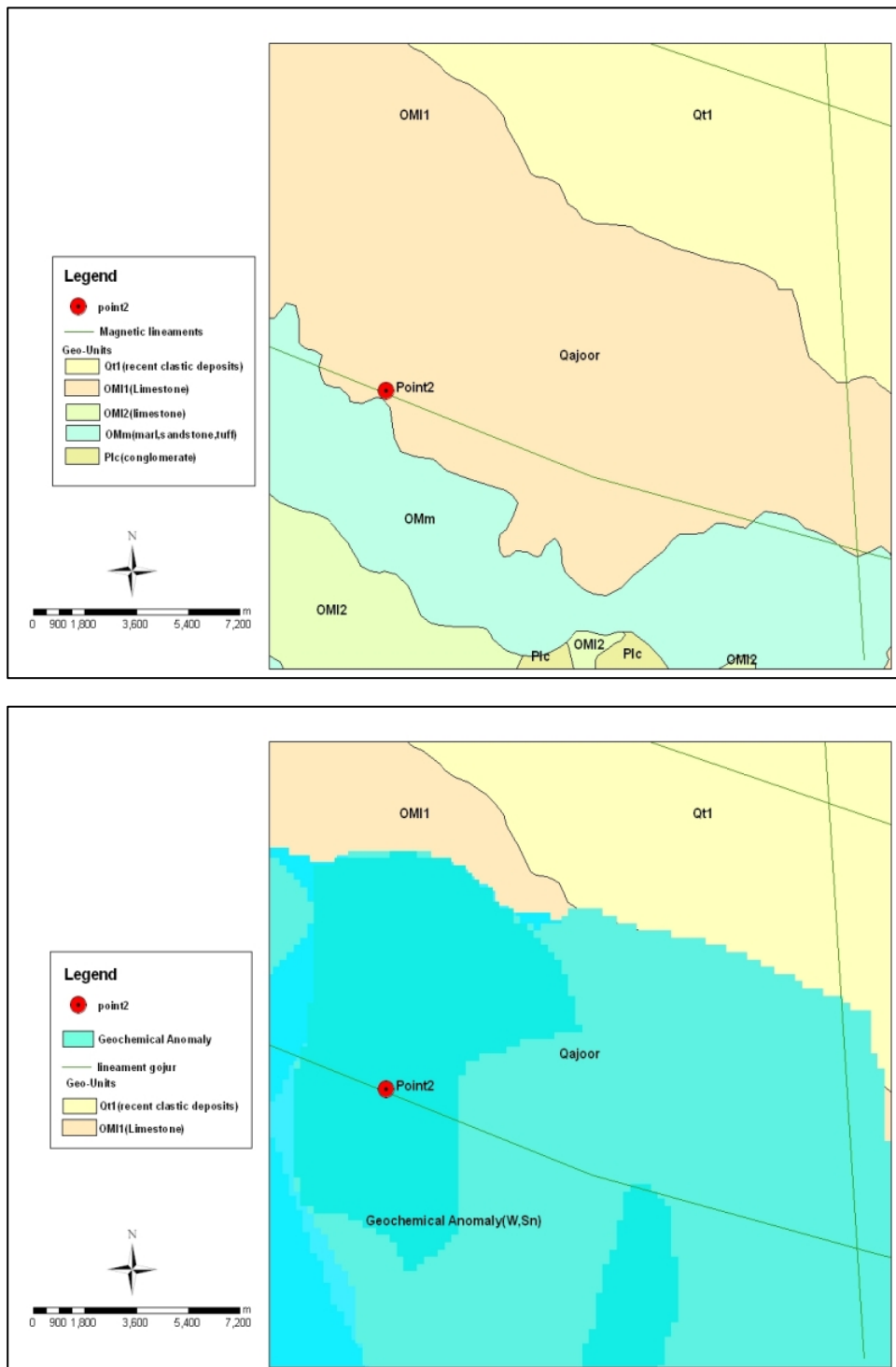
۱- در برگه قجر مطابق تصویر ۵-۶ یک زون هیدروترمال مشاهده می شود که در حواشی یک توده نفوذی کم عمق قرار دارد و توسط خطوط ژئوفیزیک قطع شده و آنومالی های آهن ، ارسنیک ، مس ، روی و آنومالی کانی سنگین گالن در این محدوده وجود دارد که دارای پتانسیل کانی سازی بوده نیازمند بازدید صحرایی می باشد.

تصویر ۵-۶- عنقه پیشنهادی شماره ۱ در برگه قجر



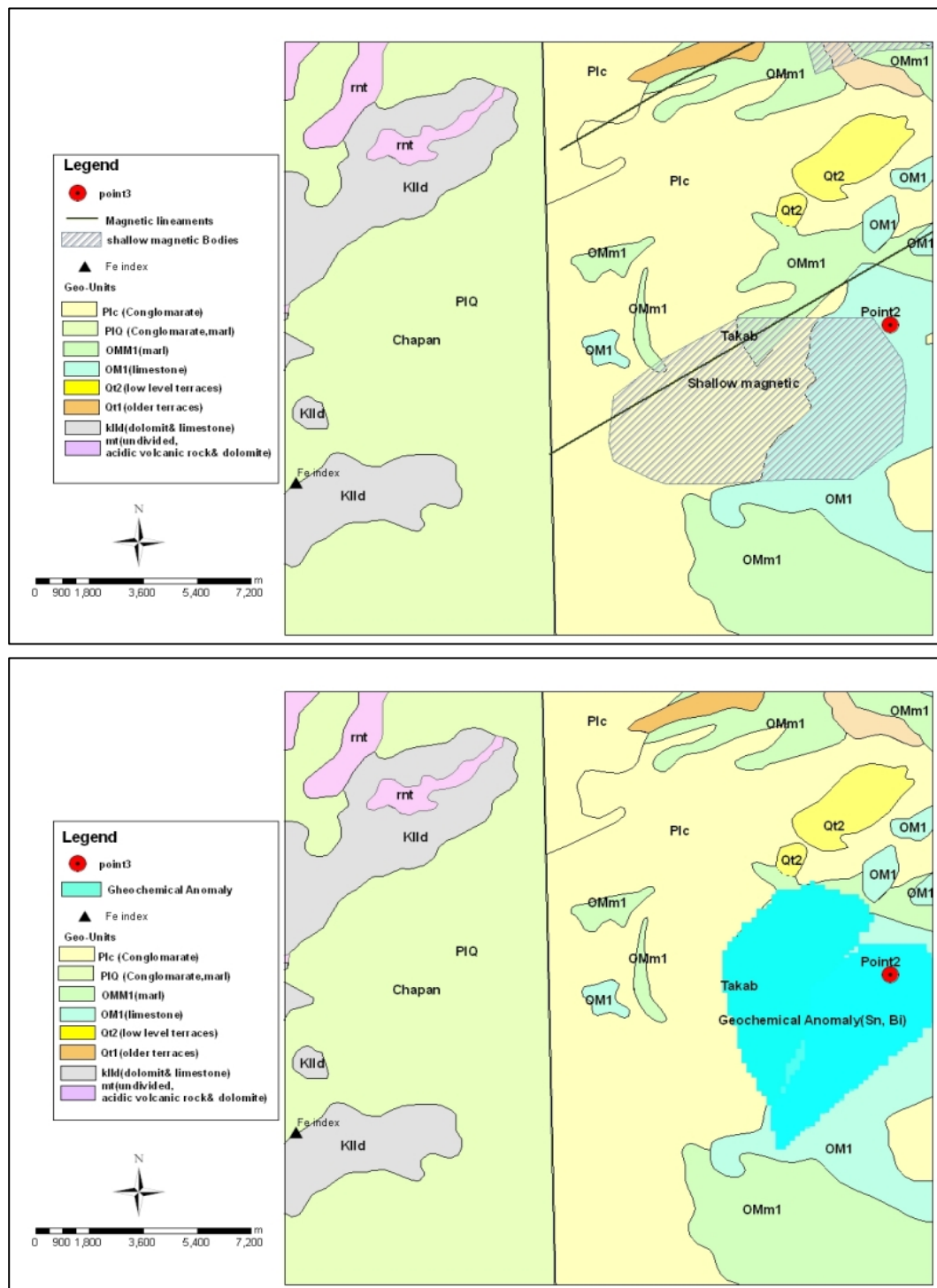
۲- در جنوب برگه قجر مطابق تصویر ۵-۷ از محدوده مورد نظر یک خطواره ژئوفیزیکی عبور نموده است. از نظر اطلاعات ژئوشیمی آنمالی های قلع و تنگستان در این محدوده وجود دارد. محدوده مورد نظر روی آبرفت واقع شده است.

تصویر ۵-۷ نقطه پیشنهادی شماره ۲ در برگه قجر



۳- در برگه تکاب مطابق تصویر ۵-۸ کنترل کننده‌ها خطواره‌های ژئوفیزیکی، توده‌های نفوذی سطحی که از اطلاعات ژئوفیزیک بدست آمده، آنومالی‌های ژئوشیمی قلع و بیسموت، واحدهای زمین‌شناسی سنگ‌آهک که اطرافش را آبرفت گرفته است و در ۴ کیلومتری جنوب باختری محدوده مورد نظر در برگه باینجوب یک اندیس آهن قرار گرفته است.

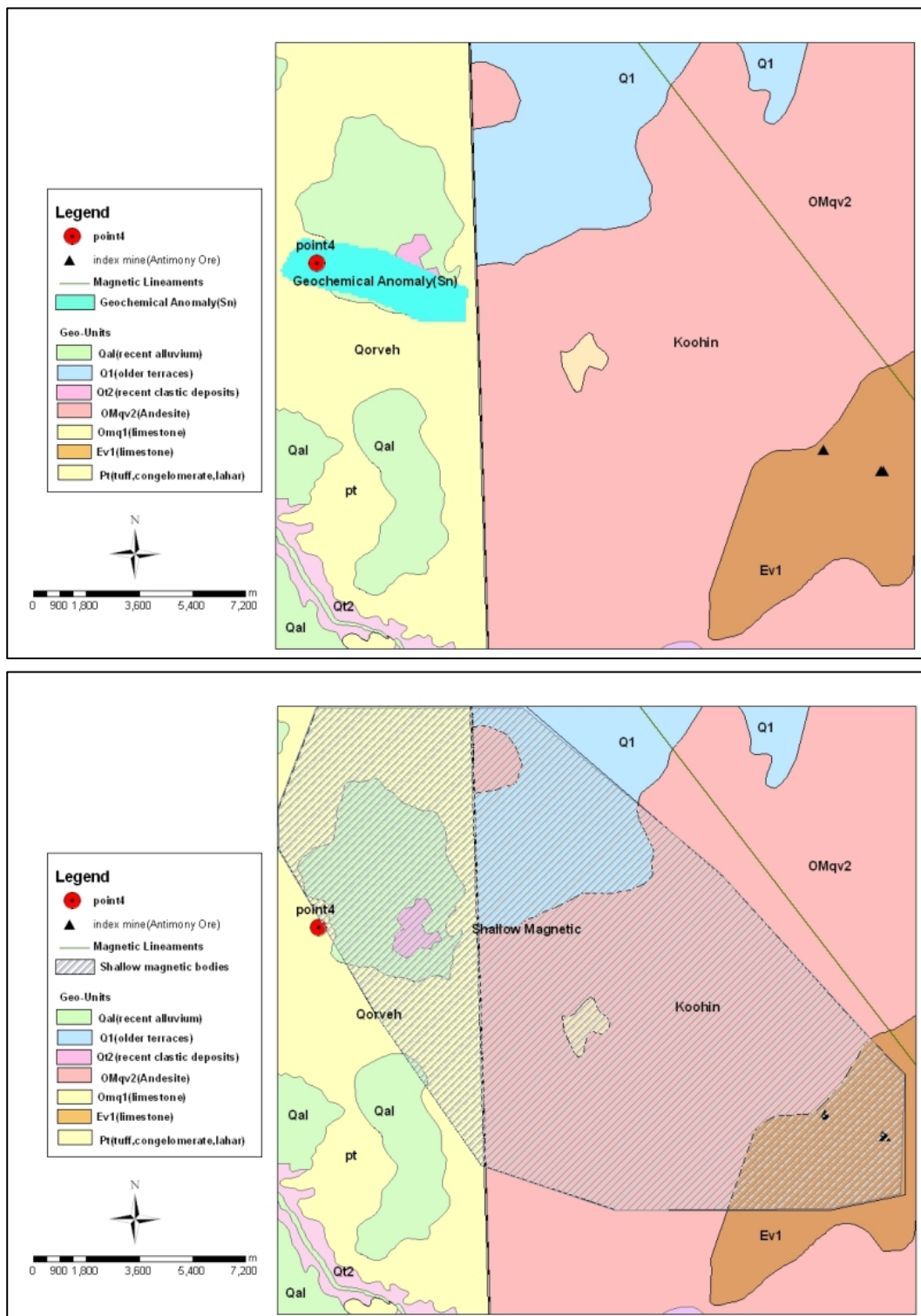
تصویر ۵-۸ نقطه پیشنهادی شماره ۳ در برگه تکاب



۴- محدوده بعدی مطابق تصویر ۵-۹ درخاور قروه نزدیک کوهین در حوالی معدن داشکسن واقع شده و

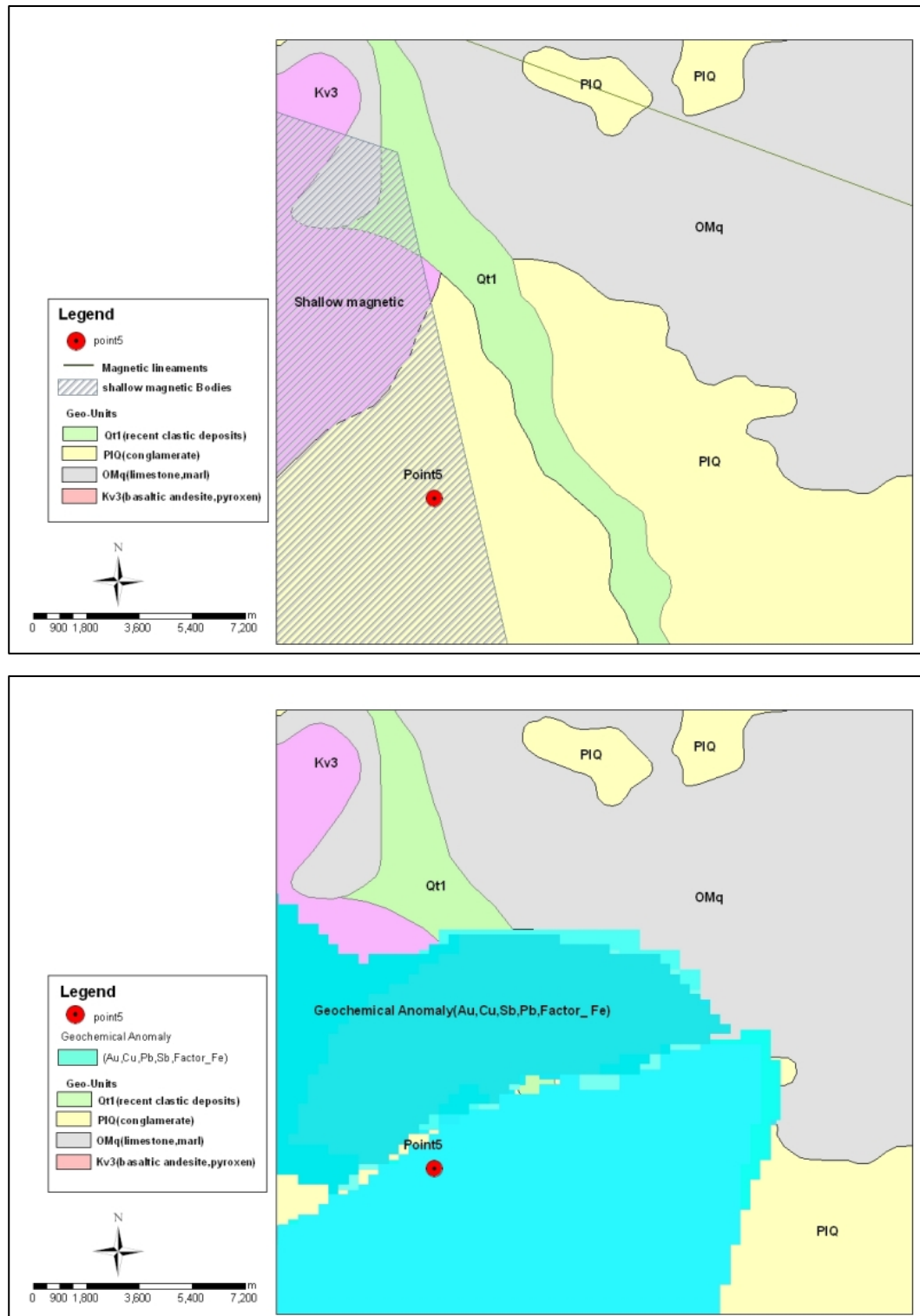
آنومالی ژئوشیمیایی قلع نیز دیده شده است.

تصویر ۵-۹ نقطه پیشنهادی شماره ۴ در برگه قروه



۵- در برگه چاپان مطابق تصویر ۵-۱۰ محدوده مورد نظر در داخل یک توده نفوذی کم عمق واقع شده است. آنومالی های ژئوشیمیایی آنتیموان، سرب، مس، و آنومالی حاصل از فاکتور آنالیز تیپ آهن مشاهده می شود.

تصویر ۵-۰ ا نقطه پیشنهادی شماره ۵ در برگه چاپان



همچنین مختصات نقاط فوق در جدول شماره ۹-۵ آورده شده است.

جدول شماره ۹-۵ مختصات نقاط پیشنهادی در مناطق آبرفتی

ID	X_COORD	Y_COORD
1	748924	4018862
2	728379	3990778
3	683693	3989364
4	769647	3903977
5	672131	4004535

فصل ششم

نتیجه گیری

استفاده از سیستم‌های اطلاعات جغرافیایی (GIS) در پتانسیل‌بایی مواد معدنی، مفید و موثر می‌باشد. این امر به ویژه به دلیل جمع‌آوری کلیه اطلاعات در دسترس، دسته‌بندی، ارزش‌گذاری و استخراج اطلاعات مورد نیاز کاربردی می‌باشد.

لذا پس از پردازش، تلفیق و ارزیابی اطلاعات، مدل‌سازی کانساری براساس نوع ماده معدنی و نوع کانسار صورت می‌گیرد. در پروژه حاضر تمام مراحل مذکور، شامل جمع‌آوری، پردازش و تلفیق و مدل‌سازی کانساری برای کانسارهای اسکارن و آهن و تنگستان در محدوده استان کردستان انجام گرفت و همانطور که اشاره شد تعداد ۰۰۰ هدف اکتشافی انتخاب و رتبه‌بندی شد که تعداد قابل توجهی از این نقاط مورد بازدید صحراوی قرار گرفت. از این نقاط بازدید شده تعداد ۲۶ نمونه برداشت شد و آنالیز گردید که نتایج آن در پیوست آمده است و با توجه به نتایج آنالیز و بررسی‌های انجام شده در دو محدوده کانی‌سازی آهن، اسکارنی جدید شناسایی و معرفی شدند که یکی از محدوده‌ها ابعاد بزرگتری داشته و بیشتر حائز اهمیت بود که مجدداً مورد بررسی قرار گرفت و تعداد ۷ نمونه از نقطه مورد نظر برداشت گردید که نتایج آنالیز آن در پیوست گزارش گردیده است. علاوه بر نقاط حاصل از مدل‌سازی رتبه‌بندی تعداد دیگری از نقاط نیز با استفاده از پارامترهای چون تصویر ماهواره‌ای انتخاب و بازدید شدند که در مبحث بعد گزارش صحراوی آن آورده شده است.

عملیات انجام شده در طی مدل‌سازی براساس اطلاعات موجود صورت گرفت، لذا در صورت وجود اطلاعات جدیدی چون اطلاعات ژئوفیزیک‌هایی با فواصل پرواز کمتر، اطلاعات ژئوشیمیایی برگه‌هایی که فقد داده‌های ژئوشیمیایی می‌باشند همینطور اطلاعات ماهواره‌ای (مانند داده‌های ماهواره استر) با استی مدل‌سازی مورد بازبینی مجدد قرار گیرد.

نکته مهم دیگر اینکه در مطالعات صحراوی محرز گردید پتانسیل برخی دیگر از انواع کانسارات در استان بالا می‌باشد لذا به نظر می‌رسد مدل‌سازی براساس فاکتورهای موجود در ذخایر اپی‌ترمال طلا و ذخایر همراه با مناطق برشی نیز می‌تواند صورت گیرد.

براساس مطالب مذکور موارد ذیل نتیجه‌گیری می‌شود :

۱ - تهیه و تولید اطلاعات جدید به منظور پتانسیل‌بایی مواد معدنی، از جمله داده‌های ماهواره‌ای با

قدرت تفکیک بالاتر و باندهای بیشتر، داده‌های ژئوفیزیکی با فواصل پرواز کمتر و ...

- ۲- در صورت وجود اطلاعات جدیدتر مدلسازی مجدداً مورد بازبینی قرارگیرد.
- ۳- استفاده از روش‌های مدلسازی کانساری در محیط سیستم اطلاعات جغرافیایی (GIS) برای کانساریهای دیگر با پتانسیل رخداد بالا دراستان کردستان
- ۴- بازدید از کلیه نقاط (رتبه‌های بالا و یا پائین) حاصل از مدلسازی انجام شده در محدوده پروژه
- ۵- بازدید از ۵ نقطه که در مناطق پوشیده توسط آبرفت قراردارند و در اطلاعات ژئوفیزیک‌های ناهنجاری نشان می‌دهند.

علاوه برپیشنهادات کلی ذکر شده برای دو محدوده اسکارنی شناسایی شده (مختصات مذکور در جدول ۱-۶)

مراحل ذیل پیشنهاد می‌شود .

- ۱- تهیه نقشه زمین شناسی- معدنی میان مقیاس (به طورمثال ۱:۲۰,۰۰۰) در محدوده معرفی شده
- ۲- حفر چند ترانشه در مرحله اول و بررسی اندازه و گسترش ماده معدنی
- ۳- نمونه برداری از ترانشه‌ها
- ۴- اجرای عملیات ژئوفیزیک زمینی در محدوده‌های معرفی شده در صورت لزوم

بدیهی است ادامه عملیات اکتشافی پس از هر مرحله می‌تواند تصمیم‌گیری شود و در صورت وجود کانی‌سازی قابل توجه، مراحل اکتشافی مقدماتی نیمه تفضیلی بصورت سیستماتیک می‌تواند صورت گیرد.

در یک محدوده از مناطق بازدید شده به مختصات $X=708437$ و $y=3891348$ ویژگی کانسارهای اپی‌ترمال به خصوص وجود برش‌های هیدروترمالی، ارتباط مشخص با توده‌های نفوذی و ساب ولکانیک و دگرسانی سیلیسی مشاهده گردید که پیشنهاد می‌شود مجدداً مورد بازبینی و نمونه‌برداری تکمیلی قرار گیرد .

جدول ۱-۶ مختصات و موقعیت دو محدوده شناسایی شده اسکارن

Y_COORD	X_COORD	نوع کانسار	نقشه ۲۵۰۰۰
3991643	661418	اسکارن آهن	شاهین دز
4014100	635770	اسکارن آهن	شاهین دز

فصل هفتم

گزارش صحرايی

پس از انجام مدلسازی مناطق دارای ناهنجاری بر روی نقشه های توپوگرافی ترسیم وطی دو مرحله عملیات صحراوی بازدید شدند که مشاهدات صحراوی و نتایج آن به شرح ذیل است. در ضمن در نامگذاری آنومالی ها از حرف اول هر برگه ۱:۱۰۰۰۰ استفاده گردید.

CHP 12

(677949E, 3987410N, Z 38)

سکانس ضخیم (حدوداً ۱۰۰ متر) از آهک دولومیتی به رنگ خاکستری روشن که لایه نازک و به ضخامت ۰/۵ متر از اکسیدآهن به حالت یک پوشش هماتیتی بروی آن قرار گرفته است. لایه پوششی اکسیدآهن عمدتاً از جنس پیریت اکسیده دانه ای است که تجمع آنها سیمای لایه ای رسوبی از خود نشان می دهد.



تصویر ۷- نمایی از رسوبات آهکی-دولومیتی با میان لایه های هماتیتی

CHP 8

(665747E, 3993460N, ; Z38)

عمده رخنمون منطقه عبارتست از ماسه سنگ دگرگونی و سکانس ضخیم آهک فیلیتی خاکستری تیره رنگ که عموماً به دولومیت های متبلور تبدیل شده اند. هیچ اثری از کانی سازی یا آلتراسیون دیده نمی شود.



تصویر ۷- نمایی از سکانس آهکی

CHP 7-1

(661418E, 3991643N; Z38)

چند زون کوچک کانی سازی اسکارن به ابعاد ($5 \times 10 \times 20$ - 30) مترعمدتاً شامل مگنتیت و اپیدوت جمعاً مساحتی حدود 150×150 متر را به صورت پراکنده پوشش داده اند . سنگ میزبان کانی سازی عمدتاً آهک دولومیتی و فیلیت است که به وسیله یک گرانیت میلیونیتی قطع گردیده اند. نمونه ۷-۱ از محل یکی از لنزهای مذکور گرفته شده است.



تصویر ۷-۳ لنز کانی سازی اسکارن آهن



تصویر ۷-۴ نمایی نزدیک از لنز کانی سازی اسکارن آهن

Sample no	Ba ppm	Copp m	Crpp m	Fe%	La ppm	Li ppm	W ppm
CHP7-1	53	23	141	21.5	35	10	106

CHP 7-2

(661971E, 3991354N, Z 38)

یک کانی سازی کوچک اسکارن (اگزواسکارن) به مساحت 50×20 متر متشکل از اپیدوت + مگنیت \pm گارنت به شکل یک لنز در داخل واحد فیلیتی قرار گرفته است. از رخنمون مذکور یک نمونه (grab 7-2) به منظور کنترل عناصر خصوصاً تنگستن برداشت گردیده است.



تصویر ۷-۵ شکل یک لنز در داخل واحد فیلیتی

Sample no	Ba ppm	Copp m	Crpp m	Fe%	La ppm	Li ppm	W ppm
CHP7-2	75	39	433	11.8	35	23	8.1

CHP 2

(637531E, 3990609N, Z 38)

رخنمونهای عمده منطقه که عبارت است از شیستهای به رنگ سبز روشن و متاولکانیک با آغشتنگی اکسید آهن به مقدار ۳-۵٪، گرانیت های میلونیتی و گرانیت شیستهای بدون آلتراسیون و کانی سازی به رنگ آبی روشن رخنمونهای عمومی قابل مشاهده در سطح را تشکیل می دهند.

CHP 11

(641873E, 3988193N, Z 38)

شیستهای آبی به همراه گرانیت بدون اثری از آلتراسیون و کانی سازی.

CHP 4

(360447E, 4640423N, Z38)

شیست های هوازده و غیر دگرسان به رنگ آبی رخنمون اصلی واحدهای سنگی در منطقه است که قسمتهایی از آن به شدت سیلیسی شده اند، همچنین رگچه های سیلیسی عقیم از کانی سازی این مجموعه را تحت تأثیر قرار داده است.

BAY 05

(649771E, 3972844N, Z 38)

رخنمون عمده منطقه شامل قطعات بزرگ و کوچک آهکهای دولومیتی می باشد که ذاتاً منشاً فیلیت و شیست داشته در داخل آبراهه آغشتگی های آهن و ندرتاً مس (مالاکیت) به همراه سنگهای سیلیسی فاید شده دیده می شود. بطور کلی ۵٪ قطعات سیلیسی فایر شده آغشتگی آهن دارند. یک نمونه به شماره ۵۰ Bay از محل رخنمونهای سیلیسی برداشت شده تا احتمالاً کانی سازی طلا (تیپ شیرزون) را کنترل نمائیم. همچنین در این محدوده یک لنز مگنتیتی نازک به ابعاد 10×1 متر با سنگ میزبان آهکهای دولومیتی دیده شد که احتمالاً اثر شیرزون و ساختارهای بازوپسته شده در مجموعه فیلیتی است (مشابه دولومیت های آهندار واقع در منطقه کرویان سقر)



تصویر ۶-۷ مگنتیتی نازک به ابعاد 10×1 متر با سنگ میزبان آهکهای دولومیتی

BAY 02-1

(648997E, 3975013N, Z 38)

یک زون 50×100 متر به حالت لنزی شکل با روند خاوری - باختری به صورت کنترل کننده ساختاری - دگرگونی متشکل از اپیدوت \pm مگنتیت سیلیسی شده + کلریت که همراهی رگچه های اپیدوتی را نیز دارد می باشد، مشاهده شد. این رخنمون لنزی به وسیله خاک و سنگهای فیلیتی احاطه شده است و یک نمونه ۱- Bay ۲ از محل این لنز برداشت گردید تا عیار احتمالی کانی سازی آهن و عناصر همرا را بازگونماید.

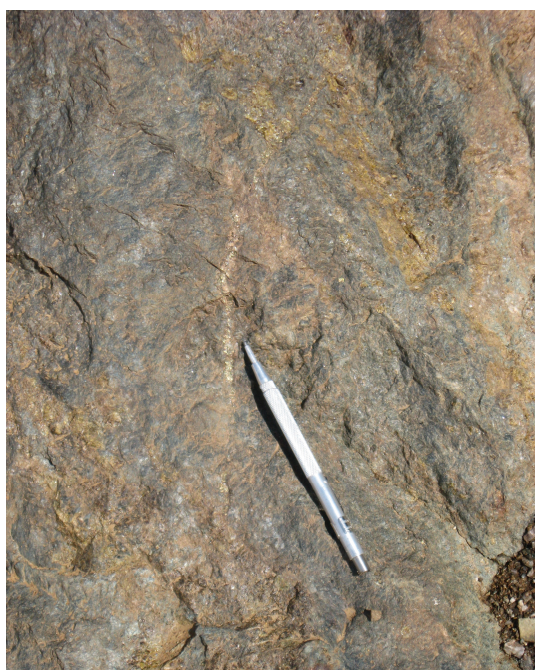


تصویر ۷-۷ نمایی از رگه سیلیسی

BAY 02-2

(649338E, 3975190N, Z 38)

یک زون متامورفیکی - سیلیسی از کانی های گارنت - مگنتیت و کوارتز به طول متوسط ۶۰۰-۷۰۰ متروعرض فیلتر مابین ۱۰۰-۲۰۰ متر با آغشتگی های آزبستی - کریزوتیل در شکستگی ها و همچنین بلورهای سبز رنگ متبلور کوارتز در این منطقه یافت گردید. در محدوده فوق الذکر یک منطقه به مساحت 50×50 متر شدیداً مگنتیتی است (بطور متوسط ۳۰٪) رگچه های سولفیدی به ضخامت متوسط ۱ سانتی متر در بعضی قسمتها خصوصاً در گارنت های ریز دانه دیده می شود. دو نمونه به نامهای Bay ۲-۱ و Bay ۲-۲ از دو موقعیت به فاصله ۲۰۰ متر از همدیگر از این محدوده برداشت گردیده است. محدوده فوق الذکر ۲-۳ کیلومتر قبل از راه دسترسی به روستای آب باره است.



تصویر ۷-۹ کانی سازی سولفیدی



تصویر ۷-۸ وجود رگه سیلیسی و آزبست در درزوشکاف ها

BAY 03 (648593E, 3979971N; Z38)

رخنمون هایی از فیلیت و شیست بدون نشانه ای از آلتراسیون و کانی سازی
BAY 01

(65125E, 3976167N, Z 38)
رخنمون هایی از فیلیت و شیست بدون نشانه ای از آلتراسیون و کانی سازی

Qor 01

(764042E, 3878680N, Z 38)
رخنمون عمدۀ منطقه عبارت است از فیلیت و شیست بدون نشانه‌ای از کانی سازی یا آلتراسیون، علاوه بر این گرانیت و گرانودیوریت با بافت دانه‌ای که حاوی مگنتیت پراکنده می‌باشد و رگچه‌های اپیدوت و کلریت که داخل بازالت‌های آندزیتی نفوذکرده اند نیز در این منطقه دیده شده است.

Son 01

(764544E, 3875121N; Z38)
نفوذگرانیت با بافت دانه‌ای به رنگ سبز خاکستری روشن در داخل ولکانیک‌های دانه ریز به رنگ سبز تیره و بازالت‌های آندزیتی که همراهی رگچه‌های آمفیبولیتی و پیروکسنی / اپیدوتی با تراکم کمتر از ۲٪ سیمای عمومی این محدوده است. علیرغم وجود توده نفوذی تزریق شده در این منطقه هیچ اثری از کانی سازی اسکارن دیده نشد.

Kark 02

(691401E, 3854755N, Z 38)
رخنمون منطقه عبارت است از اسلیت‌های بسیار ریزدانه به رنگ سبزخاکستری تیره و ندرتاً فیلیتهايی که به دولومیت تبدیل شده و حاوی پیریت اکسیدهای افسان می‌باشند.

Kark 01

(686196E, 3857779N, Z 38)
رخنمون عمومی منطقه عبارت از گابرو و سرپاتینین به رنگ آبی تیره که به طور متوسط تا زیاد سیلیسی فاید شده و حاوی مقادیری کانی سازی آهن نیز می‌باشد. گرچه مقدار آهن زیادی نمی‌تواند از این رخنمون سیلیسی انتظار داشت ولی به منظور کنترل تنگستان و قلع یک نمونه با نام kark01 از این محدوده برداشت گردیده است.

CHP 05 (Qaplantu altn)

(657084 E; 4011085 N; z3)
این منطقه بوسیله تصاویر استر در ۲ کیلومتری جنوب خاوری روستای قاپلانتو انتخاب شده است. این آنومالی تصویری شامل متاولکانیک‌هایی است که کاملاً متبلور و شدیداً سیلیسی فاید شده اند. با توجه به

بافت پورفیریتیک و فنوکریست های کوارتزی احتمالاً بتوان نام ریولیت را نیز به آنها اطلاق کرد . هیچ نشانه ای از کانی سازی در این منطقه دیده نشده است

CHP 14

(646788E; 4035738N; z38)

رخنمون عمدۀ منطقه عبارت از سنگ سیلیسیفايد شده شدید به رنگ خاکستری تیره که حاوی دانه های فلدسپات و کوارتز های فنوکریست بسیار ریز دانه و همچنین اکسید آهن افسان می باشد. این رخنمون در نقشه یکصدهزارم به نام ریوداسیت های پر کامبرین معروفی شده است. یک زون شکستگی با راستای باختری - خاوری حاوی رگچه های کوارتز - هماتیت نیز در این واحد ریوداسیت پیدا شد. این زون حدوداً ۸۰۰ متر طول و بین ۵/۰ تا ۱۲ متر ضخامت دارد.

Qoj 01 -2(*Shahrak Fe mine*)

(726876E; 4030983N; z38)

حدود ۲ کیلومتر جنوب روستای شهرک یک توده در برگیرنده مگنتیت لایه ای حاوی کانی سازی آهن بزرگی است که در چند موقعیت در خط الراس منطقه رخنمون پیدا کرده است. یک توده غیردگرسان با دانه بندی متوسط از جنس دیوریت نیز در زیر کانی سازی قرار گرفته است.

Qoj 01-1 (*Shahrak chalcedony occ*)

(729647E; 4034548N; z38)

بلوکهایی از آهک برشی که شدیداً سیلیسیفايد شده و حاوی باندهایی از کلسدون درشت بلور و پیریت اکسیده افسان می باشد در کنار جاده معدن شهرک قابل مشاهده است. ظاهرآ بلوکهای سیلیسی فاید شده تمامی محوطه معدنکاری را اشغال کرده اند.

Qoj 01 (*Shahrak*)

(727961E; 4027649N; z38)

در نقشه یکصدهزارم قجر یک زون دگرسان به ابعاد ۳۰۰×۵۰۰ متر مشخص شده است که عبارت از یک واحد ریولیتی سفید رنگ که شدیداً سیلیسی ، غیر کانه دار و خرد شده است.

BAY08

(649747E; 3981449N; Zone 38)

در نقشه یکصدهزارم قجر یک زون دگرسان به ابعاد ۳۰۰×۵۰۰ متر مشخص شده است که عبارت از یک واحد ریولیتی سفید رنگ که شدیداً سیلیسی فاید، غیر کانه دار و خرد شده است. حدوداً ۳۳ کیلومتری غرب دیواندره یک منطقه ناهنجاری ژئوشیمیایی با مشخصات Zn:268ppm,pb:61ppm,As:51.9ppm,Cu:64ppm,Au:5/2ppb یکصدهزارم برگه باینجوب انتخاب گردید. نتایج کنترل صحرایی حوضه آنومال به وسعت ۵/۸ کیلومتر مربع

عبارت از رخنمونهای فیلیتی که تا حدی کلریتی شده و آهکهای نازک لایه با تبلور مجدد حاصل دگرگونی متداولکانیک ها و فیلیت ها می باشد، همچنین رگه های متامورفیکی در شیستهای کلریتی که سیلیسی نیز شده اند در منطقه قابل مشاهده است. یک رخنمون کوچک لکه ای (patchy) گو سنی از کانی سازی باریت - گالن و مالاکیت - کلسیت که کمی سیلیسی نیز شده اند، درون واحد آهکی یافت شد. همچنین یک منطقه دگرسان به ابعاد 20×100 متر در شمال شرق این محدوده به فاصله چند متر دورتر مشاهده گردید.

CHP14 Area 1: (657554E; 4016405N; z38)

دور رخنمون معدنی حدوداً $2/5$ کیلومتری شمال خاور روستای کردکند در اطلاعات رقومی سازی گزارش گردید که 700 متر پایین دست رخنمون، درامتداد آبراهه ای که به این رخنمون منتهی می گردد نتایج نه چندان آنومال مس به مقدار 41 ppm و سرب به مقدار 19 ppm در منطقه اول ($Z_{38}^{40.5}$ و E_{657554}) رخنمون گزارش شده که مورد بازدید قرار گرفت و بجز منطقه وسیعی از تراوerten مورد قابل توجه دیگری یافت نشد.

Area 2: (656780E; 4017260N; z38)

حدود ۱ کیلومتر در شمال باخته رخنمون گزارش شده در نقشه یکصد هزارم یک زون آهکی سیلیسی شده به ابعاد $(m) 1-8 \times 200$ یافت شد. سیلیکا برش کلسدونی به رنگ خاکستری با سولفیدهای اکسیدشده درامتداد خاوری - باخته در قسمت جنوبی یک گسل پرشیب رخنمون این منطقه می باشد.

CHP15

(657084 E; 4011085 N; z38)

این آنومالی تصویری (حاصل از بررسی تصاویر لندست) درست در شمال روستای پیچ آغاجی قرار گرفته است. عمدۀ رخنمون این منطقه عبارتست از گرانیت هوازده که کانی های کوارتز، بیوتیت، کلریت و رسها به خوبی در آن توسعه یافته اند.

CHP16

(657084 E; 4011085 N; z38)

یک رخنمون ($m \times 100 \times 100$) از گرانیت دگرسان شده به سریسیت و رس که حاوی پیریت اکسیده افسان است در قسمت جنوب باخته محدوده یافت گردید. محدوده دگرسان نزدیک به یک گسل با روند شمالی - جنوبی است که با یک زون خاکستری رنگ از جنس کلسدون که دارای یک ماتریکس برشی می باشد بخوبی نمایان است.

CHP17

(658000E, 4003800N WGS84 Zone 38)

این آنومالی با استفاده از تصاویراستر انتخاب شده است. محدوده این آنومالی تصویری مساحتی به وسعت 5×2 کیلومتر را با روند NE-SW در ترکیب 123 SWIR مشخص کرده است که در نقشه یکصدهزارم تخت سلیمان ولکانیک های کرتاسه می باشد. گزارش صحرایی این محدوده عبارتست از : وجود ۱-۲٪ پیریت دیسمینه (افشان) که عمدتاً به ژاروسيت اكسيد شده اند به همراه شستشوی حاصل از فعالیت سوپرژن سطحی که در حاشیه با یک گرانودیوریت نفوذی احاطه شده اند. ژاروسيت ها به صورت باکس ورکس همگی بعد از پیریت وهمچنین به صورت پوشش در شکستگی ها دیده می شوند. توده نفوذی احتمالاً بیشتر تحت تأثیر هوازدگی و شستشو قرار گرفته است تا دگرسانی، بدین علت عمق کانی های آرژیلی نباشیتی زیاد باشد. ولکانیک های میزبان و واحدهای متورق عمدتاً کلریته و کمی پیریت دار شده اند. یک نمونه رسوبات آبراههای نیز در مطالعات ژئوشیمیایی، این محدوده را پوشش داده است ولی نتایج آن بحد کافی آنومالی ژئوشیمیایی از خود نشان نمی دهد و گرچه تصویر آلتراسیون منطقه را به لحاظ دگرسانی بارز کرده است ولی نتایج ژئوشیمیایی و کنترل صحرایی آنرا تایید نمی کند.

CHP18

(647620E; 3985469N z38)

آنومالی حاصل از رسوبات آبراهه ای ppm Zn: ۱۵۳ ppm Pb: ۷۵۰ ppm و Ba: ۱۱۰۰ ppm و Au: ۳/۴ ppm As: ۶۷۰۶ از مطالعات ژئوشیمیایی منطقه ای به وسعت ۱/۵ کیلومتر مربع را در بالادست خود برای کنترل صحرایی معرفی کرده که مورد پیمایش قرار گرفته است: شیست های کلریتی با کوارتزهای دگرگونه رخنمون اصلی این منطقه می باشد. ممکن است آنومالی مذکور حاصل از یک رگه یا آغشتگی ضعیف باشد که در این واحدها به صورت خیلی محلی و کوچک محتمل است با اینهمه سنگ دگرسان یا رخنمون قابل توجه در این حوضه دیده نشد.

CHP19

(654429E; 3987615N z38)

آنومالی رسوب آبراهه ای Au ۱۰۶ ppm Zn ۲۲۵ ppm Ba ۴۶۲ ppm As ۳۸۵ ppm در نزدیکی این آنومالی رسوب آبراهه ای، نمونه رسوب آبراهه ای کنترلی برداشت گردیده که نتایج نمونه مجاور قبلی را تأیید نمی کند. رخنمون عمدۀ منطقه عبارتست از کوارتز- کلریت - شیست با رگه های نازک آپلیتی که در طول آبراهه رخنمون پیدا کرده اند.

DIV01

(724500E 3969200N WGS 84 Zone 38)

آنومالی تصویری حاصل از تصاویر استردر ترکیب باندی SWIR123 محدوده ای را در ۱۱ کیلومتری غرب - جنوب غرب شهرستان بیجار مشخص نموده است، گرچه منطقه درولکانیک های ترشیری طبق نقشه ۲۵۰ هزارم با کنترل صحرایی موقعیت این آنومالی برای مارنهای و آهک های غیر دگرسان است که هیچ نشانه ای از دگرسانی ، کانی سازی ندارند.

DIV02

(719200E, 3934350N Z38, 38km NW of Dehgolan)

این منطقه بوسیله آنومالی های تصویری استر ولندست توامًا مشخص شده است که در شمال غرب شهر دهگلان می باشد. پلاژیوکلاز + بیوتیت جهت دار + پیروکلاستها + لاواهای بازالتی عمدۀ رخنمون این منطقه می باشد، چند رخنمون کوچک (patches) از پیروکلاستهای کائولینیتی حاصل از هوازدگی در منطقه دیده می شود که می تواند علامت آنومالی تصویری باشد. هیچ رخنمون دگرسان هیدرورترمالی در این منطقه قابل مشاهده نیست.

KAM05

این منطقه به وسیله ۵ نمونه رسوب آبراهه ای آنومالی می تواند معرفی کننده یک تارگت اپی ترمال طلا باشد بطوریکه بعد از پلات کردن نمونه ها و رویت مقادیر طلا و مس این تارگت از الیت بالایی نیز برخوردار گردید ولی متاسفانه با کنترل صحرایی رخنمونهای بالا دست نمونه ها محدوده مورد نظر نتوانست مورد توجه قرار گیرد.

نمونه از محل تقاطع دو آبراهه بسیار آنومال برداشت شده که سنگهای بالا دست آن آهک ، سنگ های نابرجا از نوع دیوریت بوده است.

پلاژیوکلازهای پورفیری غیردگرسان، آهک و سیلیستون سنگ های نابرجالاصلی این آبراهه اند .

در نزدیکی نمونه ای که ۶۸ ppm مس جواب داده است رخنمونهای غیردگرسان فیلیت، دیوریت و سیلیستون قرار گرفته است .

این نمونه Cu: ۵۰ ppm ، Au : ۷۰۷ ppb نشان داده در حالیکه آبراهه عمدتاً از دیوریت های غیردگرسان و رسوبات غیر کلسیتی تشکیل شده است.

این نمونه ۵۰ ppb طلا نشان داده است در حالیکه بالا دست خود پوشیده از مادستونهای غیردگرسان و سیلیستون می باشد. لازم بذکر است محل دفن زباله های روستا نیز در نزدیکی این موقعیت قرار گرفته است.

QOJ06

(739697E; 4017001N z38)

زمین کشاورزی عمدۀ حوضه آنومال این محدوده را پوشانده است، تنها یک رخنمون تقریبی از یک کنگلومرای کواترنری (Cobble size polymictic) در دره بروند پیدا کرده است و نیز فقط یک قطعه کاملاً گرد شده سیلیسی - مگنتیتی در آبراهه دیده می شود .

QOJ07

(749369E; 4018660N; z38)

این محدوده در نقشه یکصد هزارم قجر به وسعت ($1/4 \times 1$) کیلومتر به عنوان منطقه دگرسان در شرق یا سوکند گزارش شده است که عمدتاً پوشیده از زمینهای کشاورزی است که کنگلومرا و آهک های نازک لایه تنها رخنمون سنگی است که در دره ها بروند پیدا کرده اند. احتمالاً خاکهای سفید رنگ که روی رخنمونهای سنگی قرار گرفته اند به عنوان زون دگرسان گزارش شده اند.

QOJ08

(763945E; 4021770N z38).

مختصات این نمونه آبراهه ای آنومال ما را به محل رودخانه ای اصلی هدایت کرد. رخنمونهای مجاور در بستر این آبراهه که در اصل محل اتصال آبراهه های فرعی به این آبراهه اصلی بود مورد پیمایش قرار گرفت که واحدهای آن شامل رسوبات مارنی - ژیپسی، آهکهای غیردگرسان، ماسه سنگ و سنگ ریزه هایی از این واحدها قابل مشاهده بوده است.

QOJ09

(762143E; 4019319N; z38)

در نقشه یکصد هزارم قجر این تارگت به عنوان رخنمون سیلیس گزارش شده است که در ۸۰۰ متری جنوب غربی روستای نیمه کاره واقع شده است. یک زون کوچک به ابعاد ($70 \times 7m$) از سیلیس خاکستری در طول کن tact گسله مابین یک آهک نازک لایه و یک رخنمون متا آندزیتی جایگزین شده است.

QOJ10

(759246E; 4005967N z38)

رخنمون عمدۀ حوضه آنومال، رسوبات کلاستیکی غیر سخت شده می باشد . تمام حوضه آنومال مورد پیمایش قرار گرفته که هیچ نشانه ای از کانی سازی یا دگرسانی که بتواند این آنومالی مهم را ایجاد نماید پیدا نشد.

QOR05

730786E, 3927968N Z38

این آنومالی تصویری با مرکزیت ولکانیکی مابین تارگت تپه جعفر و تارگت بریاخان قرار گرفته است که عمدتاً کن tactی بین دایک های نفوذی و پیروکلاستها می باشد و هیچ دگرسانی دیده نشد.

SAN05

(726347E, 3923668N Z38)

این منطقه پوشیده از رسوبات آبرفتی و نزدیک به رسوبات انتخاب شده و رخنمون سنگی مشاهده نمی شود.

SAN06

(720400E, 3921800N Z38, 27km NW of Dehgolan)

این هدف اکتشافی در ۲۷ کیلومتری شمال باختری دهگلان قرار دارد و دارای دگرسانی واضحی در تصاویر استر می باشد. این تصاویر بصورت شسته شده و دارای یک مغزه رسی می باشد که توسط یک بخشی با دگرسانی سیلیسی در حاشیه احاطه شده است. ولی در بازدید صحرایی مشخص شد که رس حاصل از دریاچه های رسی می باشد و کار بیشتری پیشنهاد نمی شود.

SAQ07

(610811E; 4012594N; Zone 38)

این آنومالی در ۳ کیلومتری باختر، شمال باختری سقز قرار دارد. لیتولوژی منطقه شامل دولومیت چرتی کامبرین، سنگ آهک متبلور و ماسه سنگ پرمین، سنگ آهک مرمری، دولومیت، توف آندزیتی و گدازه برشی کرتاسه می باشد. در بخش بالایی آبراهه (حدود ۷۰۰ متر بالاتر) انديس مس بر روی نقشه زمين شناسی وجود دارد ولی فقط سنگ آهک غیر آلترا با رگچه های کلسیتی و مقدار کمی ملاکیت یافت شده ولی در نهايیت کانی سازی و دگرسانی قابل توجهی یافت نگردید.

SAQ08

(604074E; 4011832N; Zone 38)

این منطقه در ۱۰ کیلومتری شمال باختری شهر سقز واقع می باشد. در نمونه های ژئوشیمیایی این منطقه آنومالی طلا مشاهده می شود که احتمالاً حاصل از کانسار کرویان باشد. شیست سبز، فیلیت، متاتوفهای سیلیسی دار با بين لایه های سنگ آهک مرمری و دولومیت در جنوب و بخش مرکزی تارگت مشاهده می شوند. به سمت شمال نقطه پیروکلاستیک های آندزیتی مشاهده می شوند. رگه های کوارتز شیری در ابعاد متفاوت گاه به اندازه حدود $15 \times 1/5\text{m}$ با مقدار سولفیدهای اکسیدشده یافت شد.

TAK01

(714400E, 4025450N WGS 84 Zone 38N)

این منطقه دارای آنومالی واضح و مشخصی در تصاویر ماهواره ای می باشد که این آنومالی حاصل از یک توده گرانیت همسان دانه و دانه درشت به ابعاد $2 \times 1\text{m}$, می باشد. بخش عمده محدوده گرانیتی بدون دگرسانی می باشد. دانه های کوارتزی در ابعاد حدود ۵ میلی متر در متن سنگ پراکنده است و گاه تا ۵۰٪ توده نفوذی را شامل می شود. ساختارهای سیلیسی و آرژیلی در بخش های استوک نفوذی را بریده اند و باعث دگرگونی سیلیسی در تصاویر می باشند. فرایندهای سوپرژن باعث شده اند فلدوپات ها به رس تبدیل شود و ظاهر شسته شده (Bleached) در تصاویر ماهواره ای مربوط به همین مسئله می باشد.

TAK02

(697121E; 4009890N z38)

در این منطقه آنومالی مهمی در نتایج ژئوشیمیایی مشاهده می گردد ولی بخش عمده منطقه توسط پوشش خاک پوشیده شده و کانی سازی خاص یافت نشد.

TAK03

(687124E; 4011990N z38) GSI stream sediment anomaly (700ppb Au, 288ppm Ba

81ppm Zn)

دراین منطقه نیز آنومالی مهمی در نمونه های ژئوشیمیایی مشاهده می گردد ولی پس از کنترل صحرایی ضخامت قابل توجهی از خاک در منطقه مشاهده می گردد و رخنمون خاصی در منطقه وجود ندارد. قطعات گردشده سنگ آهک دگرسان نشده در رسوبات رودخانه ای مشاهده می شود.

TAK04

(685682E; 4010460N z38) GSI stream sediment anomaly (450ppb Au, 278ppm Ba, 73ppm Zn)

در این نقطه نیز آنومالی بزرگی از (450 ppb) در رسوبات ژئوشیمیایی حاصل از رسوب های رودخانه ای وجود دارد ولی پس از کنترل منطقه مشخص شد. نمونه از آبراهه کوچکی برداشت شده و منطقه بالای آن توسط خاک ضخیمی پوشیده شده است. قطعات دگرسان سنگ آهک، شیست، و کوارتزهای شیری مشاهده می شود که احتمالاً حاصل از یک سنگ بستر کنگلومرایی می باشد.

TAK05

(682340E; 4007847N z38) GSI stream sediment anomaly (32ppb Au, 213ppm As

, 105ppm Cu, 317ppm Sb)

دراین منطقه یک رخنمون از متاولکانیک های دارای سیلیس با مقدار کمی اپیدوت بصورت رگه هایی با امتداد NE و شیب ۷۰° به سمت شمال باختری در گسل تشکیل شده اند. ضخامت قابل توجهی از خاک در بخش زیادی از منطقه مشاهده می شود و قطعات گردشده سنگ آهک دگرسان نشده در رسوبات رودخانه ای یافت می شود.

CHP06

(662438E, 4027463N, Z38)

این آنومالی حاصل از گابرو- دیوریت با مغناطیس بالامی باشد که دارای اپیدوت و تورمالین می باشد. تعداد معده‌دی رگچه های سیلیس نا بارور در این منطقه مشاهده گردید. رنگ سنگ سبز تا خاکستری تیره می

باشد یک نمونه با شماره CHP-06 از گابرو - دیوریت های با مگنتیت بالا برداشت گردید. در شکل شماره ۱۰-۷ رگله های سیلیس نابارور مشاهده می شود.



شکل شماره ۱۰-۷: بافت استوک ورکی رگله های سیلیس (نقطه CHP06)

CHP13

(653276E, 4019771N, Z38)

در این منطقه لیتولوژی متشكل از ولکانیک های آندزیتی دگرسان نشده می باشد. تعدادی رگه های سیلیسی مشاهده می شود که نمونه شماره CHP13 از رگه های سیلیس برداشت گردید.



شکل شماره ۱۱-۷ رگه های سیلیس درون مجموعه ولکانیک های آندزیتی غیر دگرسان

CHP01

(640955E, 4015824N, Z38)

این آنومالی که به نام اندیس آهن صاحب شناخته می شود در نزدیکی روستای صاحب قرار دارد. این کانی سازی که از نوع اسکارن می باشد در کنタکت توده نفوذی و سنگ آهکها تشکیل شده است. سنگ و کانیهای مس به وضوح در این منطقه مشاهده می شود . تعدادی ترانشه نیز در این منطقه مشاهده می شود . در این بخش اجتماع کانیهای اسکارن (شامل اپیدوت و گارنت) به وضوح دیده می شود. یک نمونه به شماره CHP01 از کانی سازی آهن به منظور بررسی مقدار آهن و سایر عناصر کانساری برداشت گردید.



شکل شماره ۱۲-۷ اسکارن صاحب همراه با ترانشه ها (دید به سمت جنوب خاوری)



شکل شماره ۱۳-۷ کانی سازی اسکارنی در منطقه صاحب

CHP10

(635504E, 4013634N,Z38)

در این منطقه نیز احتمالاً عامل کنタکت توده و سنگ آهک در انتخاب هدف اکتشافی بسیار مهم بوده است. در این منطقه کانی سازی کم عیاری از آهن در سنگ آهک مشاهده می شود که نمونه شماره CHP10 از آن برداشت گردیده است. این رگه آهن دارای ضخامتی حدود ۱ تا ۲ مترمی باشد. درخشش جنوبی نیز رگه های آهن همراه با سنگهای دگرگونی مشاهده می شود که کم عیار می باشند.

SAQ5

(624970E, 4005028N,Z38)

این آنومالی، آنومالی کاذب می باشد زیرا اگرچه سنگ های منطقه متشكل از رسوبات دگرگونه از نوع شیست واسلیت می باشد ولی نقطه آنومالی نزدیک روستای درگاه سلیمان می باشد.

SAQ1

(623153E, 3995706N,Z38)

در این منطقه رسوبات غیردگرسان و بدون کانی سازی حضور دارند. بطور محلی رگچه های سیلیسی به ضخامت چندسانه متر درون مجموعه دگرگونی اسلیت و شیست مشاهده می شوند. علاوه بر این توده نفوذی نزدیک منطقه وجود دارد که روستای بهرام نیز بر روی آن بنا شده است ولی در کنタکت کانی سازی مشاهده نگردید.

SAQ3

(616492E, 3989904N,Z38)

در این منطقه نیز احتمالاً کنタکت توده نفوذی و سنگ آهک نقش مهمی در انتخاب هدف اکتشافی داشته است. در برخی نقاط قطعات نابرجایی از سنگ آهن دیده می شود ولی توده اسکارنی بزرگی وجود ندارد، در یک منطقه در کنار جاده (همانطور که در شکل دیده می شود رخمنون های کوچکی از سنگ آهن دیده می شود).



شکل شماره ۱۴-۷ کانی سازی کوچک اسکارنی درون مجموعه سنگهای آهکی در کنار جاده

SAQ2

(620520E, 3990112N, Z38)

دراین منطقه گرانیت آرنی شده در کنیاتاکت با سنگ آهک رخنمون دارد. تعداد کمی قطعات سنگ آهک پوشیده شده با خاک در منطقه وجود دارد که پس از بررسی رخنمون قابل توجهی از کانی سازی یافت نشد.



شکل شماره ۱۵-۷ گرانیت آرنی شده در نقطه 2 SAQ

SAQ4

(606115E, 3996583N,Z38)

در این منطقه سنگهای دگرگونی از نوع شیست، اسلیت و فیلیت بروند دارد که درون این مجموعه رگه‌های سیلیس شیری رنگ که حاصل از شیره‌های دگرگونی می‌باشد به وفور یافت می‌شود. ولی اغلب این سیلیس‌ها دارای کانی سازی قابل توجهی نمی‌باشند.

SAQ6

(599681E, 3998265N,Z38)

در این منطقه نیز سنگهای دگرگونی از نوع اسلیت و شیست و گرانیت میلیونی شده و بدون کانی سازی مشاهده می‌شود و کانی سازی اسکارنی یافت نشد.

ALU01

(585518E, 4007397N,Z38)

این آنومالی، آنومالی کاذب می‌باشد و در منطقه مورد نظر سنگهای دگرگون بروند دارد.

ALU03

(577472E, 4008632N,Z38)

این آنومالی در منطقه شیخ چوپان قرار دارد. در این منطقه لیتلولوژی متشکل از اسلیت، شیست و فیلیت می‌باشد. به سمت خاورنقطه گرانیت دگرگونه در کنار روستای شیخ چوپان بروند دارد. در سمت باخته نقطه یک منطقه سیلیسی به وسعت 20×20 متر مشاهده شد و نمونه شماره ALU03 از آن برداشت گردید. در مسیر عبور از آنومالی شیخ چوپان نیز بازدید شد ولی شواهدی از کانی سازی مشاهده نشد و ماسه سنگ‌های دگرگونه و مقدار کمی رگچه‌های کوارتزی خاکستری مشاهده گردید که چندان جالب توجه نمی‌باشد. بنابراین احتمالاً نقطه مورد نظر دارای مختصات دقیق نمی‌باشد. در شکل شماره ۱۶-۷ نمایی از آنومالی مورد نظر مشاهده می‌شود.



شکل شماره ۱۶-۷ آنومالی شیخ چوپان

ALU02

(588325E, 4008623N, Z38)

آنومالی در منطقه با لیتولوژی اسلیت، شیست و فیلیت قرار دارد و چندین زمین لغزش در اطراف آن رخ داده است و کانی سازی اسکارنی یافت نشد.

ALU04

(586309E, 3995338N, Z38)

این آنومالی نیز بر روی رسوبات دگرگونه قرار دارد. در این منطقه سنگهای آتشفسانی اسیدی رخنمون دارد که در وسعت بسیار بزرگی قابل مشاهده می باشند. نمونه شماره ALU04 از این منطقه برداشت گردید.

SAN3

(710376E, 3896954N, Z38)

در این منطقه رخنمون سنگهای آندزی بازالتی یافت شد که دارای مقدار مغناطیس بالا می باشند و احتمالاً در مطالعات ژئوفیزیک دارای آنومالی می باشند ولی کانی سازی یافت نگردید.



شکل شماره ۱۷-۷ نمایی از سنگ‌های آندزی بازالتی

SAN2

(708538E, 3891060N, Z38)

این منطقه متشکل از مجموعه رسوبی - آتشفشنای می باشد که توده نفوذی اسیدی با ترکیبی احتمالی از نوع گرانیت مورد نفوذ واقع شده است. دگرگونی های سیلیسی و آرژیلی در این منطقه صورت گرفته است. نمونه شماره SAN2A از بخش سیلیسی شده برداشت شد که در کنتاکت توده نفوذی با سنگ‌های رسوبی قرار دارد. همچنین نمونه شماره SA2B نیز از منطقه سیلیسی شده و آرژیلی برداشت شد. نمونه SAN2C نیز از یک بخش دولومیتی غنی از آهن وبرش شده برداشت شد. این منطقه نیاز به کار اکتشافی بیشتری دارد. دارای ویژگی های سیستم های اپی ترمال می باشد.

SAN4

(713555E, 3880203N, Z38)

در این منطقه لیتلولژی عمده آندزی بازالت می باشد که در مجاورت سنگ‌های آهکی قرار دارد.

SAN1

(706720E, 3885997N, Z38)

دراین آنومالی، آندزیت و تراکیت غیر آلتره رخمنون دارد. به سمت جنوب یک مجموعه بزرگ ولکانیک های اسیدی مشاهده می شود که دارای حدود ۳ تا ۴٪ پیریت می باشد و دو نمونه از آن برداشت گردید

TIZ4

(677301E, 3895238N, Z38)

دراين آنومالي ليتولوژي عمدہ شامل سنگ آهک و اسلیت می باشد که غیردگرسان می باشد و کانی سازی نیز ندارد.

QOR1

(763620E, 3877679N, Z38)

این منطقه کن tact توده نفوذی اسیدی تا متوسط با ولکانیک ها می باشد. توده نفوذی توده ای تفریق یافته می باشد که دارای ترکیبی از دیوریت تا گرانودیوریت و گرانیت می باشد . مقدار رگچه های مگنتیت و همینطور مگنتیت بصورت پراکنده در متن سنگ وزمینه مشاهده می شود ولی کانی سازی مهمی یافت نشد.

SON1

(764342E, 3875570N, Z38)

این هدف اکتشافی به دلیل شباهت آن با QOJR1 انتخاب شد و مرز واحدهای نفوذی و ولکانیک ها بررسی شد ولی کانی سازی یافت نگردید.

Gelali Fe-Skarn

معدن آهن گلالی دریک کیلومتری شمال خاوری آنومالی SON1 قرار دارد. این معدن فعال دارای یک سینه کار نسبتاً بزرگ فعال به ابعاد 300×500 m می باشد و کانی سازی اسکارنی در کن tact توده گرانودیوریت و ولکانیکها رخ داده است . اجتماع کانیائی اسکارنی شامل مجموعه اپیدوت ، اکتینولیت و گارنیت مشاهده شد. بطور محلی سنگ آهن اکسیدی دارای مقدار نسبتاً بالایی از سولفیدها (۲۵درصد) مشاهده می شود که می تواند در فرایند کانه آرائی مضر باشد.

پیوست

- بنی آدم، ف- ۱۳۷۹- بررسی مناطق امیدبخش اکتشافی در ورقه یکصدهزارم چاپان- انتشارات سازمان زمین شناسی واکتشافات معدنی کشور.
- زاهدی، م - ۱۳۶۹ - شرح نقشه زمین‌شناسی چهارگوش سنندج با مقیاس ۱:۲۵۰۰۰۰ - انتشارات سازمان زمین‌شناسی واکتشافات معدنی کشور.
- ژان برود - ۱۳۶۹ - شرح نقشه زمین‌شناسی چهارگوش با ختران با مقیاس ۱:۲۵۰۰۰۰ - انتشارات سازمان زمین‌شناسی واکتشافات معدنی کشور.
- سهیلی، م و بربنا، ب- ۱۳۷۶- گزارش مطالعات زمین‌شناسی و معدنی حسن‌سالاران- رنگریزان در منطقه سقرز - انتشارات سازمان زمین‌شناسی واکتشافات معدنی کشور.
- علوی نایینی، م- مشکانی، ا و اصفهانی پور، ر- مهر، ۱۳۷۸- اکتشافات ژئوشیمیایی در ورقه ۱:۱۰۰۰۰۰ چاپان- انتشارات سازمان زمین‌شناسی واکتشافات معدنی کشور.
- علوی، م- ۱۳۶۱- شرح نقشه زمین‌شناسی چهارگوش تکاب- صایین قلعه با مقیاس ۱:۲۵۰۰۰۰ - انتشارات سازمان زمین‌شناسی واکتشافات معدنی کشور.
- کریم پور، م.ح- ۱۳۸۴- زمین‌شناسی اقتصادی کاربردی- انتشارات ارسلان(مشهد).
- مدیریت ژئومتیکس سازمان زمین‌شناسی واکتشافات معدنی کشور- ۱۳۸۳- گزارش بررسی‌های اکتشافات سیستماتیک ناحیه‌ای و شناسایی نواحی امیدبخش معدنی در زون مهاباد- مریوان- انتشارات سازمان زمین‌شناسی واکتشافات معدنی کشور.
- مدیریت ژئومتیکس سازمان زمین‌شناسی واکتشافات معدنی کشور- ۱۳۸۴- گزارش بررسی‌های اکتشافات سیستماتیک ناحیه‌ای و شناسایی نواحی امیدبخش معدنی در زون سنندج- ملایر- انتشارات سازمان زمین‌شناسی واکتشافات معدنی کشور.
- سایت اینترنتی وزارت راه

1. Bray, E, A., 1995, Preliminary compilation of descriptive geoenvironmental mineral deposit models U.S Geological Survey
2. Bonham-Carter,Gf,1994,Geographic information system for ge

3. Osientists: Modeling with GIS, Pergamon, Oxford, 398p.
4. Einaudi, M.T., and Burt, D.M., 1982, Introduction - terminology, classification, and composition of skarn deposits: Econ. Geol., v. 77, p. 745-754 (entire volume devoted to skarns).
5. Gerald, E. R., W skarns, British Columbia Geological Survey
6. Meinert, L.D., 1992, Skarns and skarn deposits: Geoscience Canada